

## การวิเคราะห์เสถียรภาพของระบบโดยใช้โปรแกรม POWERWORLD

## POWER SYSTEM STABILITY ANALYSIS USING POWERWORLD

SIMULATOR

นายพรชัย บั้งยืนเจริญสุข รหัส 50382519

นายวรรัตน์ แปงคำเรือง รหัส 50382762

ผู้ลงทะเบียนและวิศวกรรมศาสตร์	
วันที่รับ.....	๑๑/๘.๘.๒๕๕๕
เลขทะเบียน.....	๖๔๓๒๔๔๖
เลขเรียกหนังสือ.....	๗๙
มหาวิทยาลัยธรรมราช ๖๒๓	๙

ปริญญานิพนธ์นี้เป็นส่วนหนึ่งของการศึกษาหลักสูตรปริญญาวิศวกรรมศาสตรบัณฑิต  
สาขาวิชาวิศวกรรมไฟฟ้า ภาควิชาวิศวกรรมไฟฟ้าและคอมพิวเตอร์  
คณะวิศวกรรมศาสตร์ มหาวิทยาลัยธรรมราช  
ปีการศึกษา ๒๕๕๓



## ใบรับรองปริญญาบัตร

ชื่อหัวข้อโครงการ	การวิเคราะห์เสถียรภาพของระบบโดยใช้โปรแกรม PowerWorld		
ผู้ดำเนินโครงการ	นายพrushย์ ยั่งยืนเจริญสุข	รหัส 50382519	
	นายวรัตตน์ แปงคำเรือง	รหัส 50382762	
ที่ปรึกษาโครงการ	ดร.แคนทรียา สุวรรณศรี		
สาขาวิชา	วิศวกรรมไฟฟ้า		
ภาควิชา	วิศวกรรมไฟฟ้าและคอมพิวเตอร์		
ปีการศึกษา	2553		

คณะวิศวกรรมศาสตร์ มหาวิทยาลัยนเรศวร อนุมัติให้ปริญญานิพนธ์ฉบับนี้เป็นส่วนหนึ่ง  
ของการศึกษาตามหลักสูตรวิศวกรรมศาสตรบัณฑิต สาขาวิชาวิศวกรรมไฟฟ้า

ที่ปรึกษาโครงการ

(ดร.แคนทรียา สุวรรณศรี)

.....  
(ดร.นิพิทธ์ จันทร์มินทร์) กรรมการ

.....  
(ดร.ศุภารัตน์ พลดพิทักษ์ชัก) กรรมการ

ชื่อหัวข้อโครงการ	การวิเคราะห์เสถียรภาพของระบบ โดยใช้โปรแกรม PowerWorld		
ผู้ดำเนินโครงการ	นายพรชัย ยังยืนเจริญสุข	รหัส 50382519	
	นายวรรัตน์ แบ่งคำเรือง	รหัส 50382762	
ที่ปรึกษาโครงการ	ดร. แฉทรียา สุวรรณศรี		
สาขาวิชา	วิศวกรรมไฟฟ้า		
ภาควิชา	วิศวกรรมไฟฟ้าและคอมพิวเตอร์		
ปีการศึกษา	2553		

---

### บทคัดย่อ

โครงการนี้เสนอการวิเคราะห์เสถียรภาพของระบบ โดยใช้โปรแกรม PowerWorld การคำนวณการไฟฟ้า 4 บัส ให้ผลลัพธ์ที่ดีที่สุด ตามวิธี Newton-Raphson ระบบศึกษาแบ่งเป็น 2 ระบบ คือ ระบบไฟฟ้า 4 บัสและ 10 บัส

สำหรับระบบไฟฟ้า 4 บัส คำนวณทริกซ์แอดมิตแตนซ์ แรงดันมุมไฟฟ้าและกำลังไฟฟ้าจะถูกคำนวณด้วยเครื่องคำนวณและเปรียบเทียบกับผลที่ได้จากโปรแกรม เสถียรภาพของระบบถูกวิเคราะห์โดยใช้หลักเกณฑ์พื้นที่เท่ากันเพื่อหาค่ามุมเคลียร์ริงวิกฤตและเวลาเคลียร์ริงวิกฤต นอกจากนี้ผลการเปลี่ยนแปลงค่าสัมประสิทธิ์การหน่วงและความเหลื่อยได้ถูกวิเคราะห์ด้วย

สำหรับระบบไฟฟ้า 10 บัส เสถียรภาพของระบบถูกวิเคราะห์โดยใช้โปรแกรม PowerWorld ค่ามุมเคลียร์ริงวิกฤตและเวลาเคลียร์ริงวิกฤตได้ถูกวิเคราะห์จากการฟอกความสัมพันธ์ระหว่างเวลาและมุมไฟฟ้าของเครื่องกำเนิดไฟฟ้า การเปลี่ยนแปลงของมุมไฟฟ้าของเครื่องกำเนิดไฟฟ้า แต่ละบัสถูกพิจารณาเพื่อหาความสำคัญของค่าสัมประสิทธิ์การหน่วง ค่าคงที่ความเหลื่อยและการเปลี่ยนแปลงของกำลังไฟฟ้า

ผลการวิเคราะห์แสดงให้เห็นว่าเมื่อมีสภาวะการลัดวงจรเกิดขึ้น การลัดวงจรจะต้องถูกกำจัดภายในมุมเคลียร์ริงวิกฤตและเวลาเคลียร์ริงวิกฤตเพื่อรักษาเสถียรภาพของวงจร

<b>Project title</b>	<b>Power System Stability Analysis using PowerWorld Simulator</b>		
<b>Name</b>	Mr.Pornchai Yangyuncharoensuk	Mr.Worawat Paengkhamrueang	ID. 50382519 ID. 50382762
<b>Project advisor</b>	Mrs.Cattareeya Suwanasri, D.Eng.		
<b>Major</b>	<b>Electrical Engineering</b>		
<b>Department</b>	<b>Electrical and Computer Engineering</b>		
<b>Academic year</b>	<b>2010</b>		

---

### **Abstract**

This project presents power system stability analysis by using PowerWorld Simulator. To calculate power flow, Newton-Raphson method is applied. The case studies are separated into 2 systems, the 4-bus and 10-bus systems.

For 4-bus system, admittance matrix, bus voltage, phase angle, power generation are manually calculated and compared with simulated results in order to verify the results from the PowerWorld program. The system stability is analyzed using the equal-area criterion in order to determine the critical clearing phase angle and critical clearing time. In addition, the effects of damping and inertia constant are analyzed.

For 10-bus system, the stability is analyzed using PowerWorld program. The critical clearing phase angle and critical clearing time are analyzed from relation graph between clearing time and phase angle. The violation of each generator phase angle is considered in order to investigate the importance by damping and inertia constants as well as the change of power generation.

The analysis results show that when fault occurred, the fault must be eliminated within  $\delta_{cr}$  and  $t_{cr}$  in order to maintain the system stability.

## กิตติกรรมประกาศ

ในการทำปริญนานิพนธ์ในครั้งนี้ คณะผู้จัดทำของขบวนพระคุณ ดร.แฉทรียา สุวรรณศรี อาจารย์ที่ปรึกษาโครงการ ที่ได้ให้ความกรุณา แนะนำความคิด ความรู้ แนวทางแก้ไขปัญหา ตลอดจนให้โอกาสในการจัดทำปริญนานิพนธ์ รวมไปถึงการอธิบายเอกสารแหล่งข้อมูลในการค้นคว้าเพิ่มเติมและอุปกรณ์ต่างๆที่จำเป็นในการวิเคราะห์ช่วงให้ปริญนานิพนธ์นี้สำเร็จลุล่วงไปด้วยดี รวมทั้งคณะกรรมการสอบปริญนานิพนธ์ทุกท่านที่ได้ให้คำแนะนำ ตรวจสอบเพื่อให้ปริญนานิพนธ์นี้มีความสมบูรณ์มากยิ่งขึ้น และผู้มีพระคุณทุกท่านที่มิได้กล่าวถึงในที่นี้ที่ได้ให้คำแนะนำที่เป็นประโยชน์ต่อการทำปริญนานิพนธ์นี้

สุดท้ายนี้สิ่งที่คณะผู้จัดทำรำลึกและซาบซึ้งอยู่เสมอคือพระคุณของบิดา นารดา ซึ่งเข้าใจและให้ความสนับสนุนช่วยเหลือในทุกๆด้าน ในการศึกษาและทำปริญนานิพนธ์จะกระหึ่ง ประสบผลสำเร็จ คณะผู้จัดทำจึงขอกราบขอบพระคุณมา ณ โอกาสนี้

นายพารชัย ยังอินเจริญสุข  
นายวรัตนา แปงคำเรือง

## สารบัญ

หน้า

ในรับรองปริญานิพนธ์ .....	ก
บทคัดย่อภาษาไทย .....	ก
บทคัดย่อภาษาอังกฤษ .....	ก
กิตติกรรมประกาศ.....	ก
สารบัญ .....	ก
สารบัญตาราง .....	ก
สารบัญรูป .....	ก
บทที่ 1 บทนำ .....	1
1.1 ที่มาและความสำคัญของ โครงการ .....	1
1.2 วัตถุประสงค์ของ โครงการ .....	1
1.3 ขอบข่ายการทำงาน .....	1
1.4 ขั้นตอนการดำเนินงานและแผนการดำเนินงาน .....	2
1.5 ผลที่คาดว่าจะได้รับ .....	3
1.6 งบประมาณที่ใช้ .....	3
บทที่ 2 หลักการและทฤษฎีที่เกี่ยวข้อง .....	4
2.1 นิยามปัญหาของโโนด .....	4
2.2 การวิเคราะห์การไฟฟ้าของกำลังไฟฟ้าในระบบไฟฟ้า .....	6
2.2.1 ข้อมูลสำหรับการศึกษาการไฟฟ้าของกำลังไฟฟ้า .....	6
2.2.2 ค่าที่กำหนดให้และค่าที่ต้องคำนวณที่บันทึกต่างๆ .....	7
2.3 ขั้นตอนการดำเนินการของวิธี Newton-Raphson .....	7
2.4 ขั้นตอนการวิเคราะห์โโนดไฟฟ้าด้วยวิธี Newton-Raphson .....	8
2.5 เสถียรภาพของระบบไฟฟ้า .....	9
2.5.1 การศึกษาเสถียรภาพของระบบไฟฟ้ากำลังโดยหลักเกณฑ์พื้นที่เท่ากัน .....	13
2.5.2 มนตรีริงวิกฤต .....	15
2.5.3 การประยุกต์ใช้หลักเกณฑ์พื้นที่เท่ากัน .....	18
2.6 โปรแกรม PowerWorld .....	23

## สารบัญ (ต่อ)

	หน้า
บทที่ 3 การวิเคราะห์สศิลยภาพของระบบไฟฟ้า.....	26
3.1 ระบบศึกษา 4 บัส.....	26
3.2 ระบบศึกษา 10 บัส .....	30
บทที่ 4 ผลการวิเคราะห์สศิลยภาพระบบไฟฟ้าโดยโปรแกรม PowerWorld .....	32
4.1 ระบบไฟฟ้า 4 บัส.....	32
4.1.1 กราฟแสดงสถานะต่างๆ ในวงจรศึกษาโดยมีค่า $H=5$ , $D=5$ .....	33
4.1.2 กราฟแสดงการลัดวงจรระหว่างบัส 1 – บัส 3 โดยปรับค่า D และ H .....	35
4.2 ระบบไฟฟ้า 10 บัส.....	43
4.2.1 กราฟแสดงการลัดวงจรที่เกิดขึ้นในวงจร โดยปรับกำลังไฟฟ้าใน เครื่องกำเนิดไฟฟ้า.....	44
บทที่ 5 สรุปผลการวิเคราะห์สศิลยภาพของระบบไฟฟ้า.....	59
5.1 สรุปผล.....	61
5.2 ปัญหาและแนวทางแก้ไข .....	61
เอกสารอ้างอิง .....	61
ภาคผนวก .....	62
ประวัติผู้ดำเนินโครงการ .....	73

## สารบัญตาราง

ตารางที่	หน้า
2.1 การแจกแจงค่าที่กำหนดให้และค่าที่ต้องคำนวณที่นับต่างๆ .....	37
4.1 ค่าเวลาเคลื่อนที่ $D=0$ .....	37
4.2 ค่าเวลาเคลื่อนที่ $D=1$ .....	39
4.3 ค่าเวลาเคลื่อนที่ $D=5$ .....	41
4.4 ค่าเวลาเคลื่อนที่ $D=10$ .....	43
4.5 ค่ามุมเฟสและเวลาเคลื่อนที่ริงวิกฤตที่ $H=3$ ของรูปที่ 4.21 .....	47
4.6 ค่ามุมเฟสและเวลาเคลื่อนที่ริงวิกฤตที่ $H=3$ ของรูปที่ 4.22 .....	48
4.7 ค่ามุมเฟสและเวลาเคลื่อนที่ริงวิกฤตที่ $H=3$ ของรูปที่ 4.23 .....	49
4.8 ค่ามุมเฟสและเวลาเคลื่อนที่ริงวิกฤตที่ $H=3$ ของรูปที่ 4.25 .....	51
4.9 ค่ามุมเฟสและเวลาเคลื่อนที่ริงวิกฤตที่ $H=3$ ของรูปที่ 4.26 .....	52
4.10 ค่ามุมเฟสและเวลาเคลื่อนที่ริงวิกฤตที่ $H=3$ ของรูปที่ 4.27 .....	53
4.11 ค่ามุมเฟสและเวลาเคลื่อนที่ริงวิกฤตที่ $H=3$ ของรูปที่ 4.29 .....	55
4.12 ค่ามุมเฟสและเวลาเคลื่อนที่ริงวิกฤตที่ $H=3$ ของรูปที่ 4.30 .....	56
4.13 ค่ามุมเฟสและเวลาเคลื่อนที่ริงวิกฤตที่ $H=3$ ของรูปที่ 4.31 .....	57

## สารบัญรูป

รูปที่	หน้า
2.1 บันชานิดต่างๆ โดยกำลังที่ให้ผลเข้าบัดดีอ่วร่าเป็นนาว ก .....	5
2.2 ระบบเครื่องกังหัน เครื่องกำเนิดไฟฟ้าและเครื่องกระตุน .....	10
2.3 วงจรสมมูลลำดับนาวของเครื่องกำเนิดไฟฟ้า .....	10
2.4 เส้นโถงแสดงความสัมพันธ์ระหว่างกำลังไฟฟ้า P และมุมเฟส δ .....	12
2.5 การเปลี่ยนแปลงพลังไฟฟ้าในระบบจาก $P_{m0}$ ไปเป็น $P_{m1}$ ทำให้มีการเร่งและหน่วง ໄร์เซอร์เพื่อเข้าสู่จุดเสถียรภาพ .....	14
2.6 เส้นโถงแสดงกำลังไฟฟ้านุ่ม δ และมุมเคลือร์ริงวิกฤต δ <sub>cr</sub> และพื้นที่ A <sub>1</sub> เท่ากับพื้นที่ A <sub>2</sub> .....	15
2.7 แผนภาพเส้นเดิมของระบบไฟฟ้าที่เกิดการลัดวงจรที่สายสั่งค้านได้ด้านหนึ่ง .....	18
2.8 กราฟขณะการลัดวงจรตามรูปที่ 2.7: A ก่อนเกิดฟอลต์, B ขณะเกิดฟอลต์และ C หลังแยกฟอลต์ออกจากระบบ .....	19
2.9 ระบบไฟฟ้าในขั้นตอนเกิดการลัดวงจร .....	19
2.10 รีแอคเตนซ์โดยรวมของระบบไฟฟ้าในรูปที่ 2.7 เมื่อเกิดการลัดวงจรแบบสมมาตร 3 เฟสที่จุดใดๆ บนสายสั่ง TL2 .....	21
2.11 การใช้หลักเกณฑ์พื้นที่เท่ากันในการเคลียร์ฟอลต์เมื่อเกิดการลัดวงจรขึ้นที่ระบบสายสั่ง หลังงานไฟฟ้าโดยพื้นที่ A <sub>1</sub> และ A <sub>2</sub> มีค่าเท่ากัน .....	21
2.12 การใช้โปรแกรม PowerWorld วิเคราะห์การให้ผลกำลังไฟฟ้าในระบบ 100,000 บัส .....	23
2.13 การใช้โปรแกรม PowerWorld วิเคราะห์ข้อมูลชายแดน .....	24
2.14 การใช้โปรแกรม PowerWorld วิเคราะห์การให้ผลของกำลังไฟฟ้า .....	25
2.15 การใช้โปรแกรม PowerWorld วิเคราะห์แบบ 3 มิติ .....	25
3.1 ระบบศึกษา 4 บัส .....	26
3.2 วงจรสมมูล 4 บัส .....	26
3.3 วงจรขณะเกิดการลัดวงจรและกราฟแสดงพื้นที่เท่ากันของ A1 และ A2 .....	28
3.4 ระบบศึกษา 10 บัส .....	31
4.1 ระบบศึกษา 4 บัส .....	32
4.2 มุมเฟสของเครื่องกำเนิดไฟฟ้าในสภาพะปกติ .....	33
4.3 (ก) เมื่อเกิดการลัดวงจรมุมเฟสของเครื่องกำเนิดไฟฟ้าเพิ่มขึ้น (ข) หลังเกิดการลัดวงจร มุมเฟสของเครื่องกำเนิดไฟฟ้าสวิงเข้าสู่มุม $27.95^\circ$ .....	34
4.4 มุมเฟสของเครื่องกำเนิดไฟฟ้าในสภาพะเกิดการลัดวงจรที่เคลียร์ฟอลต์หลัง ในเวลาเคลียร์ริงวิกฤต .....	35

## สารบัญรูป (ต่อ)

รูปที่	หน้า
4.5 นูมเฟสของเครื่องกำเนิดไฟฟ้า โดยค่า D=0 และ H=1 .....	35
4.6 นูมเฟสของเครื่องกำเนิดไฟฟ้าโดยค่า D=0 และ H=5 .....	36
4.7 นูมเฟสของเครื่องกำเนิดไฟฟ้าโดยค่า D=0 และ H=10 .....	36
4.8 นูมเฟสของเครื่องกำเนิดไฟฟ้าโดยค่า D=1 และ H=1 .....	37
4.9 นูมเฟสของเครื่องกำเนิดไฟฟ้าโดยค่า D=1 และ H=5 .....	38
4.10 นูมเฟสของเครื่องกำเนิดไฟฟ้าโดยค่า D=1 และ H=10 .....	38
4.11 นูมเฟสของเครื่องกำเนิดไฟฟ้าโดยค่า D=5 และ H=1 .....	39
4.12 นูมเฟสของเครื่องกำเนิดไฟฟ้าโดยค่า D=5 และ H=5 .....	40
4.13 นูมเฟสของเครื่องกำเนิดไฟฟ้าโดยค่า D=5 และ H=10 .....	40
4.14 นูมเฟสของเครื่องกำเนิดไฟฟ้าโดยค่า D=10 และ H=1 .....	41
4.15 นูมเฟสของเครื่องกำเนิดไฟฟ้าโดยค่า D=10 และ H=5 .....	42
4.16 นูมเฟสของเครื่องกำเนิดไฟฟ้าโดยค่า D=10 และ H=10 .....	42
4.17 ระบบศึกษา 10 บัส .....	43
4.18 นูมเฟสในสภาวะปกติโดยกำลังไฟฟ้าของเครื่องกำเนิดไฟฟ้าห้องหมุดเท่ากับ 150 MW .....	44
4.19 นูมเฟสในสภาวะปกติโดยกำลังไฟฟ้าของเครื่องกำเนิดไฟฟ้าที่บัส 2, 3 เท่ากับ 120 MW และกำลังไฟฟ้าของเครื่องกำเนิดไฟฟ้าที่บัส 8 ตัวที่ 1, 2, 3 เท่ากับ 160 MW .....	45
4.20 นูมเฟสในสภาวะปกติโดยกำลังไฟฟ้าของเครื่องกำเนิดไฟฟ้าที่บัส 2, 3 และบัส 8 ตัวที่ 1, 2, 3 มีค่าเท่ากับ 140, 120, 160, 140 และ 120 MW ตามลำดับ .....	46
4.21 นูมเฟสที่เกิดการลัดวงจรที่บัส 6 – บัส 8 โดยกำลังไฟฟ้าของเครื่องกำเนิดไฟฟ้าห้องหมุด เท่ากับ 150 MW .....	47
4.22 นูมเฟสที่เกิดการลัดวงจรระหว่างบัส 6 – บัส 8 โดยกำลังไฟฟ้าของเครื่องกำเนิดไฟฟ้าที่ บัส 2, 3 เท่ากับ 120 MW และกำลังไฟฟ้าของเครื่องกำเนิดไฟฟ้าที่บัส 8 ตัวที่ 1, 2, 3 เท่ากับ 160 MW .....	48
4.23 นูมเฟสที่เกิดการลัดวงจรระหว่างบัส 6 – บัส 8 โดยกำลังไฟฟ้าของเครื่องกำเนิดไฟฟ้าที่ บัส 2, 3 และบัส 8 ตัวที่ 1, 2, 3 มีค่าเท่ากับ 140, 120, 160, 140 และ 120 MW ตามลำดับ .....	49
4.24 นูมเฟสของกำลังไฟฟ้าที่เกิดการลัดวงจรที่สายสั่งระหว่างบัส 6 – บัส 8 และเกลียร์ฟอร์กต์ หลังเวลาเคลียร์ริงวิกฤต .....	50
4.25 นูมเฟสที่เกิดการลัดวงจรที่บัส 4 โดยกำลังไฟฟ้าของเครื่องกำเนิดไฟฟ้าห้องหมุด เท่ากับ 150 MW .....	51

## สารบัญรูป (ต่อ)

รูปที่	หน้า
4.26 มุมไฟฟ้าที่เกิดการลัดวงจรที่บัส 4 โดยกำลังไฟฟ้าของเครื่องกำเนิดไฟฟ้าที่บัส 2, 3 เท่ากับ 120 MW และกำลังไฟฟ้าของเครื่องกำเนิดไฟฟ้าที่บัส 8 ตัวที่ 1, 2, 3 เท่ากับ 160 MW .....	52
4.27 มุมไฟฟ้าที่เกิดการลัดวงจรที่บัส 4 โดยกำลังไฟฟ้าของเครื่องกำเนิดไฟฟ้าที่บัส 2, 3 และบัส 8 ตัวที่ 1, 2, 3 มีค่าเท่ากับ 140, 120, 160, 140 และ 120 MW ตามลำดับ .....	53
4.28 มุมไฟฟ้าของกำลังไฟฟ้าในเครื่องกำเนิดไฟฟ้าที่เกิดการลัดวงจรที่บัส 4 และเคลียร์ฟอลต์ หลังเวลาเคลียร์ริงวิกฤต.....	54
4.29 มุมไฟฟ้าที่เกิดการลัดวงจรที่บัส 8 โดยกำลังไฟฟ้าของเครื่องกำเนิดไฟฟ้าทั้งหมดเท่ากับ 150 MW .....	55
4.30 มุมไฟฟ้าที่เกิดการลัดวงจรที่บัส 8 โดยกำลังไฟฟ้าของเครื่องกำเนิดไฟฟ้าที่บัส 2, 3 เท่ากับ 120 MW และกำลังไฟฟ้าของเครื่องกำเนิดไฟฟ้าที่บัส 8 ตัวที่ 1, 2, 3 เท่ากับ 160 MW .....	56
4.31 มุมไฟฟ้าที่เกิดการลัดวงจรที่บัส 8 โดยกำลังไฟฟ้าของเครื่องกำเนิดไฟฟ้าที่บัส 2, 3 และบัส 8 ตัวที่ 1, 2, 3 มีค่าเท่ากับ 140, 120, 160, 140 และ 120 MW ตามลำดับ .....	57
4.32 มุมไฟฟ้าของกำลังไฟฟ้าในเครื่องกำเนิดไฟฟ้าที่เกิดการลัดวงจรที่บัส 8 และเคลียร์ฟอลต์ หลังเวลาเคลียร์ริงวิกฤต.....	58

# บทที่ 1

## บทนำ

### 1.1 ที่มาและความสำคัญของโครงงาน

เดี๋ยวนี้ภาพของระบบไฟฟ้า คือ ความสามารถของเครื่องจักรกลแบบซิงโครนัสที่สามารถทำงานในสถานะปกติได้เมื่อเกิดการแกว่งตัวของระบบ (Disturbance) โดยไม่สูญเสียการซิงโครไนซ์ ซึ่งโดยทั่วไปการถูกแลกเปลี่ยนภาพของระบบจะต้องรักษาอนุមุมเพลส (Phase Angle) ระหว่างบั๊บทองสายสั่งไม่ให้ห่างกันมากจนเกินไปและขนาดของแรงดันต้องอยู่ใกล้กันกับค่าพิกัด (Nominal Voltage) โดยที่เครื่องกำเนิดไฟฟ้าสายสั่ง หม้อแปลง และอุปกรณ์อื่นๆ จะต้องไม่ทำงานเกินพิกัด (Overloaded)

โปรแกรมคอมพิวเตอร์ (PowerWorld Simulator) ใช้เพื่อควบคุมการไหลของกำลังไฟฟ้า (Power Flow) เป็นอุปกรณ์พื้นฐานสำหรับการวิเคราะห์ระบบไฟฟ้า ในโครงงานนี้โปรแกรม PowerWorld จะถูกใช้เพื่อวิเคราะห์หาแรงดันและอนุมุมเพลสของแต่ละบันส์ในระบบไฟฟ้า ภายใต้สภาวะคงตัวแบบสามเฟส (Three-Phase Steady State Condition) นอกจากนี้ยังสามารถนำไปใช้ในการคำนวณหาค่ากำลังไฟฟ้าจริง (Real Power) กำลังไฟฟ้าสมมูล (Reactive Power) และกำลังไฟฟ้าสูญเสีย (Power Losses) ในระบบได้ และสุดท้ายเสถียรภาพของระบบไฟฟ้า (System Stability) จะถูกวิเคราะห์และปรับปรุงให้ในสภาพที่ทำงานที่สมบูรณ์ที่สุด โดยการวิเคราะห์กราฟความสัมพันธ์ระหว่างกำลังไฟฟ้าจริงกับอนุมุมเพลสสูงสุด (Maximum Power Angle)

### 1.2 วัตถุประสงค์ของโครงงาน

วิเคราะห์เสถียรภาพของระบบไฟฟ้าในสภาวะปกติและสภาวะเกิดการลัดวงจร โดยใช้โปรแกรม PowerWorld

### 1.3 ขอบข่ายการทำงาน

- ออกแบบระบบไฟฟ้าที่กำหนดให้และวิเคราะห์การไหลของกำลังไฟฟ้าโดยวิธี Newton-Raphson และโปรแกรม PowerWorld
- คำนวณการไหลของกำลังไฟฟ้าโดยวิธี Newton-Raphson โดยใช้โปรแกรม PowerWorld
- คำนวณค่ากำลังไฟฟ้าจริง กำลังไฟฟ้าสมมูล และกำลังไฟฟ้าสูญเสีย โดยใช้โปรแกรม PowerWorld
- ศึกษาเสถียรภาพของระบบจากกราฟความสัมพันธ์ระหว่างกำลังไฟฟ้าจริงกับอนุมุมเพลสสูงสุด เมื่อปรับค่าสัมประสิทธิ์การหน่วง (Damping) และค่าความเร็ว (Inertia Constant)

5. วิเคราะห์แรงดัน นูมเพสของเครื่องกำเนิดไฟฟ้าและความถี่ของระบบในสภาวะปกติและสภาวะไม่ปกติ
  6. เสนอแนะวิธีปรับปรุงสตีรภาพของระบบให้ในสภาพที่ทำงานที่สมบูรณ์ที่สุด

#### 1.4 ขั้นตอนการดำเนินงานและแผนการดำเนินงาน

### 1.5 ผลที่คาดว่าจะได้รับ

เราสามารถใช้โปรแกรม PowerWorld นวิเคราะห์และปรับปรุงเส้นทางของระบบจากกราฟความสัมพันธ์ระหว่างกำลังไฟฟ้าจริงกับมุมเฟสสูงสุด โดยการคำนวณการไฟฟ้าด้วยวิธี Newton-Raphson

### 1.6 งบประมาณ

1. ค่าเอกสารประกอบการทำโครงการ	500 บาท
2. ค่าถ่ายเอกสารและจัดทำรูปเล่มปริญญาบัตร	1,500 บาท
รวมเป็นเงินทั้งสิ้น (สองพันบาทถ้วน)	<u>2,000 บาท</u>
หมายเหตุ: เลือกทุกรายการ	



## บทที่ 2

### หลักการและทฤษฎีที่เกี่ยวข้อง

การศึกษาการไฟฟ้าของໂທລດเป็นขั้นตอนที่สำคัญอย่างหนึ่งของการวิเคราะห์ระบบไฟฟ้า กำลัง ไม่ว่างานทางด้านปฏิบัติการ ควบคุมและวางแผนระบบไฟฟ้าจะต้องมีการประเมินสมรรถนะของระบบไฟฟ้าภายใต้เงื่อนไขที่มีการเปลี่ยนแปลงการทำงานของระบบและศึกษาผลกระทบเมื่อมีการเปลี่ยนแปลงรูปแบบของอุปกรณ์ในระบบ เช่น เมื่อระบบไฟฟ้าໂທລດเพิ่มขึ้นก็จะเกิดการเพิ่มต่อໂທລດใหม่หรือติดตั้งเครื่องกำเนิดไฟฟ้าและก่อสร้างสายส่งไฟฟ้าขึ้นใหม่เข้ากับระบบเดิม จึงทำให้มีผลกระทบต่อแรงดันและกระแสของระบบ อีกทั้งยังมีผลต่อการไฟฟ้าของกำลังจริงและกำลังเสมือนด้วย ซึ่งผลกระทบเหล่านี้จะเป็นต้องมีการศึกษาอยู่ เพื่อจะได้ดำเนินการดังกล่าวให้มีความถูกต้อง

#### 2.1 นิยามปัญหาของໂທລດ

การศึกษาการไฟฟ้าของໂທລດในบทนี้จะศึกษาระบบ 3 เฟสสมดุล และการคำนวณเป็นระบบไฟฟ้าเดียว ผลการศึกษาที่สมบูรณ์มีความต้องการที่ทราบถึงตัวแปร 4 ตัว ที่แต่ละบัส  $k$  ได้ในระบบคือ

- กำลังจริงที่บัส ( $P_k$ )
- กำลังเสมือนที่บัส ( $Q_k$ )
- ขนาดแรงดันที่บัส ( $V_k$ )
- มุมไฟฟ้าของแรงดันที่บัส ( $\delta_k$ )

ก่อนการแก้ปัญหาจะต้องทราบค่าตัวแปรที่แต่ละบัส 2 ค่าก่อนและหลังจากได้แก้ปัญหา การไฟฟ้าจะมีผลทำให้ทราบค่าตัวแปร 2 ค่าที่เหลือ

โดยทั่วไปในระบบไฟฟ้ากำลังจะกำหนดໂທລດหรือบัสไว้ 3 ชนิดดังนี้

##### 1. บัสสวิง (Swing Bus)

บันไดเป็นบัสของเครื่องกำเนิดไฟฟ้า ซึ่งจะใช้ในการตอบสนองการเปลี่ยนแปลงของໂທລດและกำลังสูญเสียของระบบ บัสสวิงจะกำหนดค่าขนาดแรงดัน ( $|V_k|$ ) และมุมไฟฟ้า ( $\delta_v$ ) เพื่อความสะดวกจะเลือกค่า  $V \angle \delta_k = 1.0 \angle 0$  ซึ่งถือว่าเป็นไฟฟ้าอ้างอิงของระบบ

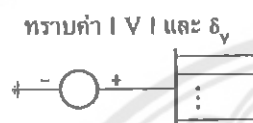
##### 2. บัสเครื่องกำเนิดไฟฟ้า (Generator Bus)

บันไดจะทราบค่ากำลังจริงของอุปกรณ์เครื่องกำเนิดไฟฟ้า ( $P$ ) และขนาดแรงดันที่ผลิตได้ของบัส ( $|V_k|$ ) ส่วนค่า  $Q$  และ  $\delta_v$  จะต้องคำนวณหา

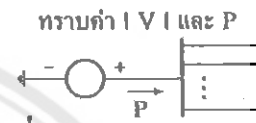
### 3. บัสโหลด (Load Bus)

บัสนี้จะทราบค่ากำลังจริง ( $P_L$ ) และกำลังสมมูล (Q<sub>L</sub>) ซึ่งเป็นกำลังความต้องการของโหลด โดยต้องคำนวณหาขนาดแรงดัน ( $|V_k|$ ) และมุมไฟฟ้า  $\delta$  ของบัสสำหรับบัสใดที่ไม่มีหัวโหลดและเครื่องกำเนิดไฟฟ้าบันส์จะพิจารณาเป็นบัสโหลด เช่นเดียวกัน

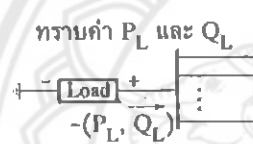
จากที่ได้กล่าวไปแล้วข้างต้นว่าในบัสแต่ละชนิดจะมีตัวแปรที่ทราบค่าเพียง 2 ตัว ส่วนตัวแปรที่เหลืออีก 2 ตัวจะต้องคำนวณหา โดยรูปที่ 2.1 ได้แสดงตัวแปรที่กำหนดในบัสแต่ละชนิด



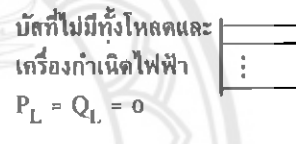
(ก) บัสสวิง



(ข) บัสเครื่องกำเนิดไฟฟ้า



(ก) บัสโหลด

(ก) บัสโหลดที่  $P_L = Q_L = 0$ 

รูปที่ 2.1 บัสชนิดค่างๆ โดยกำลังที่ให้เห็นข้างต้นคือว่าเป็นบวก

ในการตั้งปัญหาการให้ผลของโหลดนั้นจะต้องมีสมการของระบบ ซึ่งจะเป็นสมการเชิงเส้นหรือไม่เชิงเส้นขึ้นอยู่กับการเลือกวิธีการแก้ปัญหา โดยมีความเป็นไปได้ที่สามารถแนะนำได้ 3 วิธีดังนี้

- สมการกระแสสามารถเขียนสมการที่บัส  $k$  ได้ ในทอนของแรงดันที่ไม่ทราบค่า รูปแบบของสมการนี้คือ

$$I_k = Y_{k1}V_1 + Y_{k2}V_2 + \dots + Y_{kn}V_n \quad (2.1)$$

วิธีนี้จะใช้กันอย่างแพร่หลายและจะได้สมการที่เป็นกลุ่มของสมการที่เป็นกลุ่มของสมการเชิงเส้น แหล่งจ่ายกระแสที่ทราบค่า  $I_k$  สามารถเขียนให้อยู่ในทอนของ  $P_k$ ,  $Q_k$  และ  $V_k$  ได้ ถ้ามีความจำเป็นสมการเชิงเส้นอาจจะเขียนให้อยู่ในรูปแบบของเมทริกซ์โดยการใช้บัสแอคอมพิเต้นซ์ เมทริกซ์

- สมการแรงดันสามารถเขียนสมการที่ถูก  $k$  ได้ ในทอนของกระแสที่ไม่ทราบค่า รูปแบบทั่วไปของสมการนี้คือ

$$E_k = Z_{k1}I_1 + Z_{k2}I_2 + \dots + Z_{kn}I_n \quad (2.2)$$

สมการที่ได้จะเป็นกู้นของสมการเชิงเส้นเช่นเดียวกัน สมการเชิงเส้นอาจจะเขียนให้ออกในรูปแบบของบัสอิมพีเดนซ์เมทริกซ์ อย่างไรก็ตามวิธีนี้ไม่ค่อยจะเหมาะสมกับการแก้ปัญหาการไฟฟ้าของໂໂລດ

3. การเขียนสมการของบัสในเทอมของกำลังจริงและกำลังเสมือน ในกรณีสมการของกำลังที่ไฟฟ้าเข้าหรือออกจากบัส  $k$  ใดๆ จะอยู่ในรูปแบบของสมการไม่เชิงเส้นคือ

$$\begin{aligned} P_k + jQ_k &= |Y_{k1}| |E_1| |E_k| \angle(\delta_k - \delta_1 - \theta_{k1}) \\ &\quad + |Y_{k2}| |E_2| |E_k| \angle(\delta_k - \delta_2 - \theta_{k2}) + \dots \\ &\quad + |Y_{kn}| |E_n| |E_k| \angle(\delta_k - \delta_n - \theta_{kn}) \end{aligned} \quad (2.3)$$

จากตัวแปร 4 ตัวที่บัส  $k$  ใดๆ ( $P_k, Q_k, E_k$  และ  $\delta_k$ ) จะมีตัวแปรที่ทราบค่า 2 ตัวแค่ไม่ทราบค่า 2 ตัว การแก้ปัญหางจะใช้วิธี Newton-Raphson ซึ่งเป็นวิธีที่ได้พิสูจน์แล้วว่ามีประสิทธิภาพสำหรับแก้ปัญหาคู่ของสมการที่ (2.3) [1, 2]

## 2.2 การวิเคราะห์การไฟฟ้าในระบบไฟฟ้า

ในการวิเคราะห์ระบบไฟฟ้ากำลัง จะต้องทราบข้อมูลของอุปกรณ์ไฟฟ้าในระบบก่อน เพื่อใช้ในการหากระแสไฟฟ้าและแรงดันไฟฟ้าของระบบ

### 2.2.1 ข้อมูลสำหรับการศึกษาการไฟฟ้าในระบบกำลังไฟฟ้า

1. เมทริกซ์แอดมิตเตนซ์ ( $Y$ ) ของระบบ
2. บัสสวิง (Swing Bus) กีบัสอ้างอิงของระบบที่บัสนี้จะกำหนดค่าแรงดัน และ มุมของแรงดันไว้
3. บัสໂໂລດ (Load Bus) กีบัสที่มีกระแสไฟฟ้าต่ออยู่ที่บัสนี้จะกำหนดค่ากำลังไฟฟ้าจริงและกำลังไฟฟ้าเสมือน ( $P, Q$ )
4. บัสเกรื่องกำเนิดไฟฟ้า (Generator Bus) กีบัสที่มีเครื่องกำเนิดไฟฟ้าต่ออยู่ จะกำหนดค่ากำลังไฟฟ้าจริงและขนาดของแรงดัน ( $P, V$ )
5. อินพีเดนซ์ชั้นนุกรมและแอดมิตเตนซ์ชั้นนานของสายส่ง เวลาเพิ่มอุปกรณ์เข้ามาในระบบ
6. ข้อมูลอื่นๆ เช่น พิกัดกำลังไฟฟ้าและอินพีเดนซ์ของหม้อแปลง พิกัดตัวเก็บประจุ บนสายและ การตั้งแต่ป้องของหม้อแปลง

### 2.2.2 ค่าที่กำหนดให้และค่าที่ต้องคำนวณที่บัสต่างๆ

ค่ากำลังไฟฟ้าจริง ( $P$ ) กำลังไฟฟ้าเสื่อม ( $Q$ ) ขนาดของแรงดันไฟฟ้า ( $V$ ) และมุมไฟฟ้าของแรงดันไฟฟ้า ( $\delta$ ) ซึ่งเป็นพารามิเตอร์ที่กำหนดค่ามาให้ หรือต้องคำนวณ ณ บัสต่างๆ ได้แก่ บัสสวิง บัสเครื่องกำเนิดไฟฟ้า และบัสโหลด ดังตารางที่ 2.1 [1, 2]

ตารางที่ 2.1 การแจกแจงค่าที่กำหนดให้และค่าที่ต้องคำนวณที่บัสต่างๆ

บัส	ค่าที่กำหนดมาให้		ค่าที่ต้องคำนวณ	
บัสสวิง (Swing Bus)	$V$	$\delta$	$P$	$Q$
บัสเครื่องกำเนิดไฟฟ้า (Gen. Bus)	$P$	$V$	$Q$	$\delta$
บัสโหลด (Load Bus)	$P$	$Q$	$V$	$\delta$

### 2.3 ขั้นตอนการดำเนินการของวิธี Newton–Raphson

โดยที่สมการเขียนอยู่ในรูปแบบโพลาร์ได้ดังนี้

- หาค่า  $P_k$  และ  $Q_k$  ที่ให้เหลือไว้ในระบบที่ทุกๆบัส (ยกเว้นบัสสวิง) โดยการกำหนดค่าเริ่มต้นของแรงดันทั้งขนาดและมุมสำหรับรอบที่ 1 ส่วนรอบต่อไปให้นำค่าแรงดันที่ได้จากรอบก่อนหน้านี้มาแทนค่าในสมการที่ (2.4) และสมการที่ (2.5)
- คำนวณหา  $\Delta P_k$  และ  $\Delta Q_k$  (ยกเว้นบัสสวิง)
- คำนวณหาค่าอีลิเมนต์ใน Jacobian เน็ทริกซ์ โดยการแทนค่าแรงดันทั้งขนาดและมุมลงในสมการที่จะทำอนุพันธ์บางส่วน
- ทำการลดรูปหรืออินเวอร์sigma โตกับ Jacobian เน็ทริกซ์ และคำนวณหาค่า  $\Delta \delta_k$  และ  $\Delta |V_k|$  ที่ทุกๆบัส
- คำนวณค่าใหม่ของ  $\delta_k$  และ  $|V_k|$  โดยการรวม  $\Delta \delta_k$  และ  $\Delta |V_k|$  เข้ากับค่า  $\delta_k$  และ  $|V_k|$  ของรอบก่อนหน้านี้
- กลับสู่ขั้นตอนที่ 1 และทำการวนการรอบนี้ซ้ำ โดยอีลิเมนต์ใดที่ต้องหาค่าซึ่งต้องเกี่ยวพันกับแรงดันก็ให้ใช้แรงดันทั้งขนาดและมุมจากการอบล่าสุด สำหรับกระบวนการรอบจะต้องดำเนินการจนกระทั่งทุกค่าของ  $\Delta P$  และ  $\Delta Q$  หรือทุกค่าของ  $\Delta \delta_k$  และ  $\Delta |V_k|$  มีค่าน้อยกว่าค่าดัชนีที่กำหนด สำหรับค่าของ  $P$  และ  $Q$  ที่บัสสวิงและค่า  $Q$  ที่บัสเครื่องกำเนิดไฟฟ้าสามารถคำนวณหาได้จากสมการที่ (2.4) และสมการที่ (2.5)

## 2.4 ขั้นตอนการวิเคราะห์โหลดโฟล์วด้วยวิธี Newton–Raphson

ที่บัสโหลดบัสนี้จะทราบค่ากำลังจริงและกำลังเสมิ่อน ซึ่งเป็นกำลังโดยความต้องการของไหกด

- ทราบค่า  $P_i^{sch}$  และ  $Q_i^{sch}$
- กำหนดค่าแรงดันบัสเริ่มต้น โดยกำหนดให้เท่ากับบัสสวิง (Swing Bus) หรือกำหนด  $|V_i^{(0)}| = 1$  และ  $\delta_i^{(0)} = 0$
- หาค่า  $P_i^{(k)}$ ,  $Q_i^{(k)}$  จาก

$$P_i = \sum_{j=1}^N |V_i V_j Y_{ij}| \cos(\theta_{ij} + \delta_j + \delta_i) \quad (2.4)$$

$$Q_i = - \sum_{j=1}^N |V_i V_j Y_{ij}| \sin(\theta_{ij} + \delta_j + \delta_i) \quad (2.5)$$

- หาค่า  $\Delta P_i^{(k)}$ ,  $\Delta Q_i^{(k)}$  จาก

$$\Delta P_i^{(k)} = P_i^{sch} - P_i^{(k)} \quad (2.6)$$

$$\Delta Q_i^{(k)} = Q_i^{sch} - Q_i^{(k)} \quad (2.7)$$

ที่บัสเครื่องกำเนิดไฟฟ้าบัสนี้จะทราบค่ากำลังจริงของเครื่องกำเนิดไฟฟ้าและขนาดแรงดันที่ผลิตได้ของบัส

- ทราบค่า  $P_i^{sch}$
  - กำหนดค่าอุปทานของแรงดันบัสเริ่มต้น โดยกำหนดให้เท่าของบัสสวิง (Swing Bus) หรือกำหนด  $\delta_i^{(0)} = 0$
  - หาค่า  $P_i^{(k)}$  จากสมการ (2.4)
  - หาค่า  $\Delta P_i^{(k)}$  จากสมการ (2.6)
- หาสามาชิกแต่ละตัวในเมตริกซ์จากเป็น  $[J]$

$$[J] = \begin{bmatrix} J_1 & J_2 \\ J_3 & J_4 \end{bmatrix} \quad (2.8)$$

โดยแทนค่า  $|V_i^{(k)}| \angle \delta_i^{(k)}$ ,  $|V_j^{(k)}| \angle \delta_j^{(k)}$ ,  $Y_{ij}^{(k)} \angle \theta_{ij}^{(k)}$

$$\text{หา } \Delta \delta_i^{(k)}, \Delta |V_i^{(k)}| \text{ จาก } \begin{bmatrix} \Delta \delta_i^{(k)} \\ \Delta |V_i^{(k)}| \end{bmatrix} = [J^{(k)}]^{-1} \begin{bmatrix} \Delta P_i^{(k)} \\ \Delta Q_i^{(k)} \end{bmatrix}$$

หา  $\delta_i^{(k+1)}$ ,  $|V_i^{(k+1)}|$  จาก

$$\delta_i^{(k+1)} = \delta_i^{(k)} + \Delta \delta_i^{(k)} \quad (2.9)$$

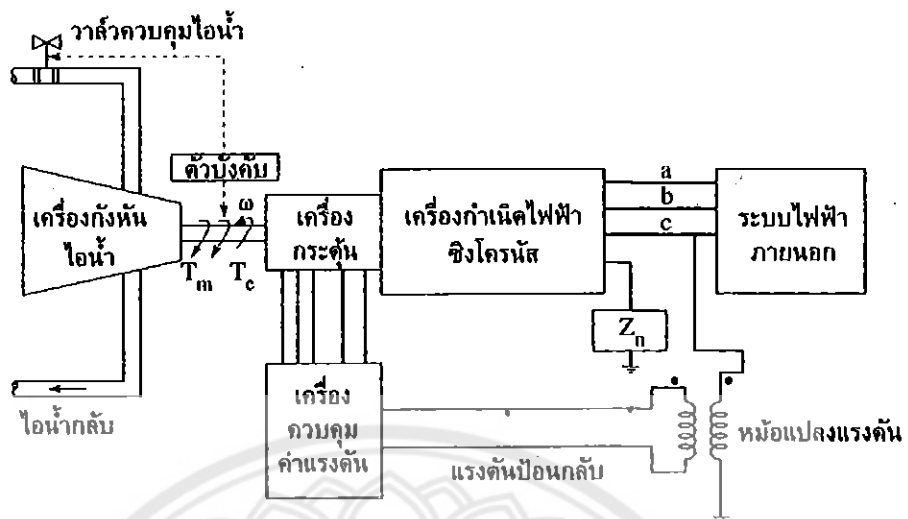
$$|V_i^{(k+1)}| = |V_i^{(k)}| + \Delta |V_i^{(k)}| \quad (2.10)$$

กลับไปทำขั้นตอนที่ 1 ใหม่ โดยใช้  $\delta_i^{(k+1)}$ ,  $|V_i^{(k+1)}|$  ไปเรื่อยๆ จนกระทั่ง  $|\Delta P_i^{(k)}| \leq \varepsilon$   
และ  $|\Delta Q_i^{(k)}| \leq \varepsilon$  เมื่อ  $\varepsilon$  มีค่าน้อยมาก โดยทั่วไปแล้ว กำหนดให้  $\varepsilon = 2.5 \times 10^{-4}$  [1, 2]

## 2.5 เสถียรภาพของระบบไฟฟ้า

องค์ประกอบบนพื้นฐานที่เกี่ยวข้องกับการทำงานของเครื่องกำเนิดไฟฟ้าประกอบไปด้วย  
ระบบไฟฟ้าที่ต่ออยู่กับเครื่องต้นกำลัง และเครื่องกระตุ้น ดังแสดงในรูปที่ 2.2

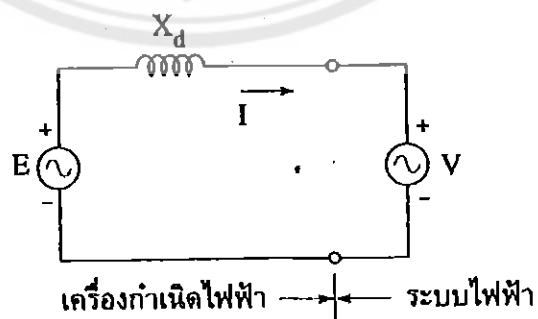
จากรูปที่ 2.2 เครื่องกังหันจะผลิตแรงบิดหรือทอร์ก  $T_m$  (Torque) ตามทิศทางของการหมุน  
โดยทอร์กนี้สามารถควบคุมได้โดยตรงจากการให้ลงไอน้ำไปยังเครื่องกังหันด้วยตัวบังคับ  
(Governor) และวาล์วควบคุมไอน้ำ (Main Steam Valve) ซึ่งทอร์กนี้จะมีขนาดเท่ากันและต้านทาน  
กับทอร์กแม่เหล็กไฟฟ้า  $T_e$  (Electromagnetic Torque) ที่เกิดขึ้นจากปฏิกิริยาระหว่างสนามแม่เหล็ก  
ของโรเตอร์และสเตเตอร์ โดยทอร์กจะมีความสัมพันธ์กับกำลังไฟฟ้า  $P_e$  ( $P_e = T_e \omega_m$ ) ในการ  
ทำงานนั้นตัวบังคับจะตรวจสอบความเร็วของเพลา ( $\omega$ ) ว่ามีการเบี่ยงเบนไฟจากความเร็วที่ตั้งไว้  
( $\omega_s$ ) เพื่อให้จึงพยายามปรับความเร็วของเพลาให้เท่ากับความเร็วที่ตั้งไว้ โดยการควบคุม  
ตำแหน่งของวาล์วควบคุมไอน้ำ ซึ่งสามารถพิจารณาให้เป็นความเร็วในสภาวะอุปคัติที่และถือ  
เป็นการผิดของระบบ 3 เฟสสมดุล คันนั้นจึงให้ความสัมพันธ์ของทอร์กคือ  $T_m = T_e$



รูปที่ 2.2 ระบบเครื่องกั้งหัน เครื่องกำเนิดไฟฟ้าและเครื่องกระตุ้น

สำหรับแรงดันเหนี่ยวนำภายในของเครื่องกำเนิดไฟฟ้า E จะมีการควบคุม โดย เครื่องกระตุ้นและหม้อแปลงแรงดันทำการตรวจสอบแรงดันข้าอกของเครื่องกำเนิดไฟฟ้าและ ป้อนแรงดันกลับมาขึ้นเครื่องควบคุมค่าแรงดัน (Voltage Regulator) ซึ่งเครื่องคุมค่าแรงดันจะ เปรียบเทียบค่าแรงดันป้อนกลับกับค่าแรงดันอ้างอิงที่ได้ตั้งไว้ จึงใช้ค่าความแตกต่าง (Error) ไป ควบคุมการจ่ายของแรงดันของเครื่องกระตุ้นให้กับโรเตอร์ของเครื่องกำเนิดไฟฟ้า จึงส่งผลให้มีการ เปลี่ยนแปลงแรงดันเหนี่ยวนำภายในเครื่องกำเนิดไฟฟ้า เพื่อจะได้ไม่เกิดความแตกต่างของแรงดัน อ้างอิงและแรงดันข้าอกของเครื่องกำเนิดไฟฟ้านั่นเอง

ถ้าพิจารณาให้เครื่องกำเนิดไฟฟ้าต่อ กับระบบไฟฟ้า 3 เฟสสมดุลในสภาวะอยู่ด้วยสามารถ พิจารณาสมมูลค่าดังนี้ ของเครื่องกำเนิดไฟฟ้าได้ตามรูปที่ 2.3



รูปที่ 2.3 วงจรสมมูลค่าดับเบิลของเครื่องกำเนิดไฟฟ้า

จากรูปที่ 2.3 เมื่อประยุกต์ใช้กฎแรงดันของเกอร์ชอฟฟ์สามารถเขียนเป็นสมการที่มีหน่วยเป็น per unit ได้ดัง

$$E = jX_d I + V \quad (2.11)$$

หรือ

$$I = \frac{E - V}{jX_d} \quad (2.12)$$

สำหรับกำลังเชิงซ้อน

$$S = VI^* = V \frac{E - V}{jX_d} \quad (2.13)$$

เมื่อ  $V$  คือ  $V \angle 0^\circ$  ก็จะแรงดันที่ข้างของเครื่องกำเนิดไฟฟ้า

$E$  คือ  $E \angle \delta$  ก็จะแรงดันเหนือน้ำภายในของเครื่องกำเนิดไฟฟ้า

$\delta$  คือมุมกำลัง

ดังนั้นจากสมการที่ (2.13) จะได้

$$\begin{aligned} S &= V \left[ \frac{E}{X_d} \angle \delta - 90^\circ + j \frac{V^2}{X_d} \right] \\ &= \frac{VE}{X_d} \angle 90^\circ - \delta - j \frac{V^2}{X_d} \end{aligned} \quad (2.14)$$

$$\begin{aligned} &= \left[ \frac{VE}{X_d} \cos 90^\circ - \delta + \frac{VE}{X_d} \sin 90^\circ - \delta \right] - j \frac{V^2}{X_d} \\ &= \frac{VE}{X_d} \sin \delta + j \left[ \frac{VE}{X_d} \cos \delta - \frac{V^2}{X_d} \right] \end{aligned} \quad (2.15)$$

เมื่อกำลังจริงคือ

$$P = R_e[S] = \frac{VE}{X_d} \sin \delta \quad (2.16)$$

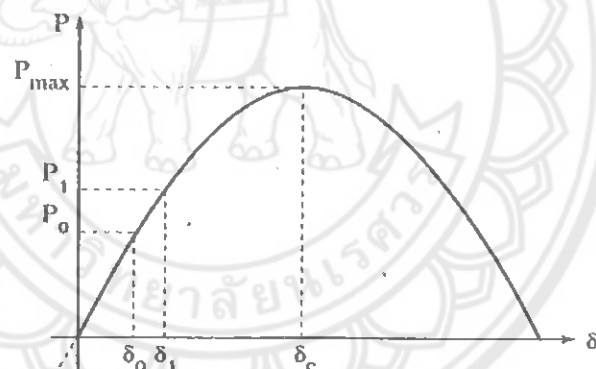
และกำลังส่วนอนคือ

$$Q = I_e[S] = \frac{VE}{X_d} \cos \delta - \frac{V^2}{X_d} \quad (2.17)$$

สำหรับกำลังจริง  $P$  จากสมการที่ (2.16) คือ  $P_m$  ที่ได้จากการเปลี่ยนรูปกำลังกลเป็น กำลังไฟฟ้า ซึ่งสมการที่ (2.16) จะใช้อธิบายปฏิกริยาของระบบควบคุมระหว่างเครื่องกำเนิดไฟฟ้า กับเครื่องกำกันและเครื่องกระตุน โดยเริ่มพิจารณากำลังจริงที่ได้รับจากการปรับวัล์คูวนคุณไอ้น้ำ เพียงอย่างเดียว ถ้ามีการเพิ่มวัล์คูวนมากนั้นคือ เครื่องกำกันจะผลักดันมาก ดังนั้นกำลังจะเพิ่มนากขึ้นด้วย และจะส่งผลให้กำลังไฟฟ้าเพิ่มนากขึ้นเช่นกัน ถ้ากำหนดให้  $E, V$  และรีแอคแทนซ์  $X_d$  มีค่าคงที่ ดังนั้นควรเพียงด้วยที่ต้องมีค่าเพิ่มน้ำหนักให้  $\delta$  เมื่อพิจารณาจาก群ที่ 2.4 จะเห็นได้ว่าการเพิ่มน้ำหนักของกำลังไฟฟ้าจาก  $P_0$  ถึง  $P_1$  จะสอดคล้องกับการเพิ่มน้ำหนักของมุมกำลัง  $\delta$  และ  $\delta_c$  อย่างไรก็ตามการเพิ่มกำลังไฟฟ้ามีจุดจำกัดอยู่ที่กำลังไฟฟ้าสูงสุดค่าหนึ่ง ได้แก่  $P_{max}$  ซึ่งเป็นจุดจำกัดของเสถียรภาพแบบอยู่ตัวใช้อ้างอิง โดยมีสมการเป็น

$$P_{max} = \frac{VE}{X_d} \sin \delta_c = \frac{VE}{X_d} \quad (2.18)$$

เมื่อ  $\delta_c = 90^\circ$  เรียกว่า มุมกำลังวิกฤต (Critical Power Angle)



รูปที่ 2.4 เส้นโค้งแสดงความสัมพันธ์ระหว่างกำลังไฟฟ้า  $P$  และมุม  $\delta$

ถ้ามีการเพิ่มกำลังกล  $P_m$  ต่อไปโดยมุม  $\delta$  ไม่เกินค่า  $90^\circ$  จะทำให้เครื่องกำเนิดไฟฟ้าไม่สามารถที่จะชิงโกรในชั้นระบบได้ ดังนั้นเพื่อหลีกเลี่ยงปัญหาเหล่านี้ เครื่องกำเนิดไฟฟ้าโดยทั่วไปจะทำงานโดยมีมุมกำลังขนาดเด็ก (ประมาณ  $20^\circ$ ) จากที่กล่าวมาแล้วจะเห็นได้ว่าการตั้งค่าวัล์คูวนคุณไอ้น้ำจะมีความสัมพันธ์กับการให้พลังกำลังไฟฟ้าและมุม  $\delta$

เมื่อพิจารณาระบบควบคุมส่วนที่ส่งกลตัวคือตั้งค่าของเครื่องควบคุมค่าแรงดันให้สูงขึ้น จะส่งผลให้แรงดันเหนี่ยวนำภายในมีค่าเพิ่มน้ำหนัก จากสมการที่ (2.17) สมนติให้ค่าแรงดันรีแอคแทนซ์ และมุม  $\delta$  มีค่าคงที่ ดังนั้นเมื่อแรงดันมีค่าเพิ่มน้ำหนักเพิ่มขึ้นกำลัง stemmed จะเพิ่มน้ำหนักด้วยเหตุนี้ ทำให้การตั้งค่า

ค่าของเครื่องควบคุมแรงดันจะมีความสัมพันธ์กับแรงดันเหนี่ยวนำและกำลังเสริมอ่อนที่ให้โดยอุปกรณ์  
เครื่องกำเนิดไฟฟ้า

### 2.5.1 การศึกษาเสถียรภาพของระบบไฟฟ้ากำลังโดยหลักเกณฑ์พื้นที่เท่ากัน

ในกรณีที่ระบบไม่เสถียรภาพมุ่ง  $\delta$  จะเพิ่มขึ้นไปตามเวลาและเครื่องจักรซิงโตรนัสก็จะ  
หลุดจากซิงโตรไนซ์ แต่ในกรณีของระบบที่เสถียรภาพมุ่ง  $\delta$  จะมีการเปลี่ยนแปลงในลักษณะการ  
แกว่งไปมาและในที่สุดก็จะหยุดลงที่ ช่วงจากปุ่มที่ 2.5 จะเห็นได้ว่าระบบที่เสถียรภาพนั้นที่บางช่วง  
ของเวลาจะต้องมี  $\frac{d\delta}{dt} = 0$

ถ้าพิจารณาค่าไฟฟ้าเรนเซียบล  $\frac{dx^2}{dt}$  เราจะได้

$$\frac{dx^2}{dt} = 2x \frac{dx}{dt}$$

ดังนั้น

$$\frac{d}{dt} \left[ \frac{d\delta}{dt} \right]^2 = 2 \frac{d\delta}{dt} \frac{d^2\delta}{dt^2}$$

หรือ

$$\frac{d^2\delta}{dt^2} = \frac{d(d\delta/dt)^2}{2d\delta} \quad (2.19)$$

แทนสมการที่ (2.19) ลงในสมการ  $M \frac{d^2\delta}{dt^2} = P_m - P_e$  จะได้

$$Md \left( \frac{d\delta}{dt} \right)^2 = 2(P_m - P_e)d\delta \quad (2.20)$$

ทำการอินทิเกรตสมการที่ (2.20) ดังนี้

$$\left( \frac{d\delta}{dt} \right)^2 = \frac{2}{M} \int_{\delta_0}^{\delta} (P_m - P_e) d\delta \quad (2.21)$$

หรือ

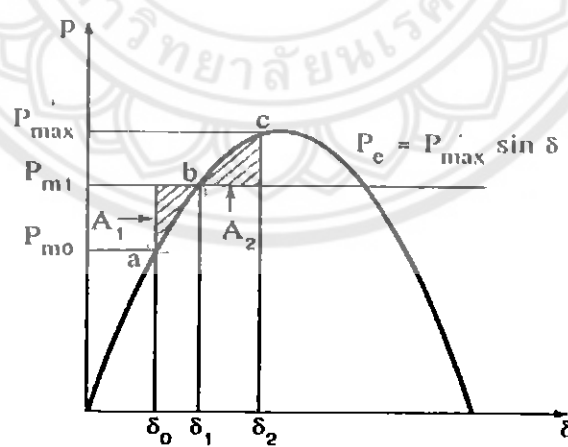
$$\frac{d\delta}{dt} = \sqrt{\frac{2}{M} \int_{\delta_0}^{\delta} (P_m - P_e) d\delta} \quad (2.22)$$

เมื่อ  $\delta_0$  คือ นุ่มกำลังเริ่มนต้นก่อนที่โรเตอร์จะเกิดการแยกว่างเพราะสาเหตุจากการบวนที่เกิดขึ้นในระบบไฟฟ้า

จากหลักเกณฑ์ของเสถียรภาพเราจะได้  $\frac{d\delta}{dt} = 0$  (ที่เวลาในบางช่วง) นั่นหมายถึง

$$\int_{\delta_0}^{\delta} (P_m - P_e) d\delta = 0 \quad (2.23)$$

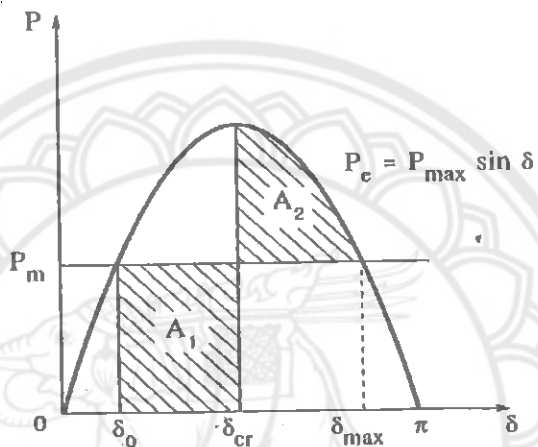
จากสมการที่ (2.23) เป็นเงื่อนไขสำหรับการเสถียรภาพโดยการพิจารณาจากปีที่ 2.5 ถ้าระบบเริ่มนต้นจ่ายพลังไฟฟ้าอยู่ที่นุ่ม  $\delta_0$  แต่เมื่อเกิดการบวนที่นุ่มกับระบบจะทำให้ต้องมีการจ่ายไฟฟ้าเพิ่มขึ้นโดยนุ่ม  $\delta$  เดื่อนไปสู่นุ่ม  $\delta_0$  ดังนั้นจึงต้องเร่งโรเตอร์จากนุ่ม  $\delta_0$  เดื่อนไปสู่นุ่ม  $\delta_1$  เพื่อให้เข้าสู่จุดเสถียรภาพ โดยใช้พลังงานในการเร่งโรเตอร์เท่ากับพื้นที่  $A_1$  แต่โรเตอร์ไม่สามารถหยุคที่นุ่ม  $\delta_1$  ได้เนื่องจากความเสื่อมของส่วนที่หุ่น จึงทำให้นุ่ม  $\delta$  เคลื่อนที่ไปสู่นุ่ม  $\delta_2$  ( $P_{m1} < P_{e2}$ ) ด้วยเหตุนี้จึงต้องมีการหน่วงโรเตอร์กลับมาที่นุ่ม  $\delta_1$  โดยใช้พลังงานเท่ากับพื้นที่  $A_2$  จึงต้องทำให้เกิดเสถียรภาพ ตามที่กล่าวมานี้จะเป็นหลักเกณฑ์พื้นที่เท่ากันสำหรับเสถียรภาพของระบบไฟฟ้า กำลัง กล่าวคือพื้นที่บวก (หรือพลังงานที่ใช้เร่งโรเตอร์) ต้องเท่ากับพื้นที่ลบ (หรือพลังงานที่ใช้หน่วงโรเตอร์)



รูปที่ 2.5 การเปลี่ยนแปลงพลังไฟฟ้าในระบบจาก  $P_{m0}$  ไปเป็น  $P_{m1}$  ทำให้มีการเร่งและหน่วงโรเตอร์เพื่อเข้าสู่จุดเสถียรภาพ

### 2.5.2 มนุคเลียร์ริงวิกฤต

เมื่อมีการระบบหรือเกิดการลัดวงจรขึ้นกับระบบไฟฟ้าจะมีผลทำให้มุม  $\delta$  มีค่าสูงขึ้นเนื่องจากอิทธิพลของกำลังที่ทำให้เกิดความเร่ง ซึ่งถ้ามุม  $\delta$  มีค่าสูงมากระบบก็จะเข้าสู่สภาวะไม่เสถียรภาพ ถ้าห้องการให้ระบบขึ้นคงอยู่ในสภาวะเสถียรภาพและสอดคล้องกับเงื่อนไขของหลักเกณฑ์พื้นที่เท่ากันเราวางจำเป็นต้องแยกฟอลต์อกก่อนที่ระบบจะมีมุม  $\delta$  เกินค่าวิกฤตค่านั้นซึ่งเรียกมุมนี้ว่า มุมคเลียร์ริงวิกฤต  $\delta_{cr}$  ดังแสดงในรูปที่ 2.6 และเวลาคเลียร์ริงวิกฤตที่สอดคล้องกันสำหรับแยกฟอลต์อกจากระบบเรียกว่า เวลาคเลียร์ริงวิกฤต  $t_{cr}$



รูปที่ 2.6 เส้นโค้งแสดงกำลังไฟฟ้านุ่ม  $\delta$  แสดงมุมคเลียร์ริงวิกฤต  $\delta_{cr}$  และพื้นที่  $A_1$  เท่ากับพื้นที่  $A_2$

ในการผังภาพรูปที่ 2.6 เราสามารถหาอนุมคเลียร์ริงวิกฤตและเวลาคเลียร์ริงวิกฤตได้ดังนี้ พื้นที่สี่เหลี่ยม  $A_1$  จะได้

$$A_1 = \int_{\delta_0}^{\delta_{cr}} P_m d\delta = P_m (\delta_{cr} - \delta_0) \quad (2.24)$$

ในขณะที่พื้นที่  $A_2$  ก็อ

$$\begin{aligned} A_2 &= \int_{\delta_{cr}}^{\delta_{max}} (P_e - P_m) d\delta \\ &= \int_{\delta_{cr}}^{\delta_{max}} (P_{max} \sin \delta - P_m) d\delta \\ A_2 &= P_{max} (\cos \delta_{cr} - \cos \delta_{max}) - P_m (\delta_{max} - \delta_{cr}) \end{aligned} \quad (2.25)$$

จากหลักเกณฑ์พื้นที่เท่ากัน ดังนั้นพื้นที่  $A_1 = A_2$  โดยที่

$$\begin{aligned} P_{max}(\cos\delta_{cr} - \cos\delta_{max}) - P_m(\delta_{max} - \delta_{cr}) &= P_m(\delta_{cr} - \delta_0) \\ P_{max}(\cos\delta_{cr} - \cos\delta_{max}) &= P_m(\delta_{max} - \delta_0) \end{aligned} \quad (2.26)$$

ดังนั้นจะได้

$$\cos\delta_{cr} = \frac{P_m}{P_{max}}(\delta_{max} - \delta_0) + \cos\delta_{max} \quad (2.27)$$

สำหรับเส้นโค้งกำลังไฟฟ้านะบุน ง เป็นวงกลมไขวๆอยู่ด้วย ดังนั้นจะได้

$$\delta_{max} = \pi - \delta_0 \text{ เรเดียนทางไฟฟ้า} \quad (2.28)$$

เมื่อแทนค่า

$$\cos\delta_{cr} = \frac{P_{max}\sin\delta_0}{P_{max}}(\pi - \delta_0 - \delta_0) + \cos(\pi - \delta_0)$$

และ

$$\delta_{cr} = \cos^{-1}[(\pi - 2\delta_0)\sin\delta_0 - \cos\delta_0] \quad (2.30)$$

จากสมการแก่ว่าจะได้

$$P_m - P_e = \frac{H}{\pi f} \frac{d^2\delta}{dt^2} \quad (2.31)$$

เมื่อเกิดการสั่นสะเทือนที่เวลา  $t = 0$  ในทันทีทันใดนั้น ค่ากำลังไฟฟ้าของ  $P_e$  จะคงที่เป็นศูนย์ แต่กำลังกลาโหมเข้าที่เพลาโรเตอร์ยังคงมีอยู่ซึ่งจะเป็นกำลังที่ทำให้เกิดความเร่งนั้นเอง ดังนั้น ในเหตุการณ์ช่วงเวลาดังกล่าวเราจะได้

$$\frac{H}{\pi f} \frac{d^2\delta}{dt^2} = P_m \quad (2.32)$$

และ

$$\frac{d^2\delta}{dt^2} = \frac{\pi f}{H} P_m = \frac{2\pi f}{2H} P_m = \frac{\omega_s}{2H} P_m \quad (2.33)$$

ดังนั้นในขณะที่เกิดการสั่นสะเทือนของโรเตอร์ที่เพิ่มขึ้นมากกว่าความเร็วซิงโกรนัส ซึ่งเราสามารถหาค่าความเร็วนี้ได้จากการอินทิเกรตสมการที่ (2.33) จะได้

$$\frac{d\delta}{dt} = \int_0^t \frac{\omega_s}{2H} P_m dt = \int_0^t \frac{\omega_s}{2H} P_m dt + c_1 \quad (2.34)$$

เนื่องจากสภาวะก่อนเกิดการสั่นสะเทือนนี้ความเร็วเป็น零 หรือ  $\frac{d\delta}{dt} = 0$  ดังนั้นเมื่อเริ่มเกิดการสั่นสะเทือนที่  $t = 0$  ค่า  $c_1$  ในสมการที่ (2.34) จึงเท่ากับศูนย์ ถ้าเราต้องการหาค่า  $\delta$  ที่เลื่อนออกไปจากมุ่ง  $\delta_0$  เนื่องจากได้รับความเร่งที่โรเตอร์ จึงสามารถทำการอินทิเกรตสมการที่ (2.34) เพียงกับเวลาจะได้

$$\delta = \int \frac{\omega_s}{2H} P_m t dt = \frac{\omega_s}{4H} P_m t^2 + c_2 \quad (2.35)$$

ขลละเอียดที่เริ่มเกิดการสั่นสะเทือนที่เวลา  $t=0$

$$\delta = \frac{\omega_s}{4H} P_m t^2 + \delta_0 \quad (2.36)$$

มุ่ง  $\delta$  เป็นตำแหน่งเชิงมุ่ง ของโรเตอร์ที่เลื่อนออกไป เนื่องจากความเร่งนั้นเอง ถ้าเราคำนวณหาค่า  $\delta$  ที่ได้แล้วและนำมาราบบกับค่าทางซ้ายมือ ของสมการที่ 2.36 จะคำนวณหาเวลาเคลื่อนที่ที่เราต้องการให้ เช่นกันคือ

$$\delta_{cr} = \frac{\omega_s}{4H} P_m t^2 + \delta_0 \quad (2.37)$$

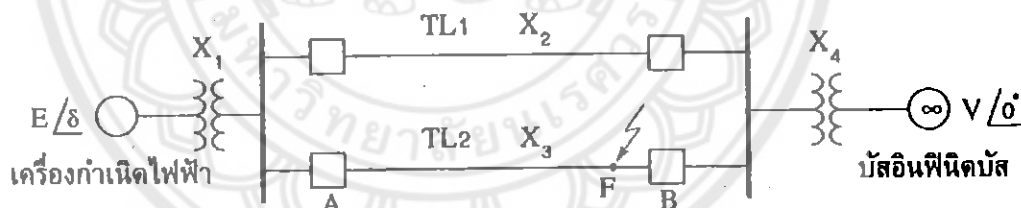
เมื่อได้  $\delta_{cr}$  เราสามารถหาค่า  $t_{cr}$  ได้จากสมการ

$$t_{cr} = \sqrt{\frac{4H(\delta_{cr}-\delta_0)}{\omega_s P_m}} \quad (2.38)$$

### 2.5.3 การประยุกต์ใช้หลักเกณฑ์พื้นที่เท่ากัน

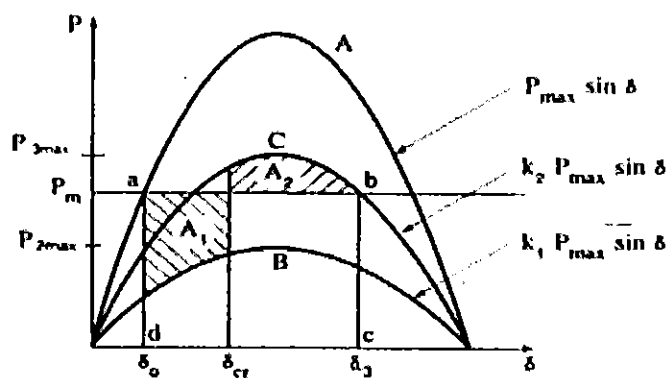
ในการศึกษาผลกระทบของการลัดวงจรที่มีค่าสตีเบิร์กภาพของเครื่องกำเนิดไฟฟ้านั้น สิ่งหนึ่งที่จะสนใจคือเวลาเคลื่บยิงวิกฤต (ไซเคิลหรือวินาที) ซึ่งในช่วงเวลาที่เครื่องกำเนิดไฟฟ้าทำงานอยู่ แยกสายส่งที่เกิดการลัดวงจรออกจากระบบให้ได้ แต่ถ้าเซอร์กิตเบรกเกอร์ไม่สามารถทำงานได้เร็วภายในช่วงเวลาดังกล่าวระบบก็จะเกิดสภาวะไม่เสถียรภาพ สำหรับหลักเกณฑ์พื้นที่เท่ากันไม่ใช้เป็นวิธีการหาเวลาเคลื่บยิงวิกฤต แต่เป็นวิธีการที่ใช้หานูนเคลื่บยิงวิกฤตซึ่งมันก็จะสอดคล้องกับเวลาด้วยเช่นกันดังได้แสดงให้เห็นในหัวข้อก่อนหน้านี้ ในขณะที่ชนิดของการลัดวงจรที่นำมาพิจารณาในการศึกษาสตีเบิร์กภาพแบบทราบเชื่ันต์ส่วนมากแล้วจะเป็นการลัดวงจรแบบสมมาตร 3 เฟส และที่สำคัญอีกประการหนึ่งคือ หลักเกณฑ์พื้นที่เท่ากันสามารถประยุกต์ใช้กับเครื่องจักรกลไฟฟ้า 2 เครื่อง หรือเครื่องจักรกลไฟฟ้า 1 เครื่องกับอีก 1 อินฟินิตี้บัสเท่านั้น อย่างไรก็ตามหลักเกณฑ์พื้นที่เท่ากันเป็นวิธีการหนึ่งที่ช่วยให้เราสามารถเข้าใจถึงสตีเบิร์กภาพแบบทราบเชื่ันต์ได้เป็นอย่างดี

#### 1. กรณีเกิดการลัดวงจรแบบสมมาตร 3 เฟส ที่สายส่งด้านใดด้านหนึ่ง



รูปที่ 2.7 แผนภาพเส้นเดียวของระบบไฟฟ้าที่เกิดการลัดวงจรที่สายส่งด้านใดด้านหนึ่ง

พิจารณาแผนภาพเส้นเดียวตามรูปที่ 2.7 เป็นระบบไฟฟ้าที่มีสายส่ง 2 wang ต่อขนาดกันโดยที่ปลายสายส่งต่อ กับบัสเครื่องกำเนิดไฟฟ้าและบัสสิง เมื่อเกิดการลัดวงจรแบบสมมาตร 3 เฟส ที่ปลายสายส่งหนึ่งตรงชุด F ในทันทีทันใดนั้นเองกำลังไฟฟ้าขาออก  $P_c$  จะตกลงเป็นศูนย์ และเซอร์กิตเบรกเกอร์ A และ B จะทำงานโดยปลดสายส่ง TL2 เพื่อแยกฟอลต์ออกจากระบบ หลังจากนั้นเครื่องกำเนิดไฟฟ้าก็จะส่งพลังไฟฟ้าเข้าระบบโดยผ่านสายส่ง TL1 ดังที่ได้กล่าวมานี้จะแสดงเป็นลำดับขั้นตอนได้ 3 เงื่อนไข ตามรูปที่ 2.8 ดังนี้



รูปที่ 2.8 กราฟขบวนการลักษณะตามรูปที่ 2.7: A ก่อนเกิดฟอลต์, B ขณะเกิดฟอลต์ และ C หลังแยกฟอลต์ออกจากระบบ

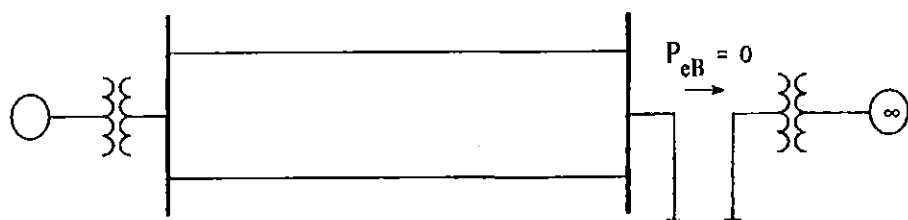
- ขั้นตอนก่อนเกิดการลักษณะแสดงด้วยเส้นโค้ง A ซึ่งถือว่าระบบอยู่ในสภาวะปกติ คั่งน้ำ P\_c = P\_m และสามารถหาค่า  $P_e$  ได้จากสมการ

$$P_{eA} = \frac{EV}{X_{eq}} \sin \delta \quad (2.39)$$

โดยที่

$$X_{eq} = X_1 + X_4 + \frac{X_2 X_3}{X_2 + X_3}$$

- ขั้นตอนขณะเกิดการลักษณะ เมื่อเกิดการลักษณะแบบสมมาตร 3 เฟส ขึ้นที่จุด F จะ เสนอถึงกับว่า ได้แยกเครื่องกำเนิดไฟฟ้าออกจากระบบดังแสดงในรูปที่ 2.9 คั่งน้ำ กำลังไฟฟ้าของ  $P_c = 0$  พื้นที่ A1 ในรูปที่ 2.8 จะเป็นสัดส่วนโดยตรงกับพลังงานคงที่ สะสมในโรเตอร์ที่ทำให้เกิดความเร่งและมีการเลื่อนหมุน  $\delta$  ไปตำแหน่ง  $\delta_1$



รูปที่ 2.9 ระบบไฟฟ้าในขั้นตอนเกิดการลักษณะ

3. ขั้นตอนหลังจากแยกฟอลต์ออกจากรอบน ถ้าเซอร์กิคเบรคเกอร์ A และ B สามารถแยกได้ทันที ระบบจะได้รับพลังไฟฟ้าโดยผ่านสายสั่ง TL1 ตามเด็นโถง C ซึ่งจะมีความสัมพันธ์เป็นไปตามสมการ

$$P_{eC} = \frac{EV}{x_1+x_2+x_4} \quad (2.40)$$

หลังจากแยกสายสั่ง TL2 ออกจากรอบนแล้ว โรเตอร์ชั้งคงได้รับความเร่งจนมุม  $\delta$  เคลื่อนออกไปเกินมุม  $\delta_1$  จนกระทั่งถึงมุม  $\delta_2$  ซึ่งในช่วงนี้กำลังไฟฟ้าขาออก  $P_c$  มีค่าสูงกว่ากำลังกลบที่  $P_m$  ตามพื้นที่  $A_2$  โดยที่เราสามารถหาค่าพื้นที่  $A_1$  และ  $A_2$  ได้จาก

$$A_1 = \int_{\delta_0}^{\delta_{cr}} (p_m - p_{2max} \sin\delta) d\delta \quad (2.41)$$

และ

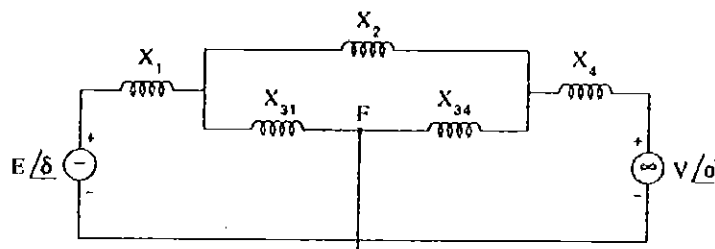
$$A_2 = \int_{\delta_{cr}}^{\delta_3} (p_{3max} \sin\delta - p_m) d\delta \quad (2.42)$$

สำหรับการคำนวณหาค่า  $\delta_{cr}$  นั้น เราจะใช้สมการที่ (2.41) เท่ากับสมการ (2.42) จะได้

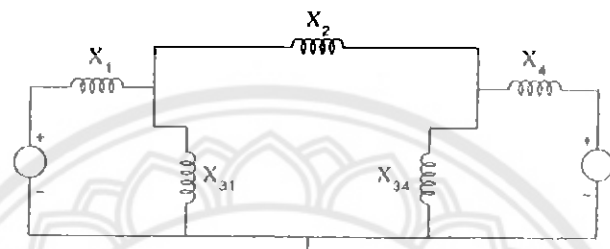
$$\int_{\delta_0}^{\delta_{cr}} (P_m - P_{2max} \sin\delta) d\delta = \int_{\delta_{cr}}^{\delta_3} (P_{3max} \sin\delta - P_m) d\delta \quad (2.43)$$

## 2. กรณีเกิดการลัดวงจรแบบสมมาตร 3 เพสที่ดำเนินแห่งใดๆ บนสายสั่ง

เมื่อเกิดการลัดวงจรแบบสมมาตร 3 เพสที่ดำเนินแห่งใดๆ บนสายสั่งของระบบไฟฟ้า ในรูปที่ 2.7 จะเห็นได้ว่ามีอินเพ็คเดนซ์บางส่วนของสายสั่งต่อระหว่างบัสกับจุดการลัดวงจรคั่งแสดงเป็นรีแอคเตนซ์โดยแกรนได้ตามรูปที่ 2.10



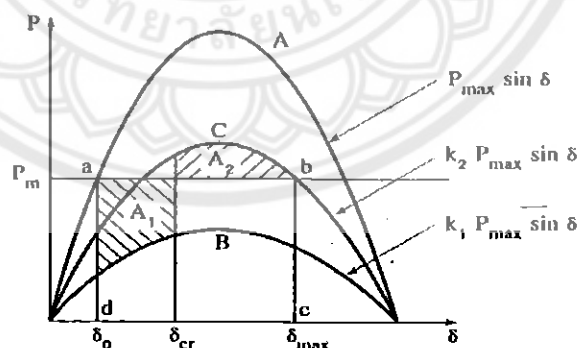
(n)



(x)

รูปที่ 2.10 รีเซกเต้นซ์โดยสารของระบบไฟฟ้าในรูปที่ 2.7 เมื่อเกิดการลัดวงจรแบบสมมาตร 3 เฟสที่จุดใดๆ บนสายส่ง TL2

ดังนั้นถ้าประยุกต์หลักเกณฑ์พื้นที่เท่ากัน เราสามารถสร้างเส้นโค้งแสดงความสัมพันธ์ระหว่างกำลังและมุม  $\delta$  ได้ตามรูปที่ 2.11



รูปที่ 2.11 การใช้หลักเกณฑ์พื้นที่เท่ากันในการเคลียร์ฟอลต์เมื่อเกิดการลัดวงจรขึ้นที่ระบบสายส่งพลังงานไฟฟ้าโดยพื้นที่  $A_1$  และ  $A_2$  มีค่าเท่ากัน

จากรูปที่ 2.11 กำหนดให้เส้นโค้ง A คือกำลังไฟฟ้าของระบบก่อนเกิดการลัดวงจร สำหรับช่วงเวลาที่เกิดการลัดวงจรแสดงค่าเฉลี่ยเส้นโค้ง B และเส้นโค้ง C เป็นกำลังไฟฟ้าของระบบหลังจาก

แยกฟอลต์ออกจากระบบแล้ว ดังนั้นเราสามารถหาความสัมพันธ์ของค่ากำลังไฟฟ้าในช่วง เกตุการณ์ต่างๆ ได้ดังนี้

$$A = P_{max} \sin \delta \quad (2.44)$$

$$B = k_1 A = k_1 P_{max} \sin \delta \quad (2.45)$$

$$C = k_2 A = k_2 P_{max} \sin \delta \quad (2.46)$$

โดยที่  $k_1 < k_2$

สำหรับเงื่อนไขของการรักษาสภาวะเสถียรภาพของระบบไฟฟ้านั้นต้องมีพื้นที่  $A_1 = A_2$  ดังนั้นถ้าใช้เงื่อนไขดังกล่าวเราจะได้

$$(\delta_{max} - \delta_0) P_m = \int_{\delta_0}^{\delta_{cr}} B d\delta + \int_{\delta_{cr}}^{\delta_{max}} C d\delta \quad (2.47)$$

แทนค่า B จากสมการที่ (2.45), C จากสมการที่ (2.46) และ  $P_m = P_{max} \sin \delta_0$  ลงสมการที่ (2.47) ทำการอินทิเกรตแล้วจัดเรียงเทอมใหม่ ในที่สุดจะได้

$$\cos \delta_{cr} = \frac{1}{k_2 - k_1} [(\delta_{max} - \delta_0) \sin \delta_0 - k_1 \cos \delta_0 + k_2 \cos \delta_{max}] \quad (2.48)$$

จากรูปที่ 2.11 จะได้

$$P_m = P_{max} \sin \delta_0 = k_2 P_{max} \sin \delta_{max} = k_2 P_{max} \sin(\pi - \delta_{max}) \quad (2.49)$$

ดังนั้นจากสมการที่ (2.49) จะได้

$$\sin \delta_0 = k_2 \sin(\pi - \delta_{max}) \quad (2.50)$$

เมื่อกำหนดค่า  $k_1$ ,  $k_2$  และ  $\delta_0$  มาให้เราเก็บสามารถคำนวณหาอนุกรมคือริงวิกฤตได้จากสมการที่ (2.48) และสมการที่ (2.50) สำหรับสมการในการคำนวณเวลาหาอนุกรมคือริงวิกฤตในกรณีนี้ไม่สามารถจัดเป็นรูปแบบได้อย่างไรก็ตามการหาเวลาหาอนุกรมคือริงวิกฤตสามารถทำได้ถ้ามีเส้นโค้งแก่ๆ ที่แสดงความสัมพันธ์ระหว่างมุม  $\delta$  กับเวลา  $t$  [1, 2]

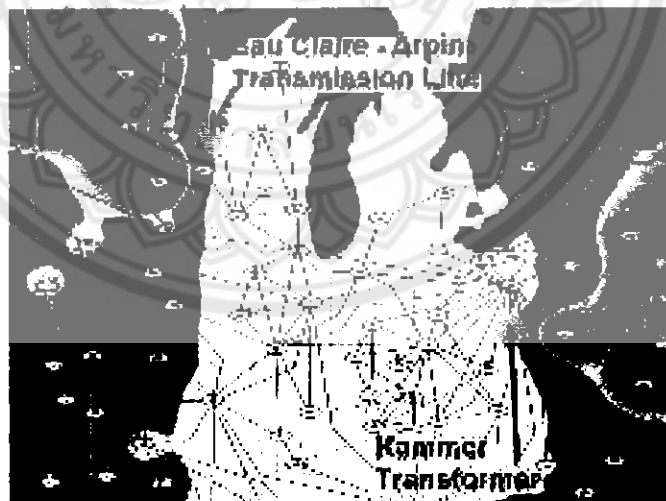
## 2.6 โปรแกรม PowerWorld

โปรแกรม PowerWorld คือโปรแกรมจำลองการไหลของระบบไฟฟ้ากำลังที่สามารถจำลองลักษณะของการเกิดฟอล์ตแบบต่างๆ สามารถวิเคราะห์การไหลของกำลังและคำนวณการไหลของกำลังได้ด้วยวิธี Newton-Raphson โดยการกำหนดพารามิเตอร์ต่างๆให้ครบ ทำให้เราสามารถวิเคราะห์กราฟความสัมพันธ์ของการเปลี่ยนแปลงมุนโรเตอร์ และปรับค่าของระบบ เช่น ค่าสัมประสิทธิ์การหน่วงและความถี่ เพื่อให้เกิดเสถียรภาพได้เร็วขึ้น

โปรแกรม PowerWorld เป็นเครื่องมือที่มีประสิทธิภาพและมีประสิทธิภาพในการวิเคราะห์ระบบไฟฟ้ากำลังและการมองเห็นเป็นผลึกกัมมี่ที่มีเครื่องมือที่จำเป็นสำหรับนักวางแผน นักการตลาดด้านกำลัง ผู้ประกอบ นักศึกษาและบุคคลอื่นที่ต้องการการเข้าถึงข้อมูลระบบไฟฟ้าและการวิเคราะห์ในรูปแบบที่ใช้งานง่าย

การสร้างระบบไฟฟ้าของเราจะแสดงการได้ศูนย์และเครื่องมือการนำเสนอที่มีประสิทธิภาพสามารถช่วยให้องค์กรของคุณที่มีความต้องการที่หลากหลายจากงานนำเสนอและการศึกษาเพื่อการตลาดให้กับลูกค้าและเตรียมการสำหรับการพิจารณาให้ถูกต้อง

โปรแกรม PowerWorld สามารถสร้างระบบการจำลองระบบไฟฟ้าแรงดันสูงและการวิเคราะห์ หลักของซอฟต์แวร์ที่เป็นเครื่องมือแก้ปัญหาทรงพลังที่สามารถดำเนินการได้อย่างมีประสิทธิภาพในการวิเคราะห์การไหลของพลังงานในระบบที่มากถึง 100,000 บัส



รูปที่ 2.12 การใช้โปรแกรม PowerWorld วิเคราะห์การไหลกำลังไฟฟ้าในระบบ 100,000 บัส [5]

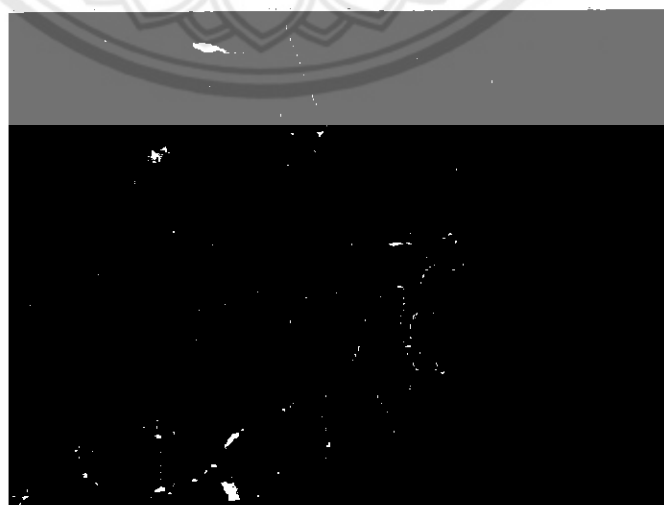
### การจำลองประกอบด้วย

1. ตัวเลือกการแก้ปัญหาการไหลของกำลังจำนวนมาก
2. การไหลแรงดันไฟฟ้าและการคำนวณการสูญเสีย

3. การวิเคราะห์ความผิดพร่องแบบสนคุณและไม่สนคุณ
4. เครื่องมือในการวิเคราะห์ย่างรวดเร็วมากและมีประสิทธิภาพและหลากหลายกรณี
5. และตัวเลือกเครื่องมืออื่นๆอีกมาก many เพื่อให้ตรงกับการวิเคราะห์ระบบกำลังที่ต้องการ
6. การรักษาความปลอดภัยที่จำกัด (Optimal Power Flow; OPF)
7. การรักษาความปลอดภัยที่จำกัด (Security Constrained OPF; SCOPF)
8. การสำรอง (Reserves; OPF)
9. ความสามารถในการโอน (Transfer Capability; ATC)
10. การประมวลผลโครงสร้างแบบบูรณาการ (Integrated Topology Processing)
11. เครื่องมือการวิเคราะห์กราฟความสัมพันธ์ระหว่างกำลังไฟฟ้าจริงและกำลังไฟฟ้าเสมือน  
เบริชบเทบกับแรงดัน (Real and Reactive Power)
12. เสถียรภาพชั่วครู่ (Transient Stability)
13. การคำนวณการกระจาย (Distributed Computing)
14. เซอร์เวอร์อัตโนมัติ (Automation Server SimAuto)

#### **รีทรีฟเวอร์และซอฟต์แวร์ OPS-X (Retriever and OPS-X Software)**

รีทรีฟเวอร์และซอฟต์แวร์ OPS-X เป็นเครื่องมือแสดงข้อมูลเรียลไทม์ใช้สำหรับการดำเนินการระบบ, นักวิเคราะห์ระบบและนักการตลาดค้านไฟฟ้าเพื่อการรับและวิเคราะห์ข้อมูลสู่ใช้งานรุดหน้าข้อมูลเรียลไทม์ เช่น Geographic Information System (GIS) ใช้ในการแสดงข้อมูลสภาพอากาศที่ทันสมัย ซึ่ง GIS นำมาใช้สนับสนุนข้อมูล เช่น ห้องสมุดที่สมบูรณ์และข้อมูลขายแคน โดยเครื่องมือการสร้างแผนภาพแบบอัตโนมัติ



**รูปที่ 2.13 การใช้โปรแกรม PowerWorld วิเคราะห์ข้อมูลขายแคน [5]**

โปรแกรม PowerWorld เป็นเครื่องจำลองขั้นตอนของเวลา (รวมทั้งที่ฐานของโปรแกรม จำลองและรีทรีฟเวอร์) ช่วยให้สามารถระบุเงื่อนไขการคำนวณงานและการไฟฟ้าของกำลังไฟฟ้า สำหรับ ณ ตำแหน่งของเวลา



รูปที่ 2.14 การใช้โปรแกรม PowerWorld วิเคราะห์การไฟฟ้า [5]

โปรแกรม PowerWorld ใช้กราฟความละเอียดสูง គิจกรรมบรรทัดเดียวทาง ภูมิศาสตร์ที่มีการสำรวจได้อย่างร่าယ้ายและมีการเชื่อมโยง 3 มิติรูปทรงแผนภูมิวงกลมขนาดแบบ ไนามิกและการสร้างภาพแผนภาพการไฟฟ้าของระบบที่เหมือนจริง



15732876

✓✓.

W23/17

2563

รูปที่ 2.15 การใช้โปรแกรม PowerWorld วิเคราะห์แบบ 3 มิติ [5]

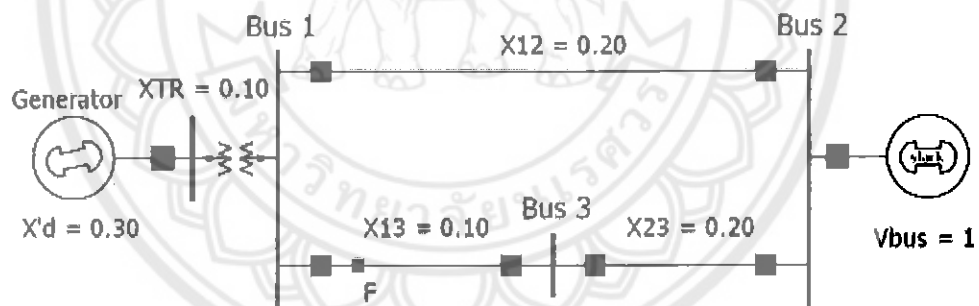
## บทที่ 3

### การวิเคราะห์เสถียรภาพของระบบไฟฟ้า

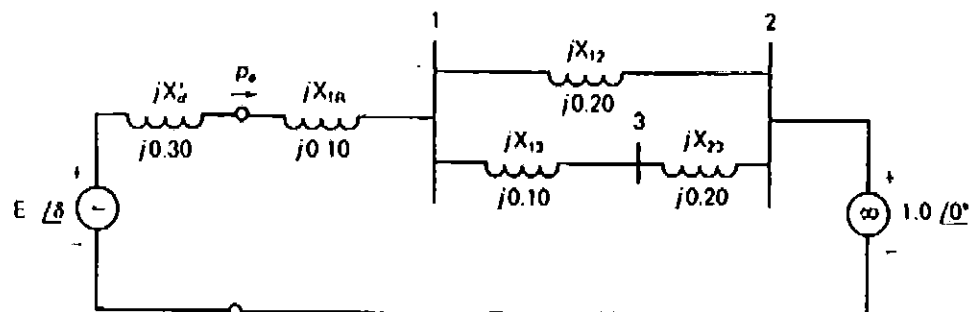
ในการวิเคราะห์เสถียรภาพของระบบไฟฟ้า โดยใช้หลักเกณฑ์พื้นที่เท่ากันจะสามารถใช้กับระบบไฟฟ้าขนาดเดียวกันนั้น ซึ่งไม่หมายความว่าระบบขนาดใหญ่ เนื่องจากความซับซ้อนในการแก้สมการ อย่างไรก็ตามวิเคราะห์โดยพื้นที่เท่ากันจะช่วยให้เข้าใจได้ง่ายขึ้น ในบทนี้จะศึกษาระบบ 3 เฟส 4 บัส เพื่อศึกษาเสถียรภาพของระบบไฟฟ้า โดยพิจารณาขนาดมุมเคลื่บเริงวิกฤต ( $\delta_{cr}$ ) และเวลาเคลื่บเริงวิกฤต ( $t_{cr}$ ) เพื่อคงเสถียรภาพของระบบไว้ได้

#### 3.1 ระบบศึกษา 4 บัส

ระบบ Single Line 3 Phase มีเครื่องกำเนิดไฟฟ้า 2 เครื่องซึ่งเชื่อมต่อ กับหม้อแปลง 1 ตัวและสายส่งไฟฟ้า 4 เส้นผ่านไปยังบัสสวิงโดยมีค่าเรือกແแทนซ์ของแต่ละคู่อยู่ในรูปของ per unit และบัสสวิงมีค่าเป็น 1.0 per unit ค่าเพาเวอร์เฟกเตอร์เท่ากับ 0.95 ล้าหลัง โดยมีการลักษณะที่สายส่งระหว่างบัส 1 และบัส 3



รูปที่ 3.1 ระบบศึกษา 4 บัส



รูปที่ 3.2 วงจรสมมูล 4 บัส

### วิธีการคำนวณ

จากวงจรสมมูลจะได้

$$\begin{aligned} X_{eq} &= X'_d + X_{TR} + X_{12} \parallel (X_{13} + X_{23}) \\ &= 0.30 + 0.10 + 0.20 \parallel (0.10 + 0.20) \\ &= 0.520 \quad \text{per unit} \end{aligned}$$

คำนวณหาค่ากระแสและแรงดันภายในระบบ

$$\begin{aligned} I &= \frac{P}{V_{bus} (\text{p.f.})} \angle -\cos^{-1}(\text{p.f.}) \\ &= \frac{(1.0)}{(1.0)(0.95)} \angle -\cos^{-1}(0.95) \\ &= 1.05263 \angle -18.195^\circ \quad \text{per unit} \end{aligned}$$

$$\begin{aligned} E &= E\angle\delta = V_{bus} + jX_{eq}I \\ &= 1.0\angle0^\circ + (j0.520)(1.05263\angle -18.195^\circ) \\ &= 1.0\angle0^\circ + 0.54737\angle71.805^\circ \\ &= 1.1709 + j0.5200 \\ &= 1.2812 \angle 23.946^\circ \quad \text{per unit} \end{aligned}$$

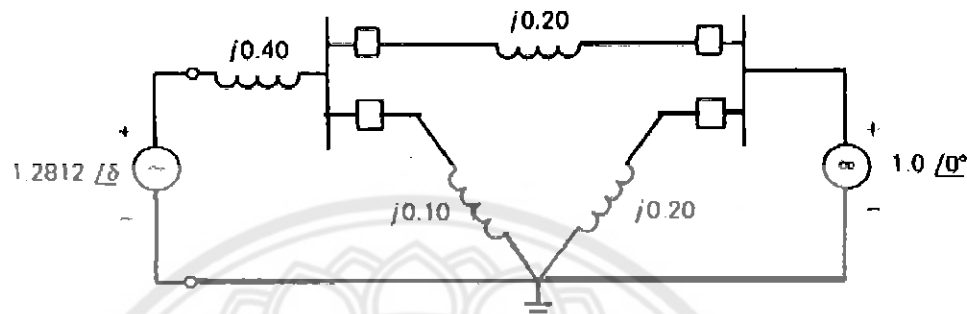
สมการกำลังไฟฟ้าที่ส่งโดยเครื่องกำเนิดไฟฟ้าไปยังบัสสวิงจะทำงานปกติ เมื่อขึ้นเท่านี้ด้วย  $P_{e1}$  จากสมการที่ (2.39) จะได้

$$\begin{aligned} P_{e1} &= \frac{EV_{bus}}{X_{eq}} \sin\delta \\ &= \frac{(1.2812)(1.0)}{0.520} \sin\delta \\ &= 2.4638 \sin\delta \quad \text{per unit} \end{aligned}$$

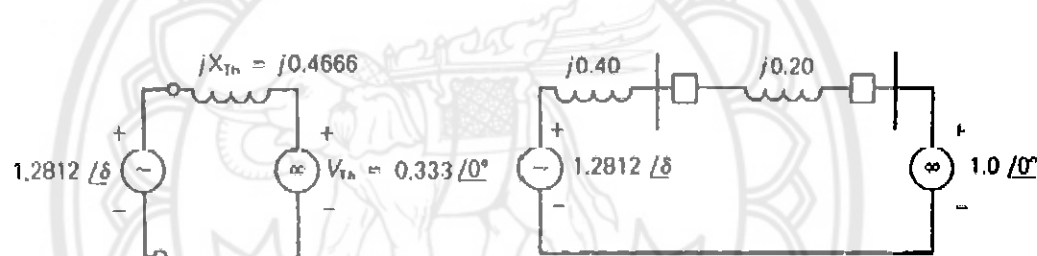
ในสภาวะขณะเกิดการลัดวงจรที่สายส่งระหว่างบัส 1- บัส 3 ทำการแยกฟอลต์ โดยการเปิดหม้อแปลงไฟฟ้าที่สายส่งระหว่างบัส 1 - บัส 3 และสายส่งระหว่างบัส 1 - บัส 3 โดยทำการลัดวงจรโดยใช้ทุนถ่วงเทวนิจจะได้

$$\begin{aligned} X_{Th} &= 0.40 + 0.20 \parallel 0.10 \\ &= 0.46666 \quad \text{per unit} \end{aligned}$$

$$\begin{aligned}
 V_{Th} &= 1.0 \angle 0^\circ \left[ \frac{X_{13}}{X_{13} + X_{12}} \right] \\
 &= 1.0 \angle 0^\circ \frac{0.10}{0.30} \\
 &= 0.33333 \angle 0^\circ \quad \text{per unit}
 \end{aligned}$$

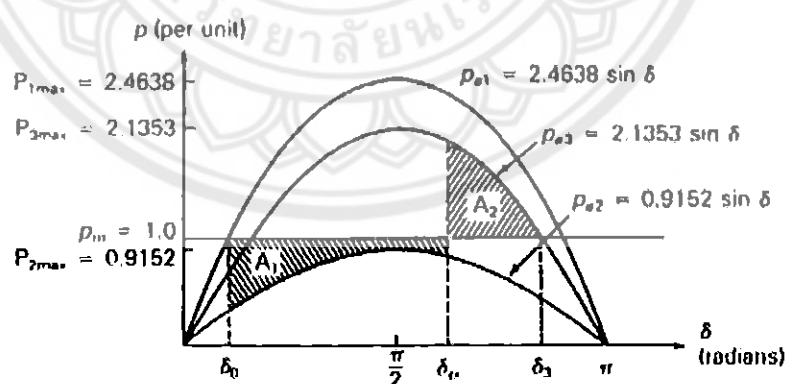


(n) Flaulted Network



(o) Thevenin Equivalent Of The Faulted Network

(p) Postfault Conditions



(q) P - δ

รูปที่ 3.3 วงจรขณะเกิดการลัดวงจรและกราฟแสดงพื้นที่ที่ทำกันของ A1 และ A2

จากรูปที่ 3.3 (x) สมการกำลังไฟฟ้าที่ส่งโดยเครื่องกำเนิดไฟฟ้าไปยังบัสสวิงระหว่างที่เกิดการลัดวงจร เขียนแทนด้วย  $P_{e2}$  จากสมการที่ (2.39) โดยใช้ค่าขณะเกิดการลัดวงจรจะได้

$$\begin{aligned}
 P_{e2} &= \frac{EV_{Th}}{X_{Th}} \sin\delta \\
 &= \frac{(1.2812)(0.3333)}{0.46666} \sin\delta \\
 &= 0.9152 \sin\delta \quad \text{per unit}
 \end{aligned}$$

หลังเกิดการลัดวงจรแสดงในรูปที่ 3.3 (ค) หม้อแปลงไฟฟ้าเบิกและต่อวงจรใหม่ที่สายส่งระหว่างบัส 1 - บัส 3 และสายส่งระหว่างบัส 2 - บัส 3 จากรูป หลังเกิดการลัดวงจรกำลังไฟฟ้าเขียนแทนด้วย  $P_{e3}$  จากสมการที่ (2.40) จะได้

$$\begin{aligned}
 P_{e3} &= \frac{(1.2812)(1.0)}{0.60} \sin\delta \\
 &= 2.1353 \sin\delta \quad \text{per unit}
 \end{aligned}$$

กราฟ  $P - \delta$  พื้นที่  $A_1$  เป็นพื้นที่เร่งเครื่องกำเนิดไฟฟ้าและพื้นที่  $A_2$  เป็นพื้นที่จะลดตัวลง สอดคล้องกับความสำคัญในระบบ แสดงในรูปที่ 3.3 (ง) จากสมการที่ (2.41) และสมการที่ (2.42) จะได้

$$\begin{aligned}
 A_1 &= \int_{\delta_0}^{\delta_{cr}} (p_m - p_{2max} \sin\delta) d\delta \\
 A_2 &= \int_{\delta_{cr}}^{\delta_3} (p_{3max} \sin\delta - p_m) d\delta
 \end{aligned}$$

โดยพื้นที่  $A_1$  เท่ากับพื้นที่  $A_2$  จะได้

$$\int_{\delta_0}^{\delta_{cr}} (P_m - P_{2max} \sin\delta) d\delta = \int_{\delta_{cr}}^{\delta_3} (P_{3max} \sin\delta - P_m) d\delta$$

หลังจากแทนค่าในสมการจะได้

$$\begin{aligned}
 \int_{0.4179}^{\delta_{cr}} (1.0 - 0.9152 \sin\delta) d\delta &= \int_{\delta_{cr}}^{2.6542} (2.1353 \sin\delta - 1.0) d\delta \\
 (\delta_{cr} - 0.4179) + 0.9152(\cos\delta_{cr} - \cos 0.4179) &= 2.1353(\cos\delta_{cr} - \cos 2.6542) - (2.6542 - \delta_{cr}) \\
 \cos\delta_{cr} &= -\frac{0.4868}{1.2201} \\
 \delta_{cr} &= 1.9812 \text{ radians} = 113.5^\circ
 \end{aligned}$$

ถ้าเกลียร์ฟอลต์ก่อน  $\delta = \delta_{cr} = 113.5^\circ$  ขั้นคงเสถียรภาพ ถ้าเกลียร์ฟอลต์หลัง  $113.5^\circ$  จะสูญเสียเสถียรภาพ

เมื่อได้  $\delta_{cr}$  จะสามารถคำนวณหาค่า  $t_{cr}$  จากสมการที่ (2.38) จะได้

$$t_{cr} = \sqrt{\frac{4H(\delta_{cr}-\delta_0)}{\omega_s P_m}}$$

โดยแทนค่า  $H=5$  จะได้

$$t_{cr} = \sqrt{\frac{4(5)(1.9812-0.4179)}{(2\pi 60)(1.0)}} \\ t_{cr} = 0.2880 \text{ s}$$

เมื่อเกิดลักษณะที่ต้องแยกฟอลต์ออกก่อนที่จะมีบุนเดินค่าเคลียร์ริงวิกฤตและเวลาเคลียร์ริงวิกฤตจากการคำนวณค่าตัวแปรของระบบ 4 บัส ใช้เครื่องคิดเลขเบรย์บันเทียบกับโปรแกรมเพื่อทดสอบความถูกต้องของโปรแกรม ค่าที่ได้จากการคำนวณเท่ากับค่าที่ได้จากโปรแกรม จึงสามารถเชื่อถือได้ว่าค่าที่ได้จากโปรแกรมมีความถูกต้องและนำโปรแกรม PowerWorld ไปใช้ในการออกแบบและคำนวณระบบที่ใหญ่ขึ้นได้

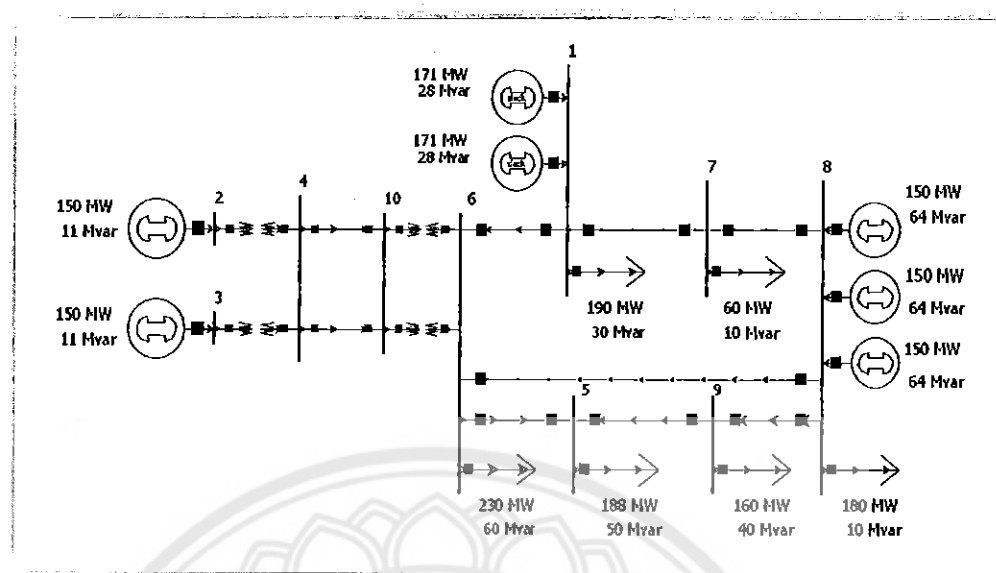
บุนเดินค่าเคลียร์ริงวิกฤตและเวลาเคลียร์ริงวิกฤตจะมีค่าน้อย เมื่อขณะเกิดการลักษณะการหลุดหรือส่งไฟฟ้ามีค่าลดลงมากอย่างทันทีทันใด จึงจำเป็นต้องเคลียร์ฟอลต์ยังรวดเร็ว

บุนเดินค่าเคลียร์ริงวิกฤตและเวลาเคลียร์ริงวิกฤตจะมีค่านาน เมื่อขณะเกิดการลักษณะการหลุดหรือส่งไฟฟ้ามีค่าลดลงน้อย จึงยังมีเวลาในการเคลียร์ฟอลต์ ส่งผลให้บุนเดินค่าเคลียร์ริงวิกฤตและเวลาเคลียร์ริงวิกฤตจะมีค่านาน [1, 3, 4]

### 3.2 ระบบศึกษา 10 บัส

ระบบไฟฟ้า 10 บัสดังรูปที่ 3.4 ระบบ Single Line 3 Phase มีเครื่องกำเนิดไฟฟ้าห้องหมุด 7 เครื่องซึ่งต่ออยู่กับ母線 A ไฟฟ้า 4 ตัวและสายส่งไฟฟ้า 9 เส้นผ่านไปยังโหลด 6 จุด โดยมีค่ารีแอคเคนซ์ของแต่ละตัวอยู่ในรูปของ per unit และบัสสวิงคือบัสที่ 1 มีค่าเป็น 1.0 per unit

ระบบไฟฟ้า 10 บัสเป็นระบบที่ใหญ่ไม่สามารถใช้เครื่องคิดเลขคำนวณได้ จึงต้องคำนุมเคลียร์ริงวิกฤต เวลาเคลียร์ริงวิกฤตและวิเคราะห์เสถียรภาพของระบบ จากการวิเคราะห์กราฟในโปรแกรม PowerWorld ซึ่งจะแสดงผลการวิเคราะห์เสถียรภาพในบทที่ 4



รูปที่ 3.4 ระบบศึกษา 10 บัส

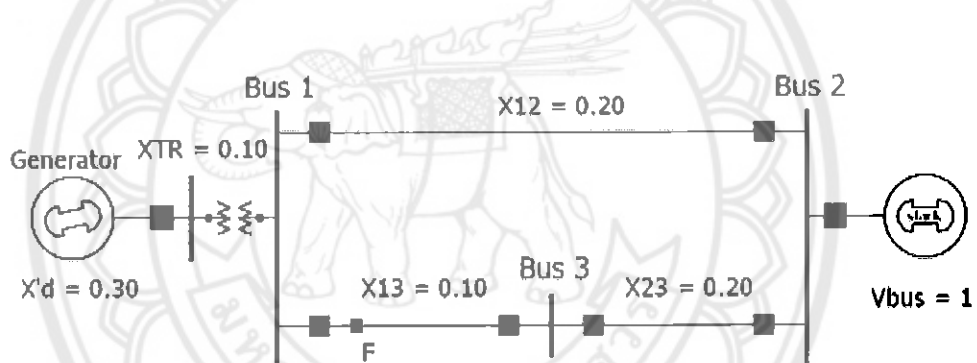
## บทที่ 4

### ผลการวิเคราะห์เสถียรภาพระบบไฟฟ้าโดยโปรแกรม PowerWorld

ผลการวิเคราะห์เสถียรภาพระบบ 4 และ 10 บัส ซึ่งเกิดการลัดวงจรแบบ Single Line to Ground ที่สายส่งและบัส โดยปรับค่าสัมประสิทธิ์การหน่วง (D) ค่าความเรื้อย (H) และค่ากำลังไฟฟ้า เพื่อศึกษามุมเคลื่บเบรกิจกุตและเวลาเคลื่บเบรกิจกุตของระบบไฟฟ้า

#### 4.1 ระบบไฟฟ้า 4 บัส

ระบบ Single Line 3 Phase มีเครื่องกำเนิดไฟฟ้า 2 เครื่องเชื่อมต่อ กับหม้อแปลง 1 ตัวและสายส่งไฟฟ้า 4 เส้นผ่านไปยังบัสสวิง โดยมีค่าทริกซ์แอกมิตตันซ์ของแต่ละตัวอยู่ในรูปของ per unit และบัสสวิง มีค่าเป็น 1.0 per unit

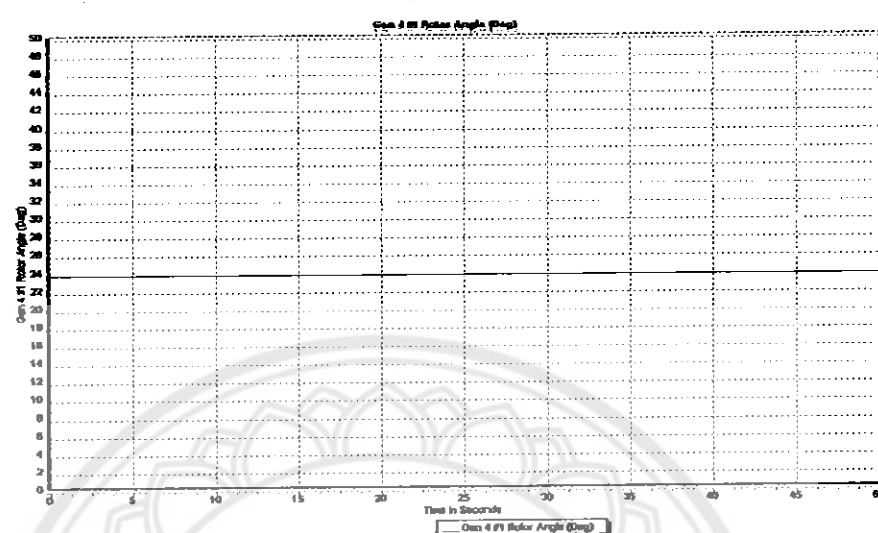


รูปที่ 4.1 ระบบศึกษา 4 บัส

จากรูปที่ 4.1 การลัดวงจรเกิดขึ้นระหว่างบัส 1 และบัส 3 เป็นแบบ Single Line to Ground สำหรับระบบไฟฟ้า 4 บัส ค่าเมทริกซ์แอกมิตตันซ์ แรงดันนูมไฟฟ้าและกำลังไฟฟ้าจะถูกคำนวณ ด้วยเครื่องคำนวณและเปรียบเทียบกับผลที่ได้จากโปรแกรม เสถียรภาพของระบบถูกวิเคราะห์โดยใช้หลักเกณฑ์พื้นที่เท่ากันเพื่อหาค่ามุมเคลื่บเบรกิจกุตและเวลาเคลื่บเบรกิจกุต นอกจากนี้ผลการเปลี่ยนแปลงค่าสัมประสิทธิ์การหน่วงและค่าความเรื้อยได้ถูกวิเคราะห์ด้วย

#### 4.1.1 กราฟกระแสสภาวะต่างๆในวงจรศึกษา โดยมีค่า $H=5$ , $D=5$

##### 1) สภาวะปกติ



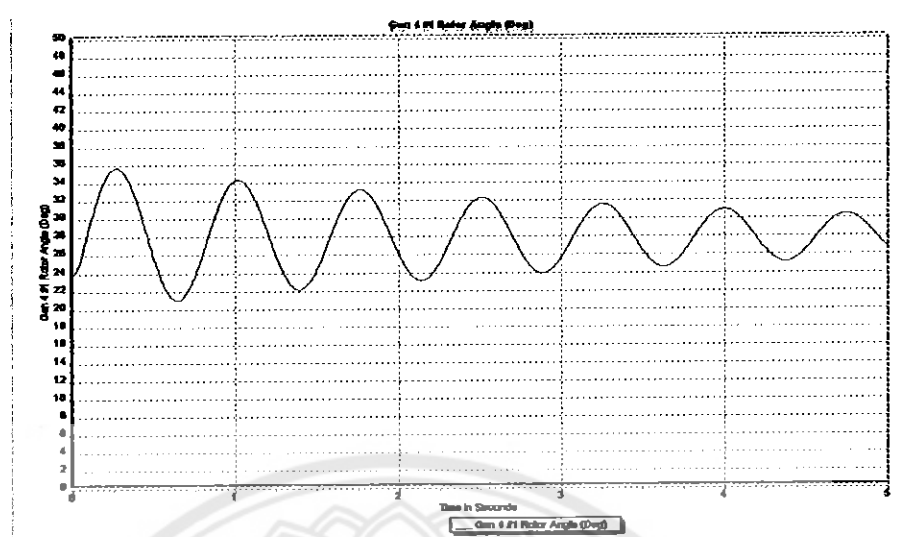
รูปที่ 4.2 นุ่มเฟสของเครื่องกำเนิดไฟฟ้าในสภาวะปกติ

ในสภาวะปกติมุมเฟสของเครื่องกำเนิดไฟฟ้าจะเป็นเส้นตรงที่คงที่ ดังรูปที่ 4.2

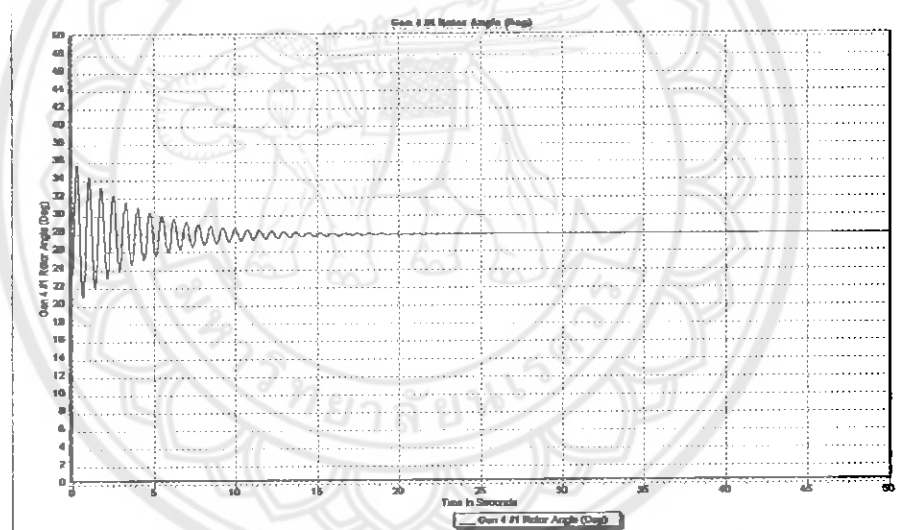
##### 2) สภาวะเกิดการลัดวงจรและเคลียร์ฟอลต์ภายในเวลาเคลียร์ริงวิกฤตโดยที่เวลาเคลียร์ริงวิกฤตน้อยกว่า $0.2880$ วินาที

ก่อนเกิดการลัดวงจรมุมของเครื่องกำเนิดไฟฟ้าเครื่องที่ 4 มีค่าเท่ากับ  $27.95^\circ$  เมื่อเกิดสภาวะลัดวงจรมุมเคลียร์ริงวิกฤตจะเพิ่มน้ำหนักคำแนะนำไปสู่ค่าสูงสุดดังรูปที่ 4.3 (ก) ทั้งนี้เนื่องจากเมื่อเกิดการลัดวงจรเครื่องกำเนิดไฟฟ้าจำเป็นต้องสร้างกำลังไฟฟ้าเพิ่มน้ำหนักเพื่อจ่ายเข้าสู่ระบบ ดังนั้น จึงต้องเร่งมุมของเครื่องกำเนิดไฟฟ้าให้เพิ่มน้ำหนักอีก

การเคลียร์ฟอลต์เพื่อให้ระบบยังรักษาเสถียรภาพไว้ได้จะต้องทำการเคลียร์ภายในเวลาเคลียร์ริงวิกฤตและมุมเคลียร์ริงวิกฤต ซึ่งจะทำให้มุมเฟสของเครื่องกำเนิดไฟฟ้ามีการแปรผัน เช่นเดียวกับที่แสดงในรูปที่ 4.3 (ข) ซึ่งเป็นมุมเดียวกันขณะเกิดการลัดวงจร



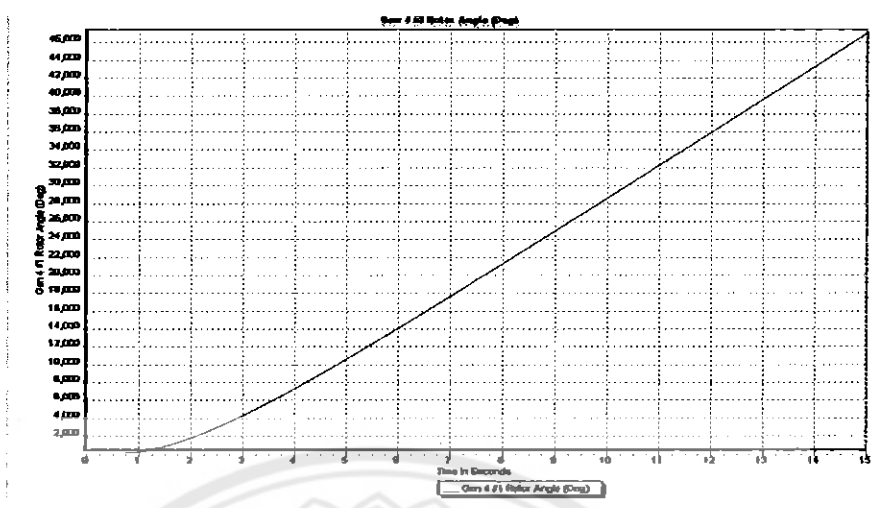
(ก)



(ห)

รูปที่ 4.3 (ก) เมื่อเกิดการลัดวงจรนมไฟฟ้าของเครื่องกำเนิดไฟฟ้าเพิ่มขึ้น (ห) หลังเกิดการลัดวงจรนมไฟฟ้าของเครื่องกำเนิดไฟฟ้าสวิงเท้าสูง 27.95°

- 3) สภาวะเกิดการลัดวงจรและเกลียบ์ฟอลต์หลังเวลาแคลิบร์ริงวิกฤตโดยที่เวลาเกลียบ์ริงวิกฤตมากกว่า 0.2880 วินาที

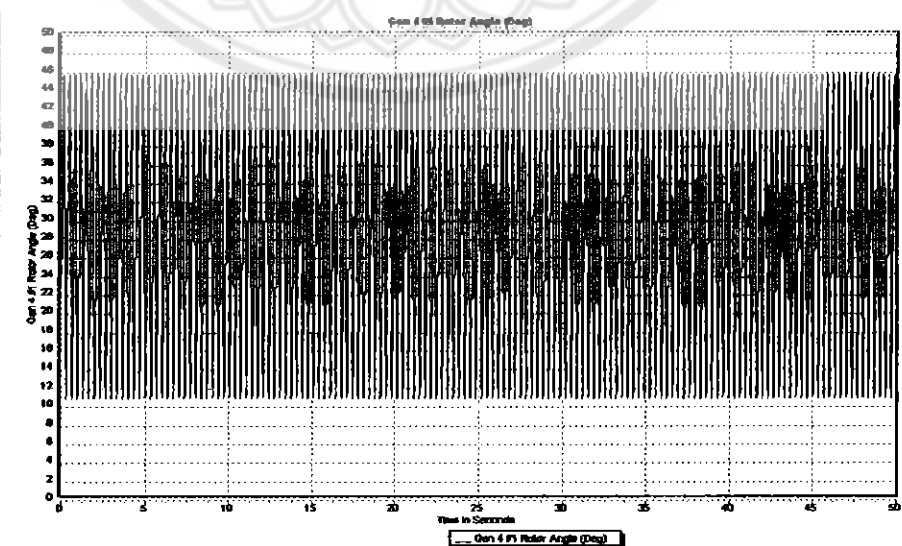


รูปที่ 4.4 นุ่นเฟสของเครื่องกำเนิดไฟฟ้าในสภาวะเกิดการลัดวงจร  
ที่เกลียร์ฟอลต์หลังเวลาเคลียร์ริงวิกฤต

ในสภาวะเกิดการลัดวงจรและเกลียร์ฟอลต์หลังเวลาเคลียร์ริงวิกฤต กราฟจะถูกออกโดยจะ  
ไม่มีมุนที่คงที่ดังรูปที่ 4.4

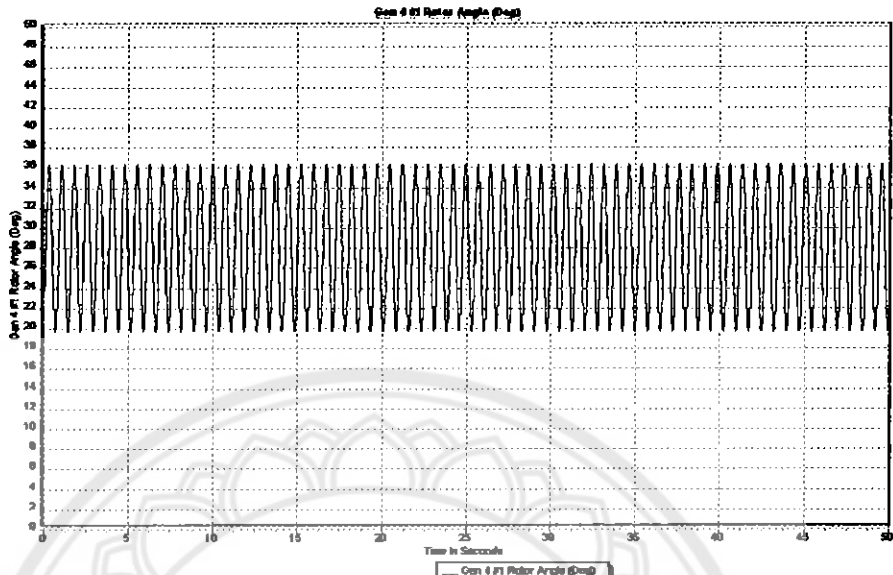
#### 4.1.2 กราฟแสดงการลัดวงจรระหว่างบัส 1 – บัส 3 โดยปรับค่า D และ H แบ่งออกเป็น 4 กรณีดังนี้

- 1) กรณีที่ 1 กำหนดให้ค่า  $D=0$  โดยปรับค่า  $H=1, H=5$  และ  $H=10$   
เมื่อทำการปรับค่า  $H=1$



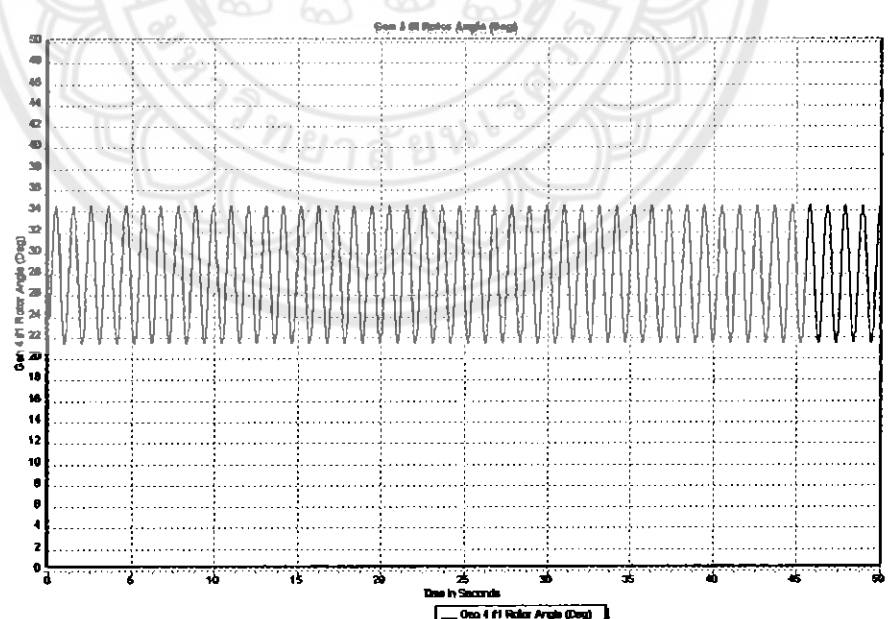
รูปที่ 4.5 นุ่นเฟสของเครื่องกำเนิดไฟฟ้าโดยค่า  $D=0$  และ  $H=1$

เมื่อทำการปรับค่า  $H=5$



รูปที่ 4.6 บุมเฟสของเครื่องกำเนิดไฟฟ้าโดยค่า  $D=0$  และ  $H=5$

เมื่อทำการปรับค่า  $H=10$



รูปที่ 4.7 บุมเฟสของเครื่องกำเนิดไฟฟ้าโดยค่า  $D=0$  และ  $H=10$

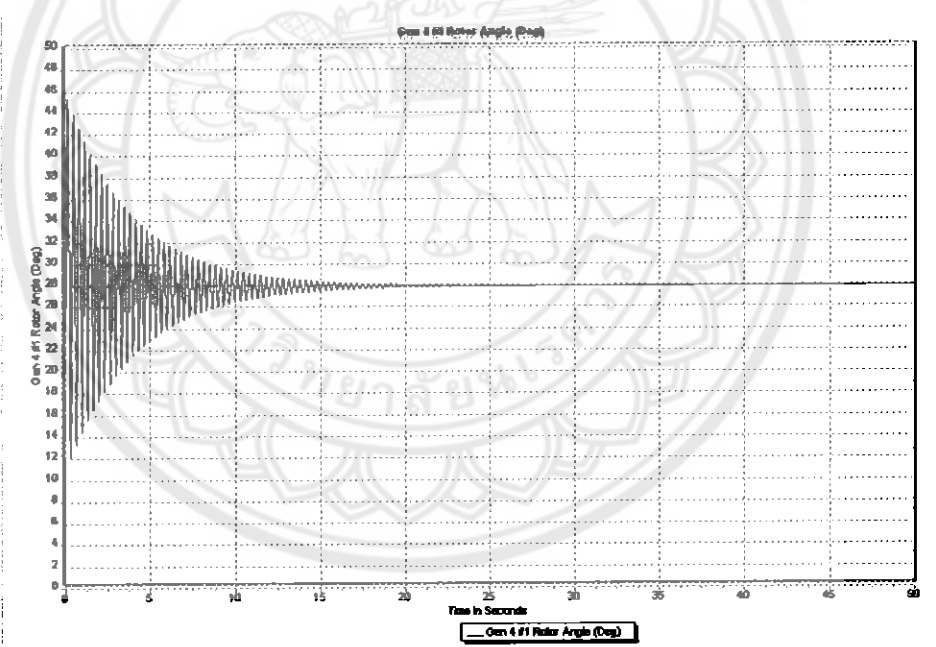
ตารางที่ 4.1 ค่าเวลาแคดิร์ฟอลต์ที่  $D=0$

ค่า H	$\delta_{cr}$ (เรเดียน)	$t_{cr}$ (วินาที)
1	1.9812	0.1288
5	1.9812	0.2880
10	1.9812	0.4073

เมื่อค่า D เป็น 0 จะไม่เกิดเสถียรภาพ เนื่องจากมุมไฟส์ไม่คงที่โดยมีการแกว่งไปเรื่อยๆ ไม่เข้าสู่มุมหนึ่ง เมื่อปรับค่า H จะสังเกตได้ว่าค่า H ยิ่งสูงความถี่ของแกว่งจะมาก ทำให้กราฟมีมุมไฟส์ในการแกว่งลดลงแต่ใช้เวลามากในแต่ละรุปคลื่น

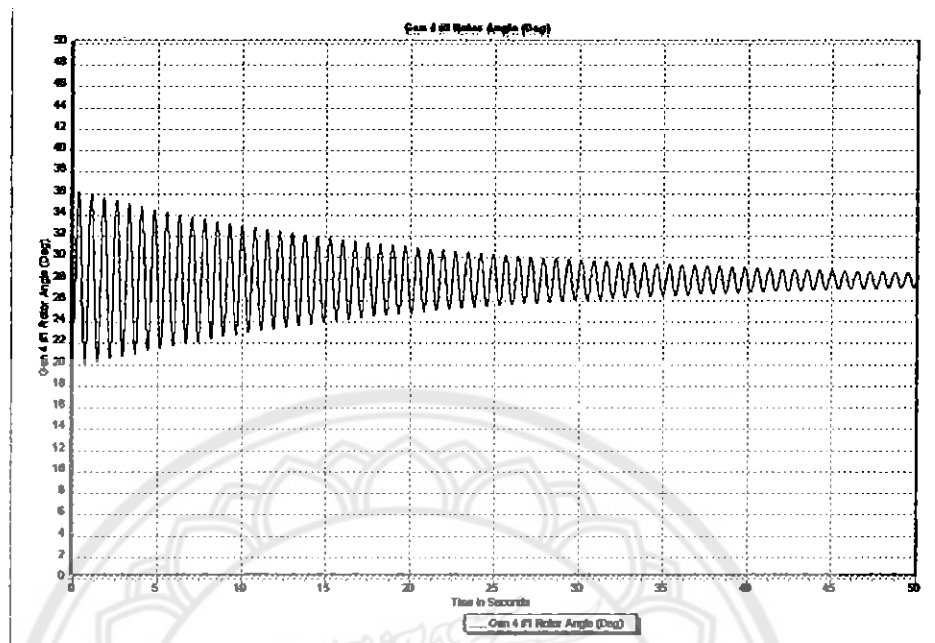
2) กราฟที่ 2 กำหนดให้ค่า  $D=1$  โดยปรับค่า  $H=1, H=5$  และ  $H=10$

เมื่อทำการปรับค่า  $H=1$



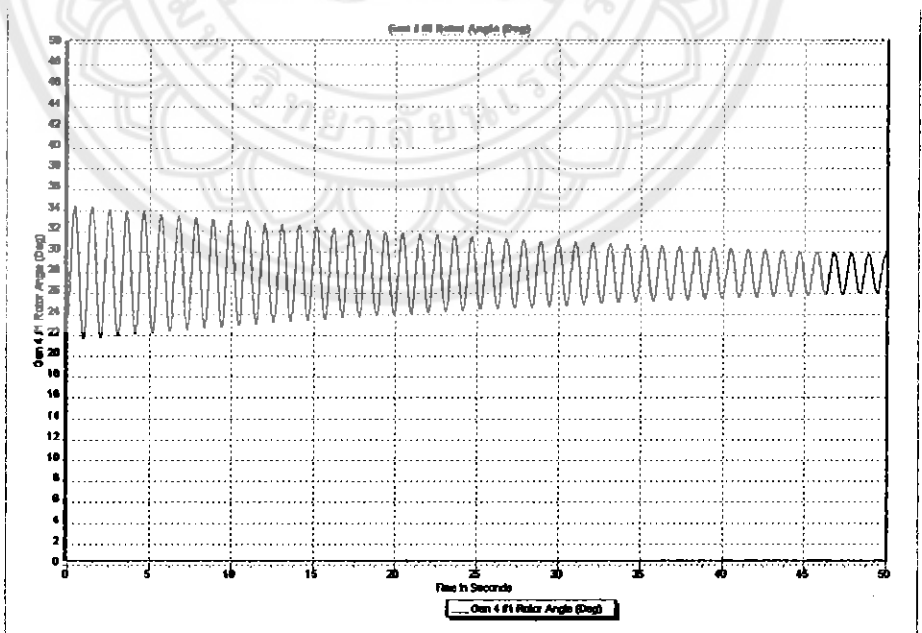
รูปที่ 4.8 มุมไฟส์ของเครื่องกำเนิดไฟฟ้าโดยค่า  $D=1$  และ  $H=1$

เมื่อทำการปรับค่า  $H=1$



รูปที่ 4.9 นุ่มเฟสของเครื่องกำเนิดไฟฟ้าโดยค่า  $D=1$  และ  $H=5$

เมื่อทำการปรับค่า  $H=10$



รูปที่ 4.10 นุ่มเฟสของเครื่องกำเนิดไฟฟ้าโดยค่า  $D=1$  และ  $H=10$

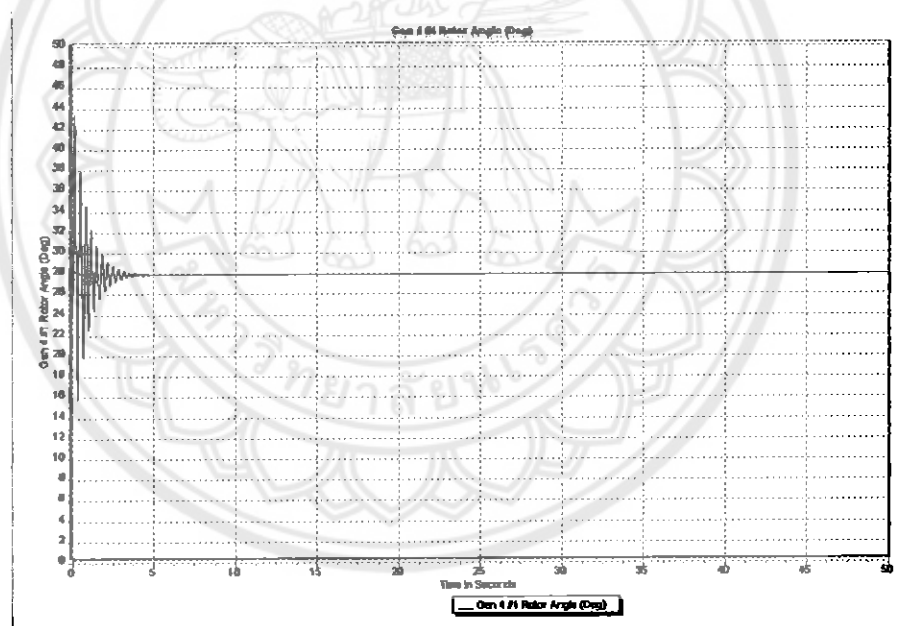
ตารางที่ 4.2 ค่าเวลาเคลื่อนฟอลต์ที่  $D=1$

ค่า H	$\delta_{cr}$ (เรเดียน)	$t_{cr}$ (วินาที)
1	1.9812	0.1288
5	1.9812	0.2880
10	1.9812	0.4073

เมื่อมีค่า D มาเก็บว่าองทำให้ระบบสามารถเกิดเสถียรภาพ เนื่องจากกราฟมีการแกว่งเข้าสู่ มุนความหนึ่ง และเมื่อปรับค่า H จะสังเกตได้ว่าค่า H ยิ่งมากความดีอย่างสูงมุนในการแกว่งจะลด น้อยลง แต่กราฟจะมีการแกว่งเข้าสู่มุนความหนึ่งได้ช้าลง เนื่องจากใช้เวลามากกว่า

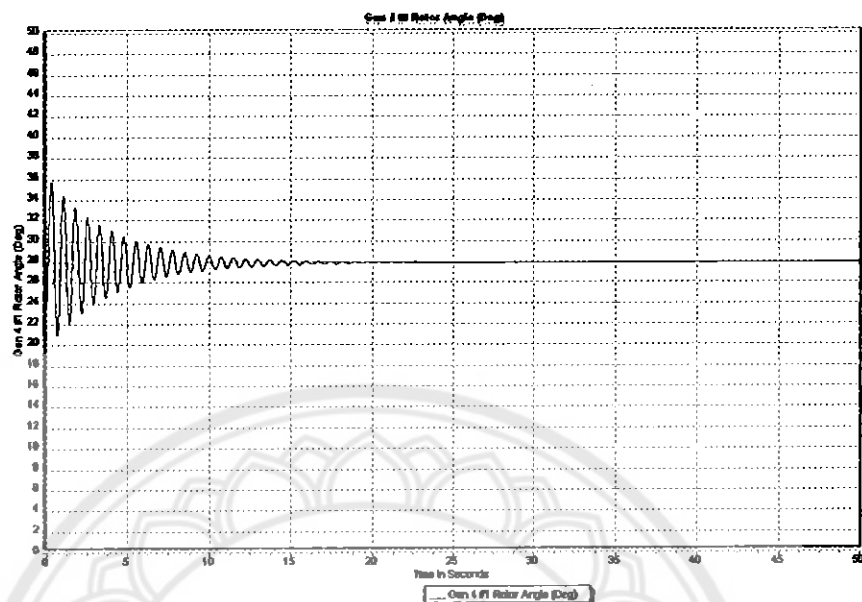
3) กราฟที่ 3 กำหนดให้ค่า  $D=5$  โดยปรับค่า  $H=1$ ,  $H=5$  และ  $H=10$

เมื่อทำการปรับค่า  $H=1$



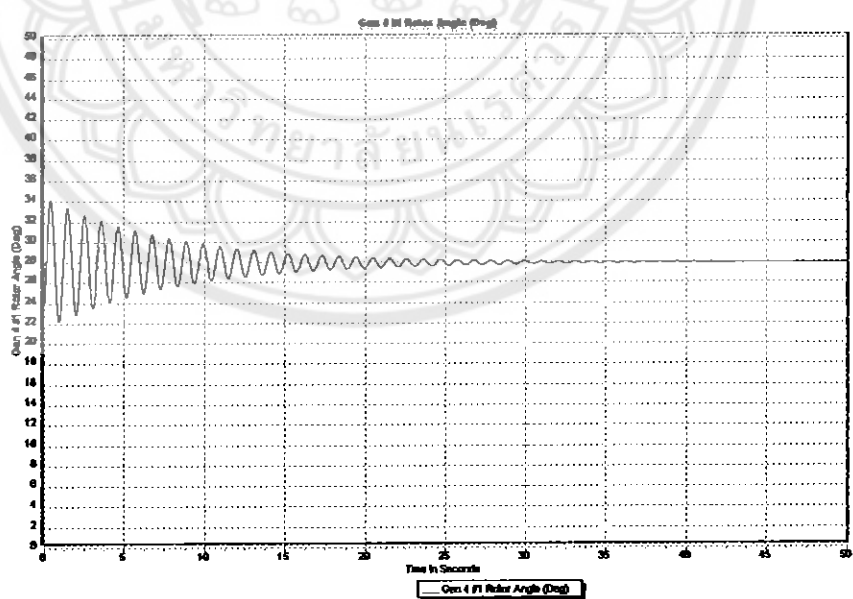
รูปที่ 4.11 นุนไฟล์ของเครื่องกำเนิดไฟฟ้าโดยค่า  $D=5$  และ  $H=1$

เมื่อทำการปรับค่า  $H=5$



รูปที่ 4.12 นุ่มเฟสของเครื่องกำเนิดไฟฟ้าโดยค่า  $D=5$  และ  $H=5$

เมื่อทำการปรับค่า  $H=10$



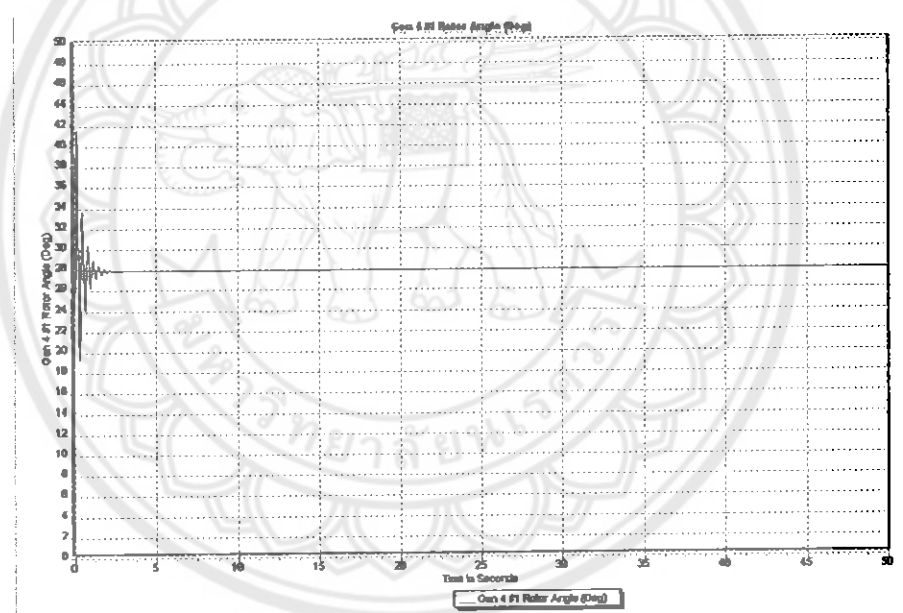
รูปที่ 4.13 นุ่มเฟสของเครื่องกำเนิดไฟฟ้าโดยค่า  $D=5$  และ  $H=10$

ตารางที่ 4.3 ค่าเวลาเคลื่อนฟอลต์ที่  $D=5$

ค่า H	$\delta_{cr}$ (เรเดียน)	$t_{cr}$ (วินาที)
1	1.9812	0.1288
5	1.9812	0.2880
10	1.9812	0.4073

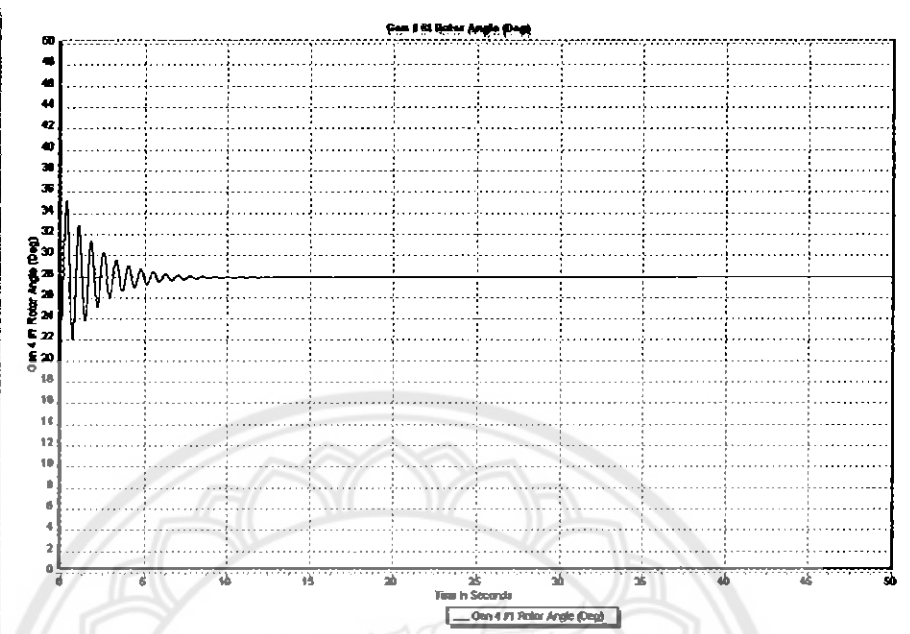
ในการมีน์กราฟจะคล้ายกับกรณีที่ 2 แต่กรณีที่ 3 จะเข้าสู่มนุนหนึ่งได้เร็วกว่า ทำให้เกิดเสถียรภาพได้เร็วกว่ากรณีที่ 2

- 4) กรณีที่ 4 กำหนดให้ค่า  $D=10$  โดยปรับค่า  $H=1$ ,  $H=5$  และ  $H=10$   
เมื่อทำการปรับค่า  $H=1$



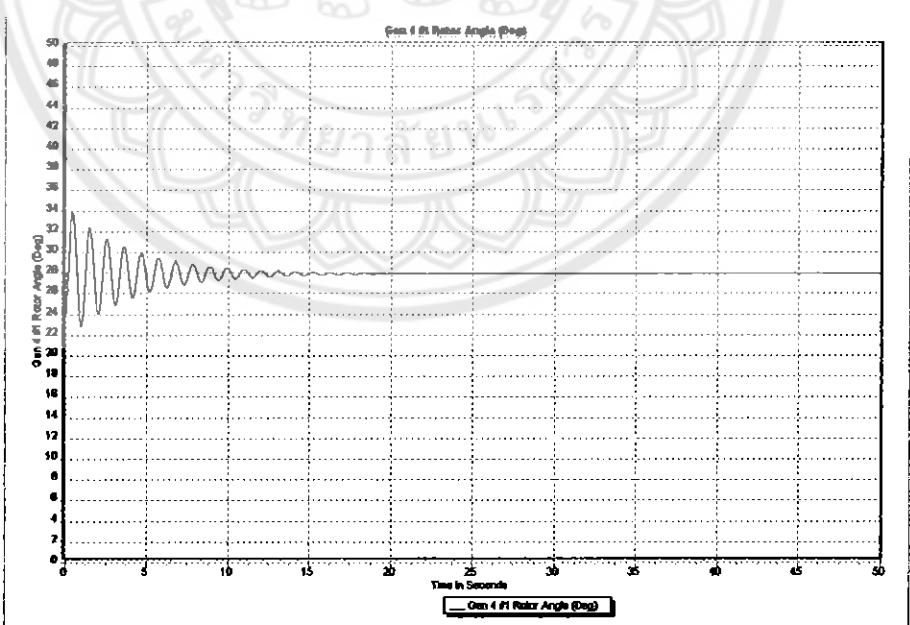
รูปที่ 4.14 มนุนเพลิงของเครื่องกำเนิดไฟฟ้าโดยค่า  $D=10$  และ  $H=1$

เมื่อทำการปรับค่า  $H=5$



รูปที่ 4.15 นุ่มเฟสของเครื่องกำเนิดไฟฟ้าโดยค่า  $D=10$  และ  $H=5$

เมื่อทำการปรับค่า  $H=10$



รูปที่ 4.16 นุ่มเฟสของเครื่องกำเนิดไฟฟ้าโดยค่า  $D=10$  และ  $H=10$

ตารางที่ 4.4 ค่าเวลาเคลื่อนฟอลต์ที่  $D=10$ 

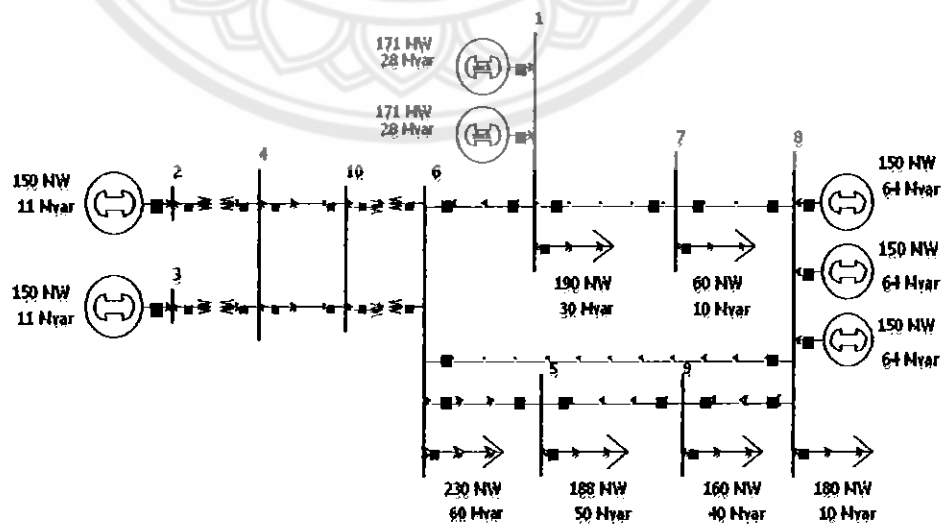
ค่า H	$\delta_{cr}$ (เรเดียน)	$t_{cr}$ (วินาที)
1	1.9812	0.1288
5	1.9812	0.2880
10	1.9812	0.4073

ในการพิ�ีกราฟจะคล้ายกับกรณีที่ 2 และกรณีที่ 3 แต่กรณีที่ 4 นั้นจะเข้าสู่มุนความหนึ่งได้เร็วกว่า ทำให้เกิดเสถียรภาพได้เร็วกว่ากรณีที่ 2 และกรณีที่ 3

เมื่อกีดคุวงจรต้องแยกฟอลต์ออกก่อนที่ระบบจะมีมุนเกินค่าเคลื่อนไหวตุต  $\delta_{cr}$  และเวลาเคลื่อนไหวตุตสำหรับแยกฟอลต์ออกจากระบบต้องมากกว่าเวลาเคลื่อนไหวตุต  $t_{cr}$  เมื่อทำการปรับค่าสมัปดาห์การหน่วงเพิ่มมากขึ้นจะทำให้เข้าสู่มุนความหนึ่งได้เร็วขึ้น ซึ่งหมายถึงเข้าสู่เสถียรภาพได้เร็วขึ้น เมื่อทำการปรับค่าคงที่ความเรื้อยเพิ่มมากขึ้นจะส่งผลให้เข้าสู่เสถียรภาพได้ช้าลงเนื่องจากจะใช้เวลานานกว่าในแต่ละรูปคดีน

## 4.2 ระบบไฟฟ้า 10 บัส

ระบบไฟฟ้า 10 บัสดังรูปที่ 4.17 ระบบ Single Line 3 Phase มีเครื่องกำเนิดไฟฟ้าห้องหมุด 7 เครื่องเชื่อมต่อกันหม้อแปลงไฟฟ้า 4 ตัวและสายส่งไฟฟ้า 9 เส้นผ่านไปปั้งโอลด์ 6 จุด โดยมีค่ารีแอกแคนซ์ของแต่ละตัวอยู่ในรูปเบื้อง per unit และบัสสวิงคือบัสที่ 1 มีค่าเป็น 1.0 per unit



รูปที่ 4.17 ระบบศึกษา 10 บัส

จากรูปที่ 4.17 สำหรับระบบไฟฟ้า 10 บัส เสตียรภาพของระบบถูกวิเคราะห์โดยใช้โปรแกรม PowerWorld ค่ามุนเคลิบริงวิกฤตและเวลาเคลิบริงวิกฤต ได้ถูกวิเคราะห์จากภาพความสัมพันธ์ระหว่างเวลาและมุนเฟสของเครื่องกำเนิดไฟฟ้า การเปลี่ยนแปลงของมุนเฟสของเครื่องกำเนิดไฟฟ้าแต่ละบัสถูกพิจารณา เพื่อหาความสำคัญของค่าสัมประสิทธิ์การหน่วง ค่าคงที่ความเรื้องและการเปลี่ยนแปลงของกำลังไฟฟ้า

การจำลองการเกิดการลัดวงจร Single Line to Ground แบ่งเป็น 3 ชุด คือ

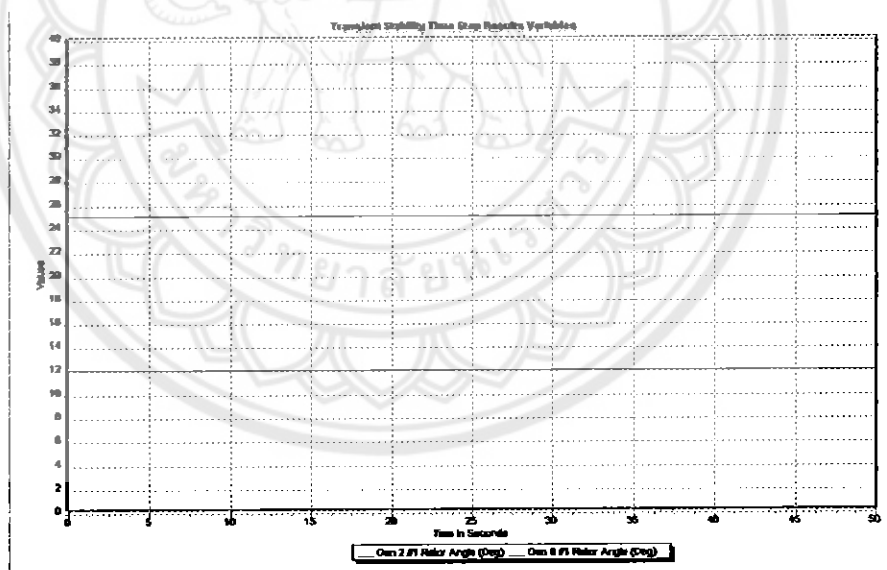
1. เกิดการลัดวงจรระหว่างบัส 6 และบัส 8
2. เกิดการลัดวงจรที่บัส 4
3. เกิดการลัดวงจรที่บัส 8

#### 4.2.1 กราฟแสดงการลัดวงจรที่เกิดขึ้นในวงจรโดยปรับกำลังไฟฟ้าในเครื่องกำเนิดไฟฟ้า

โดยจำลองการลัดวงจรที่เกิดขึ้นเป็น 4 กรณี ดังนี้

##### 4.2.1.1 กรณีที่ 1 สภาวะปกติ

1) กำลังไฟฟ้าของเครื่องกำเนิดไฟฟ้าทั้งหมดมีค่าเท่ากับ 150 MW

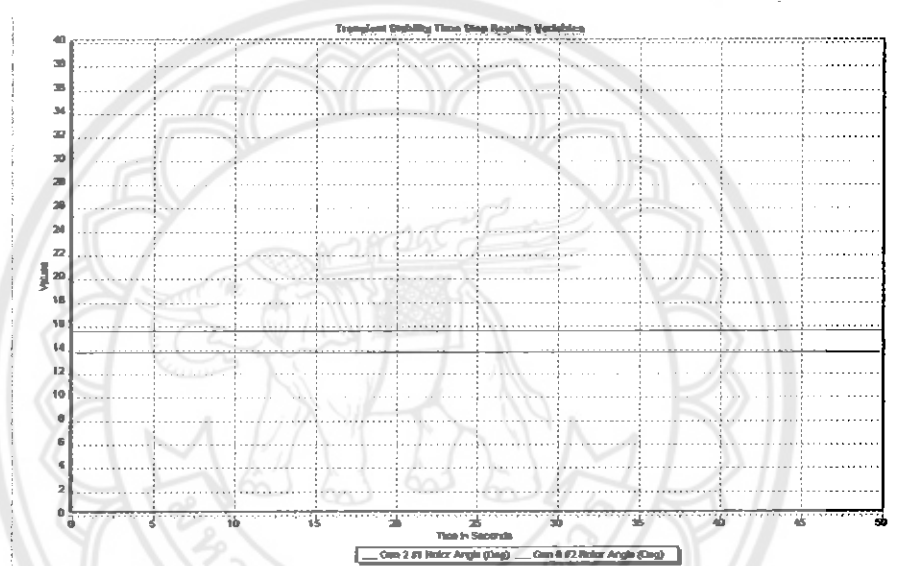


รูปที่ 4.18 มุนเฟสในสภาวะปกติโดยกำลังไฟฟ้าของเครื่องกำเนิดไฟฟ้าทั้งหมดเท่ากับ 150 MW

ในสภาวะปกติมุนเฟสของเครื่องกำเนิดไฟฟ้าจะเป็นเส้นตรงและคงที่ โดยกราฟเส้นบนคือมุนเฟสของเครื่องกำเนิดไฟฟ้าที่บัส 2 และบัส 3 และกราฟเส้นล่างคือเครื่องกำเนิดไฟฟ้าที่บัส 8 ตัวที่ 1, 2 และ 3 ดังรูปที่ 4.18

เครื่องกำเนิดไฟฟ้าที่มีกำลังการผลิตเท่ากัน เช่น เครื่องกำเนิดไฟฟ้าที่บัส 2 และบัส 3 มี กำลังการผลิตเท่ากับ 150 MW จะส่งผลให้มุมเฟสของแรงดันของเครื่องกำเนิดไฟฟ้าเท่ากัน ศัษย์ โดยสังเกตได้จากรูปที่ 4.18 นั้นคือเส้นกราฟเส้นบนเป็นมุมเฟสของเครื่องกำเนิดไฟฟ้าที่ บัส 2 และบัส 3 และกราฟเส้นล่างเป็นมุมเฟสของเครื่องกำเนิดไฟฟ้าที่บัส 8 ตัวที่ 1, 2, 3 ซึ่ง เส้นกราฟจะทับกัน

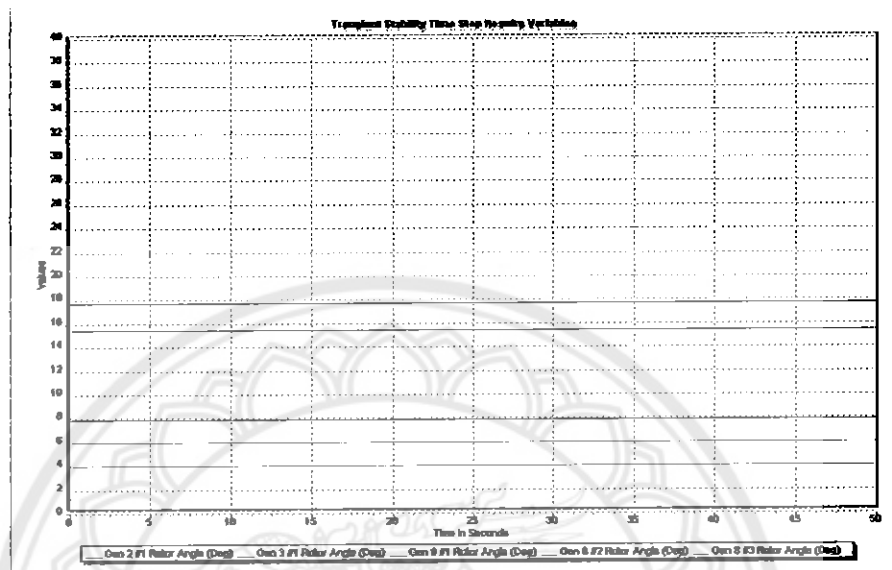
2) กำลังไฟฟ้าของเครื่องกำเนิดไฟฟ้าที่บัส 2 และบัส 3 มีค่าเท่ากับ 120 MW และ กำลังไฟฟ้าของเครื่องกำเนิดไฟฟ้าที่บัส 8 ตัวที่ 1, 2 และ 3 มีค่าเท่ากับ 160 MW



รูปที่ 4.19 มุมเฟสในสภาวะปกติโดยกำลังไฟฟ้าของเครื่องกำเนิดไฟฟ้าที่บัส 2, 3 เท่ากับ 120 MW และกำลังไฟฟ้าของเครื่องกำเนิดไฟฟ้าที่บัส 8 ตัวที่ 1, 2, 3 เท่ากับ 160 MW

ในสภาวะปกติมุมเฟสของเครื่องกำเนิดไฟฟ้าจะเป็นเส้นตรงและคงที่ โดยกราฟเส้นบน คือ มุมเฟสของเครื่องกำเนิดไฟฟ้าที่บัส 2 และบัส 3 และกราฟเส้นล่างคือเครื่องกำเนิดไฟฟ้าที่ บัส 8 ตัวที่ 1, 2 และ 3 ดังรูปที่ 4.19

3) กำลังไฟฟ้าของเครื่องกำเนิดไฟฟ้าที่บัส 2 มีค่าเท่ากับ 140 MW และบัส 3 มีค่าเท่ากับ 120 MW กำลังไฟฟ้าของเครื่องกำเนิดไฟฟ้าที่บัส 8 ตัวที่ 1 เท่ากับ 160 MW, ตัวที่ 2 มีค่าเท่ากับ 140 MW และตัวที่ 3 มีค่าเท่ากับ 120 MW



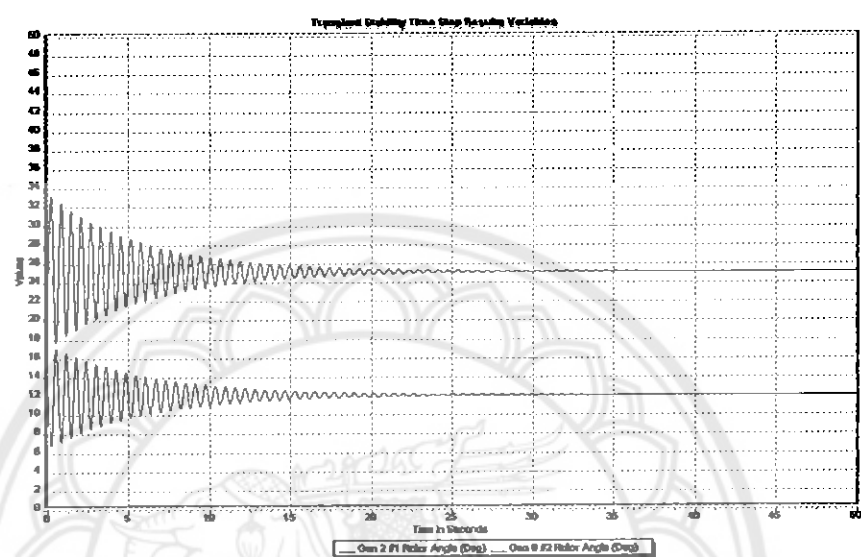
รูปที่ 4.20 นุ่มไฟส์ในสภาวะปกติ โดยกำลังไฟฟ้าของเครื่องกำเนิดไฟฟ้าที่บัส 2, 3 และบัส 8 ตัวที่ 1, 2, 3 มีค่าเท่ากับ 140, 120, 160, 140 และ 120 MW ตามลำดับ

ในสภาวะปกตินุ่มไฟส์ของเครื่องกำเนิดไฟฟ้าจะเป็นเส้นตรงและคงที่ โดยกราฟเส้นแรกคือนุ่มไฟส์ของเครื่องกำเนิดไฟฟ้าที่บัส 2 กราฟเส้นที่ 2 คือนุ่มไฟส์ของเครื่องกำเนิดไฟฟ้าที่บัส 3 กราฟเส้นที่ 3 คือนุ่มไฟส์ของเครื่องกำเนิดไฟฟ้าที่บัส 8 ตัวที่ 1 กราฟเส้นที่ 4 คือนุ่มไฟส์ของเครื่องกำเนิดไฟฟ้าที่บัส 8 ตัวที่ 2 และกราฟเส้นที่ 5 คือนุ่มไฟส์ของเครื่องกำเนิดไฟฟ้าที่บัส 8 ดังรูปที่ 4.20

เครื่องกำเนิดไฟฟ้าที่มีกำลังการผลิตไม่เท่ากันจะส่งผลให้.nu่มไฟส์ของแรงดันของเครื่องกำเนิดไฟฟ้าไม่เท่ากันด้วย สังเกตได้จากรูปที่ 4.20 นั้นคือเส้นนุ่มไฟส์แต่ละเส้นจะไม่ทับกัน

**4.2.1.2 กรณีที่ 2 การอัดวงจรที่สายส่งระหว่างบัส 6 – บัส 8 โดยเวลาเคลียร์ริงวิกฤตเท่ากับ 0.05 วินาที**

1) กำลังไฟฟ้าของเครื่องกำเนิดไฟฟ้าห้องหมุนคู่เท่ากับ 150 MW ควรเคลียร์ฟอลต์ภายในเวลา 0.2407 วินาที



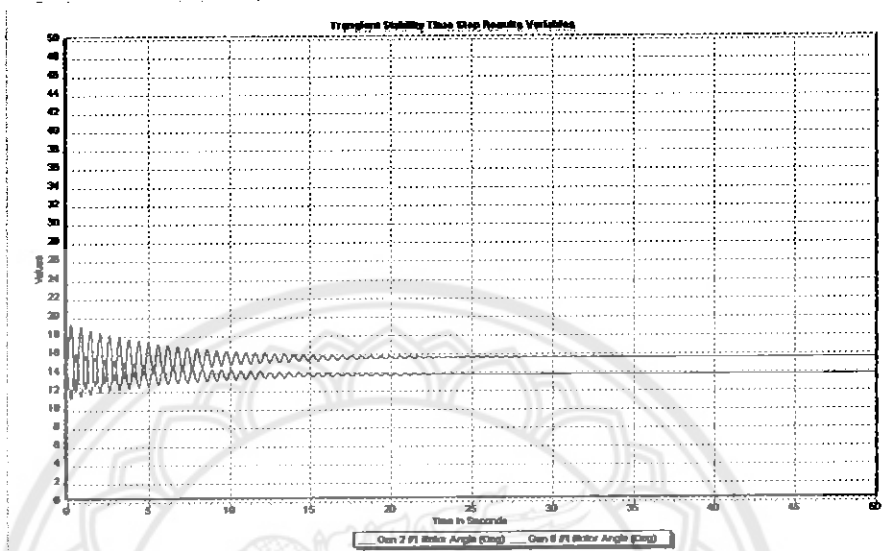
รูปที่ 4.21 นุมเพสที่เกิดการลัดวงจรที่บัส 6 – บัส 8 โดยกำลังไฟฟ้าของเครื่องกำเนิดไฟฟ้าห้องหมุนคู่เท่ากับ 150 MW

ตารางที่ 4.5 ค่าอนุมเพสและเวลาเคลียร์ริงวิกฤตที่  $H=3$  ของรูปที่ 4.21

Generator ที่	$\delta_0$ (เรเดียน)	$\delta_{cr}$ (เรเดียน)	$t_{cr}$ (วินาที)
Bus 2	0.4393	0.5356	0.2407
Bus 3	0.4393	0.5356	0.2407
Bus 8 ตัวที่ 1	0.2114	0.5316	0.2407
Bus 8 ตัวที่ 2	0.2114	0.5316	0.2407
Bus 8 ตัวที่ 3	0.2114	0.5316	0.2407

ในสภาวะเกิดการลัดวงจนั้นอนุมเพสของเครื่องกำเนิดไฟฟ้าจะไม่คงที่เมื่อทำการเคลียร์ฟอลต์ภายในเวลา 0.2407 วินาที กราฟจะมีการแกว่งเข้าสู่มุนที่คงที่ โดยกราฟเส้นบนคืออนุมเพสของเครื่องกำเนิดไฟฟ้าที่บัส 2 และบัส 3 และกราฟเส้นล่างคือเครื่องกำเนิดไฟฟ้าที่บัส 8 ตัวที่ 1, 2 และ 3 ดังรูปที่ 4.21

- 2) กำลังไฟฟ้าของเครื่องกำเนิดไฟฟ้าที่บัส 2 และบัส 3 มีค่าเท่ากับ 120 MW และ กำลังไฟฟ้าของเครื่องกำเนิดไฟฟ้าที่บัส 8 ตัวที่ 1, 2 และ 3 มีค่าเท่ากับ 160 MW ควรเคลียร์ พอลต์ภายในเวลา 0.4390 วินาที



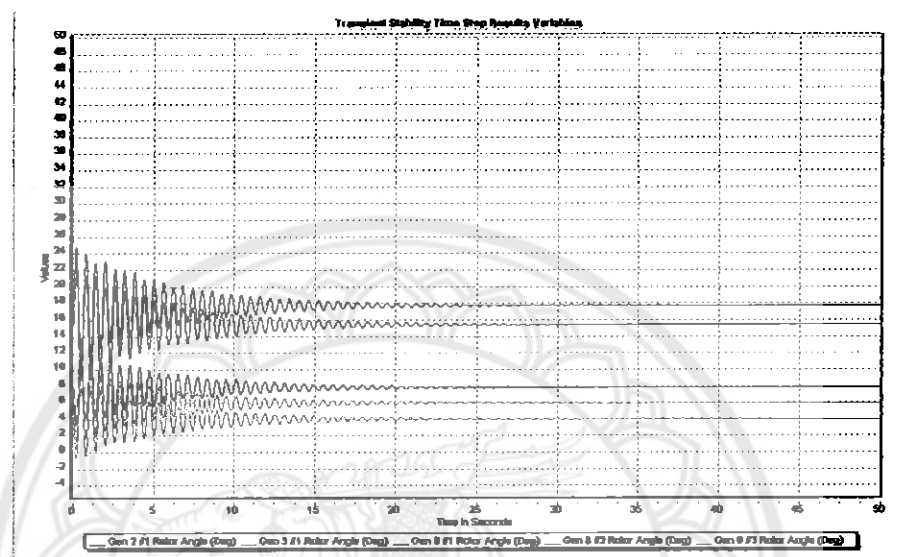
รูปที่ 4.22 นุ่มเฟสที่เกิดการลัดวงจรระหว่างบัส 6 – บัส 8 โดยกำลังไฟฟ้าของเครื่องกำเนิดไฟฟ้าที่บัส 2, 3 เท่ากับ 120 MW และกำลังไฟฟ้าของเครื่องกำเนิดไฟฟ้าที่บัส 8 ตัวที่ 1, 2, 3 เท่ากับ 160 MW

ตารางที่ 4.6 ค่า�ุ่มเฟสและเวลาเคลียร์ริงวิกฤตที่  $H=3$  ของรูปที่ 4.22

Generator ที่	$\delta_0$ (เรเดียน)	$\delta_{cr}$ (เรเดียน)	$t_{cr}$ (วินาที)
Bus 2	0.2727	0.9676	0.4390
Bus 3	0.2727	0.9676	0.4390
Bus 8 ตัวที่ 1	0.2408	0.9670	0.4390
Bus 8 ตัวที่ 2	0.2408	0.9670	0.4390
Bus 8 ตัวที่ 3	0.2408	0.9670	0.4390

ในสภาวะเกิดการลัดวงจรนั้นนุ่มเฟสของเครื่องกำเนิดไฟฟ้าจะไม่คงที่ เมื่อทำการเคลียร์ พอลต์ภายในเวลา 0.4390 วินาที กราฟจะมีการแกว่งเบ้าสู่มุมที่คงที่ โดยกราฟเส้นบนคือนุ่มเฟสของเครื่องกำเนิดไฟฟ้าที่บัส 2 และบัส 3 และกราฟเส้นล่างคือเครื่องกำเนิดไฟฟ้าที่บัส 8 ตัวที่ 1, 2 และ 3 ดังรูปที่ 4.22

3) กำลังไฟฟ้าของเครื่องกำเนิดไฟฟ้าที่บัส 2 มีค่าเท่ากับ 140 MW และบัส 3 มีค่าเท่ากับ 120 MW กำลังไฟฟ้าของเครื่องกำเนิดไฟฟ้าที่บัส 8 ตัวที่ 1 เท่ากับ 160 MW, ตัวที่ 2 มีค่าเท่ากับ 140 MW และตัวที่ 3 มีค่าเท่ากับ 120 MW ควรเคลียร์ฟอลต์ภายในเวลา 0.2800 วินาที



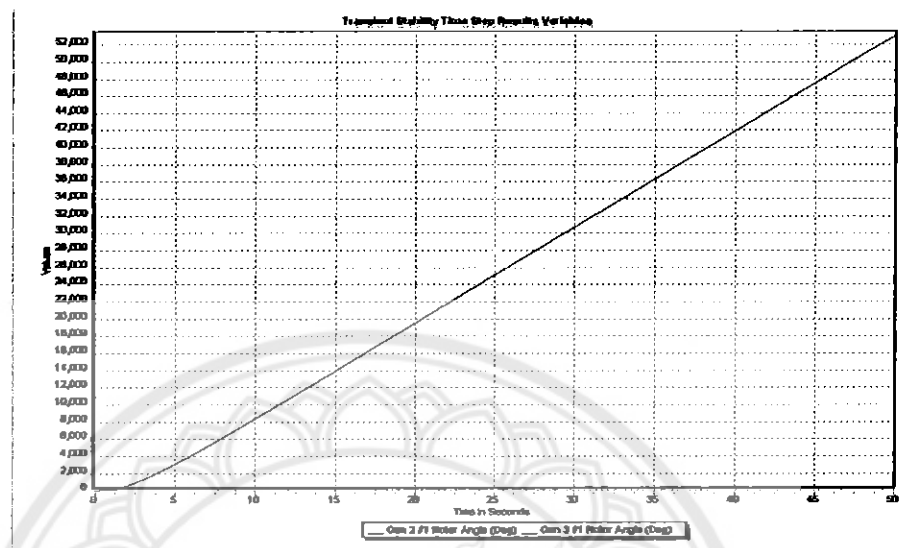
รูปที่ 4.23 นุ่มนิ่มไฟฟ้าที่เกิดการลัดวงจรระหว่างบัส 6 – บัส 8 โดยกำลังไฟฟ้าของเครื่องกำเนิดไฟฟ้าที่บัส 2, 3 และบัส 8 ตัวที่ 1, 2, 3 มีค่าเท่ากับ 140, 120, 160, 140 และ 120 MW ตามลำดับ

ตารางที่ 4.7 ค่ามุ่นไฟและเวลาเคลียร์ริงวิกฤต H=3 ของรูปที่ 4.23

Generator ที่	$\delta_0$ (เรเดียน)	$\delta_{cr}$ (เรเดียน)	$t_{cr}$ (วินาที)
Bus 2	0.3098	0.6195	0.2880
Bus 3	0.2694	0.6193	0.2880
Bus 8 ตัวที่ 1	0.1369	0.6165	0.2880
Bus 8 ตัวที่ 2	0.1039	0.6159	0.2880
Bus 8 ตัวที่ 3	0.0703	0.6153	0.2880

ในสภาวะเกิดการลัดวงจรนั้นมุ่นไฟของเครื่องกำเนิดไฟฟ้าจะไม่คงที่ เมื่อทำการเคลียร์ฟอลต์ภายในเวลา 0.2880 วินาที กราฟจะมีการแกว่งเข้าสู่มุ่นที่คงที่ โดยกราฟเส้นแรกคือมุ่นไฟของเครื่องกำเนิดไฟฟ้าที่บัส 2 กราฟเส้นที่ 2 คือมุ่นไฟของเครื่องกำเนิดไฟฟ้าที่บัส 3 กราฟเส้นที่ 3 คือมุ่นไฟของเครื่องกำเนิดไฟฟ้าที่บัส 8 ตัวที่ 1 กราฟเส้นที่ 4 คือมุ่นไฟของเครื่องกำเนิดไฟฟ้าที่บัส 8 ตัวที่ 2 และกราฟเส้นที่ 5 คือมุ่นไฟของเครื่องกำเนิดไฟฟ้าที่บัส 8 ดังรูปที่ 4.23

4) กำลังไฟฟ้าของเครื่องกำเนิดไฟฟ้าในสภาวะเกิดการลัดวงจรและเกลียร์ฟอลต์หลังเวลาเคลื่บ Harring วิกฤต

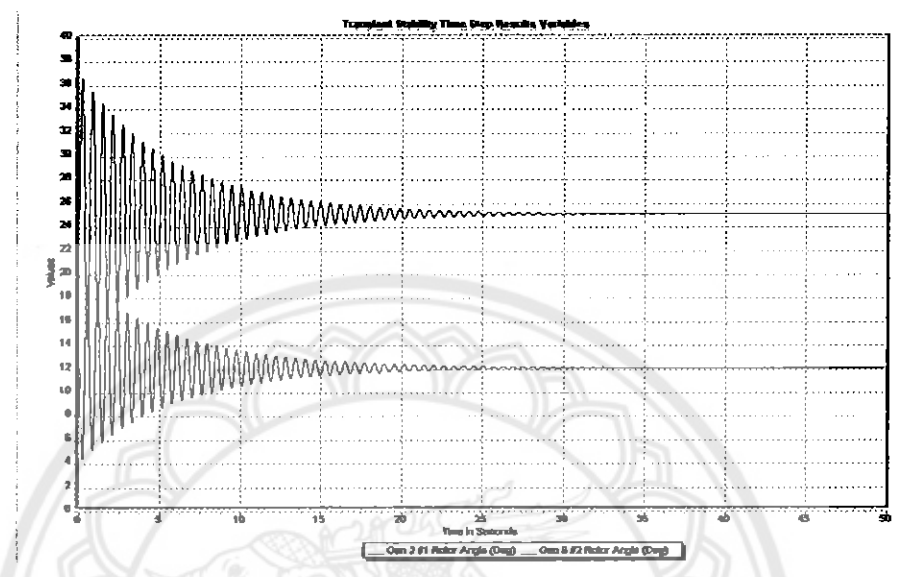


รูปที่ 4.24 บุนเดสของกำลังไฟฟ้าในเครื่องกำเนิดไฟฟ้าที่เกิดการลัดวงจรที่สายส่งระหว่างบัส 6 – บัส 8 และเกลียร์ฟอลต์หลังเวลาเคลื่บ Harring วิกฤต

ในสภาวะเกิดการลัดวงจนั้นบุนเดสของเครื่องกำเนิดไฟฟ้าจะไม่คงที่ เมื่อไม่สามารถเกลียร์ฟอลต์ภายในเวลาเคลื่บ Harring วิกฤต กราฟจะเป็นสูตรอคติยะ ในมีบุนที่คงที่ดังรูปที่ 4.24

#### 4.2.1.3 กรณีที่ 3 การสัตห่วงจรที่บัส 4 โดยเวลานาคเลียร์ริงวิกฤตเท่ากับ 0.05 วินาที

1) กำลังไฟฟ้าของเครื่องกำเนิดไฟฟ้าทั้งหมดมีค่าเท่ากับ 150 MW ควรเคลียร์ฟอลต์ภายในเวลา 0.1860 วินาที



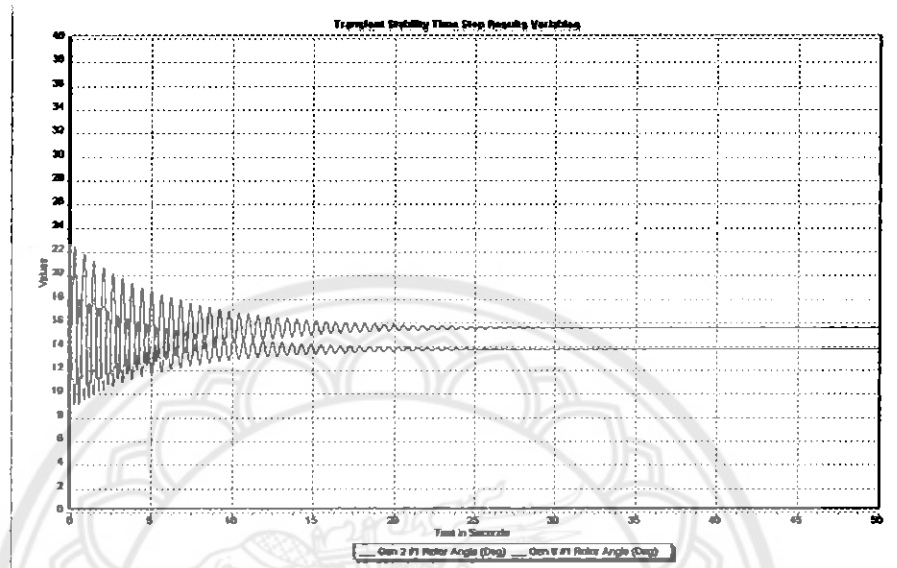
รูปที่ 4.25 บุมเฟสที่เกิดการสัตห่วงจรที่บัส 4 โดยกำลังไฟฟ้าของเครื่องกำเนิดไฟฟ้าทั้งหมดเท่ากับ 150 MW

ตารางที่ 4.8 ค่าบุมเฟสและเวลาเคลียร์ริงวิกฤต H=3 ของรูปที่ 4.25

Generator ที่	$\delta_0$ (เรเดียน)	$\delta_{cr}$ (เรเดียน)	$t_{cr}$ (วินาที)
Bus 2	0.4393	0.4156	0.1860
Bus 3	0.4393	0.4156	0.1860
Bus 8 ตัวที่ 1	0.2114	0.4116	0.1860
Bus 8 ตัวที่ 2	0.2114	0.4116	0.1860
Bus 8 ตัวที่ 3	0.2114	0.4116	0.1860

ในสภาวะเกิดการสัตห่วงจรนั้นบุมเฟสของเครื่องกำเนิดไฟฟ้าจะไม่คงที่ เมื่อทำการเคลียร์ฟอลต์ภายในเวลา 0.1860 วินาที กราฟจะมีการแกว่งเข้าสู่บุมที่คงที่โดยกราฟเส้นบนคือบุมเฟสของเครื่องกำเนิดไฟฟ้าที่บัส 2 และบัส 3 และกราฟเส้นล่างคือเครื่องกำเนิดไฟฟ้าที่บัส 8 ตัวที่ 1, 2 และ 3 ดังรูปที่ 4.25

2) กำลังไฟฟ้าของเครื่องกำเนิดไฟฟ้าที่บัส 2 และบัส 3 มีค่าเท่ากับ 120 MW และ กำลังไฟฟ้าของเครื่องกำเนิดไฟฟ้าที่บัส 8 ตัวที่ 1, 2 และ 3 มีค่าเท่ากับ 160 MW ควรเคลียร์ฟอลด์ภายในเวลา 0.2956 วินาที



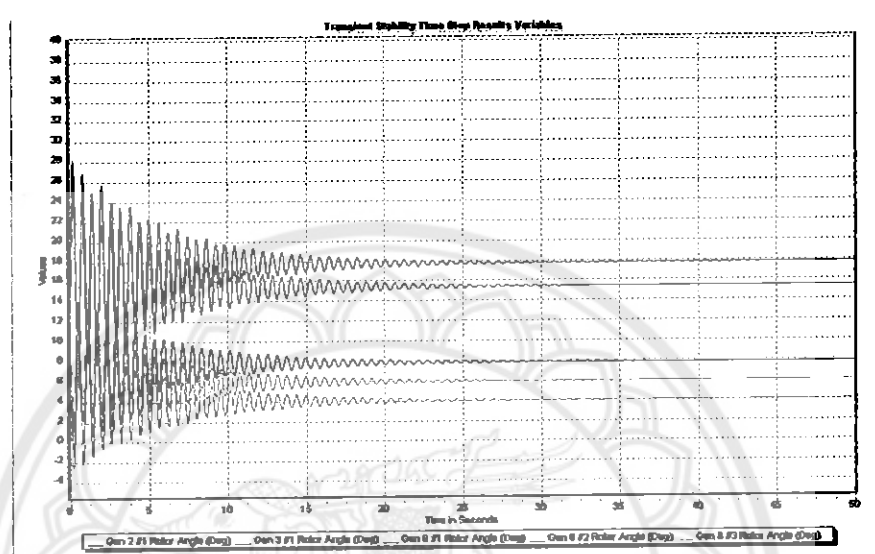
รูปที่ 4.26 นุ่มนิ่มเฟสที่เกิดการลัดวงจรที่บัส 4 โดยกำลังไฟฟ้าของเครื่องกำเนิดไฟฟ้าที่บัส 2, 3 เท่ากับ 120 MW และกำลังไฟฟ้าของเครื่องกำเนิดไฟฟ้าที่บัส 8 ตัวที่ 1, 2, 3 เท่ากับ 160 MW

ตารางที่ 4.9 ค่ามุ่มนิ่มและเวลาเคลียร์ริงวิกฤต H=3 ของรูปที่ 4.26

Generator ที่	$\delta_0$ (เรเดียน)	$\delta_{cr}$ (เรเดียน)	$t_{cr}$ (วินาที)
Bus 2	0.2727	0.6531	0.2956
Bus 3	0.2727	0.6531	0.2956
Bus 8 ตัวที่ 1	0.2408	0.6525	0.2956
Bus 8 ตัวที่ 2	0.2408	0.6525	0.2956
Bus 8 ตัวที่ 3	0.2408	0.6525	0.2956

ในสภาวะเกิดการลัดวงจรนั้นมุ่มนิ่มของเครื่องกำเนิดไฟฟ้าจะไม่คงที่ เมื่อทำการเคลียร์ฟอลด์ภายในเวลา 0.2956 วินาที กราฟจะมีการแกว่งเข้าสู่มุ่มนิ่มที่คงที่ โดยกราฟเส้นบนคือมุ่มนิ่มของเครื่องกำเนิดไฟฟ้าที่บัส 2 และบัส 3 และกราฟเส้นล่างคือเครื่องกำเนิดไฟฟ้าที่บัส 8 ตัวที่ 1, 2 และ 3 ดังรูปที่ 4.26

3) กำลังไฟฟ้าของเครื่องกำเนิดไฟฟ้าที่บัส 2 มีค่าเท่ากับ 140 MW และบัส 3 มีค่าเท่ากับ 120 MW กำลังไฟฟ้าของเครื่องกำเนิดไฟฟ้าที่บัส 8 ตัวที่ 1 เท่ากับ 160 MW, ตัวที่ 2 มีค่าเท่ากับ 140 MW และตัวที่ 3 มีค่าเท่ากับ 120 MW ควรเคลียร์ฟอลต์ภายในเวลา 0.2151 วินาที



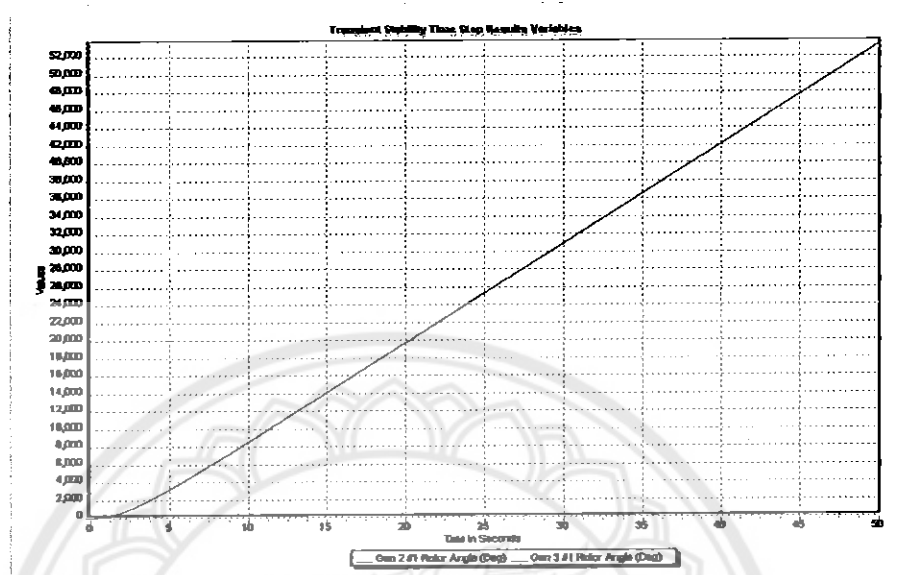
รูปที่ 4.27 นุ่มนิ่มไฟฟ้าที่เกิดการลัดวงจรที่บัส 4 โดยกำลังไฟฟ้าของเครื่องกำเนิดไฟฟ้าที่บัส 2, 3 และบัส 8 ตัวที่ 1, 2, 3 มีค่าเท่ากับ 140, 120, 160, 140 และ 120 MW ตามลำดับ

ตารางที่ 4.10 ค่ามุมไฟฟ้าและเวลาเคลียร์ริงวิกฤต  $H=3$  ของรูปที่ 4.27

Generator ที่	$\delta_0$ (เรเดียน)	$\delta_{cr}$ (เรเดียน)	$t_{cr}$ (วินาที)
Bus 2	0.3098	0.4772	0.2151
Bus 3	0.2694	0.4765	0.2151
Bus 8 ตัวที่ 1	0.1369	0.4742	0.2151
Bus 8 ตัวที่ 2	0.1039	0.4736	0.2151
Bus 8 ตัวที่ 3	0.0703	0.4730	0.2151

ในสภาวะเกิดการลัดวงจรนั้นนุ่มนิ่มไฟฟ้าของเครื่องกำเนิดไฟฟ้าจะไม่คงที่ เมื่อทำการเคลียร์ฟอลต์ภายในเวลา 0.2151 วินาที กราฟจะมีการแกว่งเข้าสู่มุมที่คงที่ โดยกราฟเส้นแรกคือมุมไฟฟ้าของเครื่องกำเนิดไฟฟ้าที่บัส 2 กราฟเส้นที่ 2 คือมุมไฟฟ้าของเครื่องกำเนิดไฟฟ้าที่บัส 3 กราฟเส้นที่ 3 คือมุมไฟฟ้าของเครื่องกำเนิดไฟฟ้าที่บัส 8 ตัวที่ 1 กราฟเส้นที่ 4 คือมุมไฟฟ้าของเครื่องกำเนิดไฟฟ้าที่บัส 8 ตัวที่ 2 และกราฟเส้นที่ 5 คือมุมไฟฟ้าของเครื่องกำเนิดไฟฟ้าที่บัส 8 ดังรูปที่ 4.27

4) กำลังไฟฟ้าของเครื่องกำเนิดไฟฟ้าในสภาวะเกิดการลัดวงจรและเกลียร์ฟอลต์  
หลังเวลาเคลียร์ริงวิกฤต

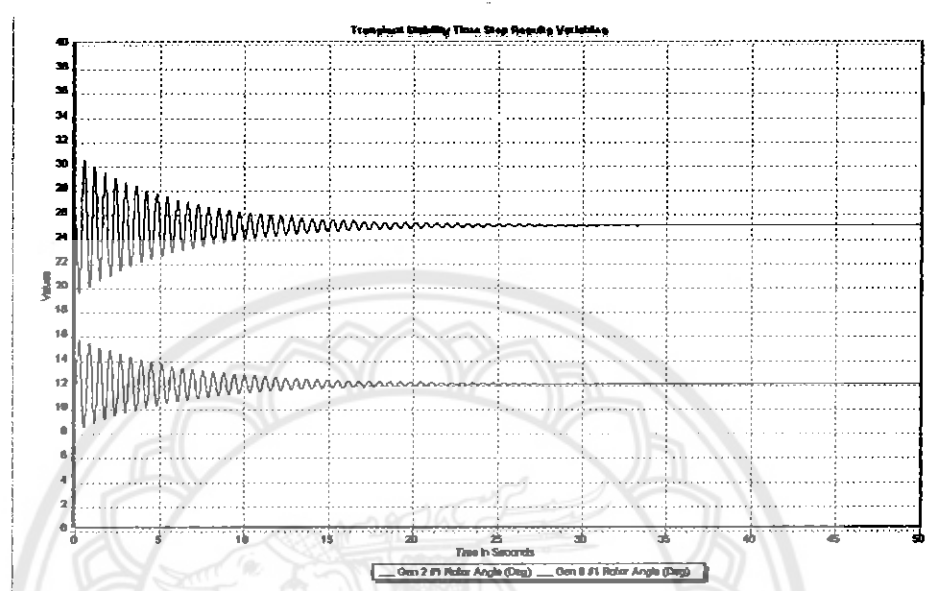


รูปที่ 4.28 นุมเฟสของกำลังไฟฟ้าในเครื่องกำเนิดไฟฟ้าที่เกิดการลัดวงจรที่บัส 4  
และเกลียร์ฟอลต์หลังเวลาเคลียร์ริงวิกฤต

ในสภาวะเกิดการลัดวงจนั้นนุมเฟสของเครื่องกำเนิดไฟฟ้าจะไม่คงที่ เมื่อไม่สามารถ  
เคลียร์ฟอลต์ภายในเวลาเคลียร์ริงวิกฤต กราฟจะสูงออกโดยจะไม่มีมุนที่คงที่ค้างรูปที่ 4.28

#### 4.2.1.4 กรณีที่ 4 การสัตหงษ์ที่บัส 8 โดยเวลานคดีบริรังวิกฤตเท่ากับ 0.05 วินาที

1) กำลังไฟฟ้าของเครื่องกำเนิดไฟฟ้าทั้งหมดมีค่าเท่ากับ 150 MW ควรเคลียร์ฟอลต์ภายในเวลา 0.2938 วินาที



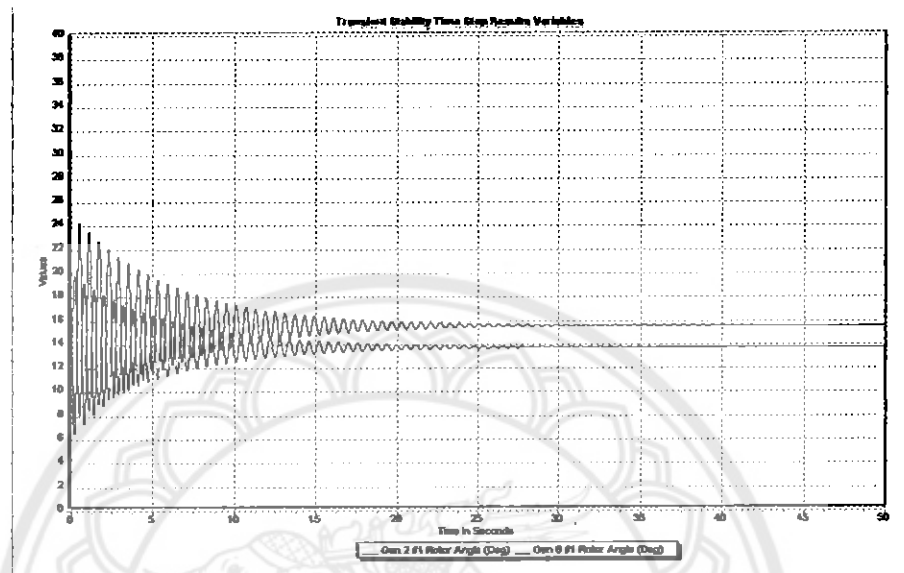
รูปที่ 4.29 นุมเพสที่เกิดการลัดวงจรที่บัส 8 โดยกำลังไฟฟ้าของเครื่องกำเนิดไฟฟ้าทั้งหมดเท่ากับ 150 MW

ตารางที่ 4.11 ค่าอนุมเพสและเวลาเคลียร์ริงวิกฤต  $H=3$  ของรูปที่ 4.29

Generator ที่	$\delta_0$ (เรเดียน)	$\delta_{cr}$ (เรเดียน)	$t_{cr}$ (วินาที)
Bus 2	0.4393	0.6520	0.2938
Bus 3	0.4393	0.6520	0.2938
Bus 8 ตัวที่ 1	0.2114	0.6481	0.2938
Bus 8 ตัวที่ 2	0.2114	0.6481	0.2938
Bus 8 ตัวที่ 3	0.2114	0.6481	0.2938

ในสภาวะเกิดการลัดวงจรนั้น อนุมเพสของเครื่องกำเนิดไฟฟ้าจะไม่คงที่ เมื่อทำการเคลียร์ฟอลต์ภายในเวลา 0.2938 วินาที กราฟจะมีการแกว่งเข้าสู่มุ่งที่คงที่โดยกราฟเส้นบนคืออนุมเพสของเครื่องกำเนิดไฟฟ้าที่บัส 2 และบัส 3 และกราฟเส้นล่างคือกราฟเส้นล่างที่เกี่ยวกับการเคลียร์ไฟฟ้าที่บัส 8 ตัวที่ 1, 2 และ 3 ดังรูปที่ 4.29

2) กำลังไฟฟ้าของเครื่องกำเนิดไฟฟ้าที่บัส 2 และบัส 3 มีค่าเท่ากับ 120 MW และ กำลังไฟฟ้าของเครื่องกำเนิดไฟฟ้าที่บัส 8 ตัวที่ 1, 2 และ 3 มีค่าเท่ากับ 160 MW ควรเคลียร์ พอดuct กายในเวลา 0.2468 วินาที



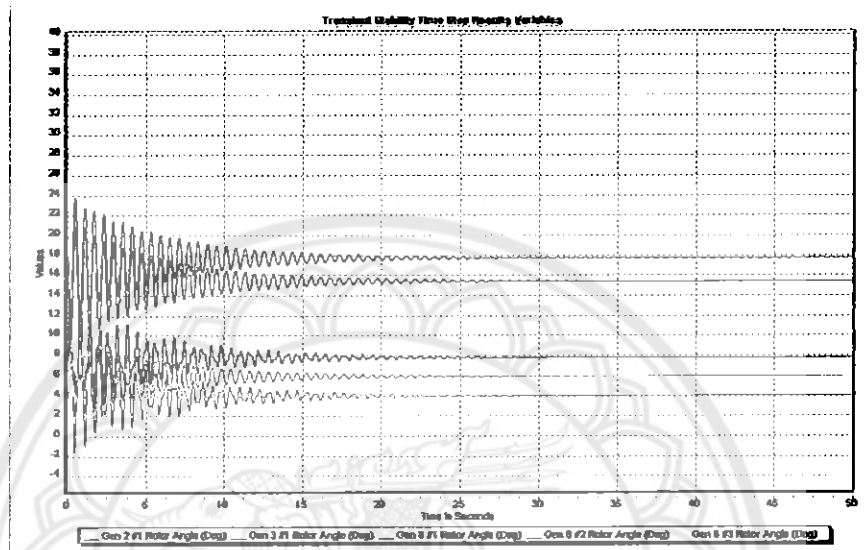
รูปที่ 4.30 นุ่มนิ่มไฟฟ้าที่เกิดการลัดวงจรที่บัส 8 โดยกำลังไฟฟ้าของเครื่องกำเนิดไฟฟ้าที่บัส 2, 3 เท่ากับ 120 MW และกำลังไฟฟ้าของเครื่องกำเนิดไฟฟ้าที่บัส 8 ตัวที่ 1, 2, 3 เท่ากับ 160 MW

ตารางที่ 4.12 ค่าอนุเสสและเวลาเคลียร์ริงวิกฤต H=3 ของรูปที่ 4.30

Generator ที่	$\delta_0$ (เรเดียน)	$\delta_{cr}$ (เรเดียน)	$t_{cr}$ (วินาที)
Bus 2	0.2727	0.5461	0.2468
Bus 3	0.2727	0.5461	0.2468
Bus 8 ตัวที่ 1	0.2408	0.5455	0.2468
Bus 8 ตัวที่ 2	0.2408	0.5455	0.2468
Bus 8 ตัวที่ 3	0.2408	0.5455	0.2468

ในสภาวะเกิดการลัดวงจรนั้นนุ่มนิ่มไฟฟ้าของเครื่องกำเนิดไฟฟ้าจะไม่คงที่ เมื่อทำการเคลียร์ พอดuct กายในเวลา 0.2468 วินาที กราฟจะมีการแกว่งเข้าสู่นุ่มที่คงที่ โดยกราฟเส้นบนคืออนุเสสไฟฟ้าของเครื่องกำเนิดไฟฟ้าที่บัส 2 และบัส 3 และกราฟเส้นล่างคือเครื่องกำเนิดไฟฟ้าที่บัส 8 ตัวที่ 1, 2 และ 3 ดังรูปที่ 4.30

3) กำลังไฟฟ้าของเครื่องกำเนิดไฟฟ้าที่บัส 2 มีค่าเท่ากับ 140 MW และบัส 3 มีค่าเท่ากับ 120 MW กำลังไฟฟ้าของเครื่องกำเนิดไฟฟ้าที่บัส 8 ตัวที่ 1 เท่ากับ 160 MW, ตัวที่ 2 มีค่าเท่ากับ 140 MW และตัวที่ 3 มีค่าเท่ากับ 120 MW ควรเคลียร์ฟอลต์ภายในเวลา 0.2999 วินาที



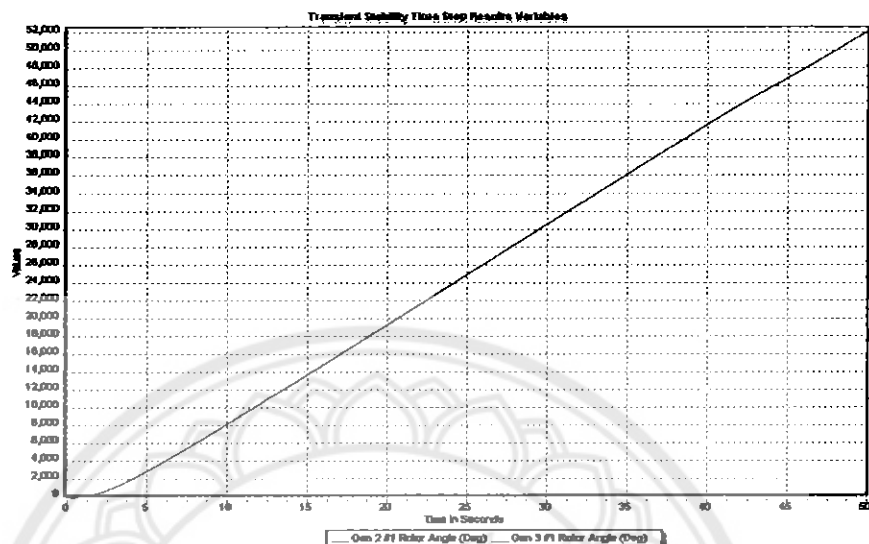
รูปที่ 4.31 นุมเฟสที่เกิดการลัดวงจรที่บัส 8 โดยกำลังไฟฟ้าของเครื่องกำเนิดไฟฟ้าที่บัส 2, 3 และบัส 8 ตัวที่ 1, 2, 3 มีค่าเท่ากับ 140, 120, 160, 140 และ 120 MW ตามลำดับ

ตารางที่ 4.13 ค่ามุมเฟสและเวลาเคลียร์ริงวิกฤต  $H=3$  ของรูปที่ 4.31

Generator ที่	$\delta_0$ (เรเดียน)	$\delta_{cr}$ (เรเดียน)	$t_{cr}$ (วินาที)
Bus 2	0.3098	0.6632	0.2999
Bus 3	0.2694	0.6625	0.2999
Bus 8 ตัวที่ 1	0.1369	0.6601	0.2999
Bus 8 ตัวที่ 2	0.1039	0.6596	0.2999
Bus 8 ตัวที่ 3	0.0703	0.6590	0.2999

ในสภาวะเกิดการลัดวงจรนี้มุมเฟสของเครื่องกำเนิดไฟฟ้าจะไม่คงที่ เมื่อทำการเคลียร์ฟอลต์ภายในเวลา 0.2999 วินาที กราฟจะมีการแกว่งเข้าสู่มุนที่คงที่ โดยกราฟเส้นแรกคือมุมเฟสของเครื่องกำเนิดไฟฟ้าที่บัส 2 กราฟเส้นที่ 2 คือมุมเฟสของเครื่องกำเนิดไฟฟ้าที่บัส 3 กราฟเส้นที่ 3 คือมุมเฟสของเครื่องกำเนิดไฟฟ้าที่บัส 8 ตัวที่ 1 กราฟเส้นที่ 4 คือมุมเฟสของเครื่องกำเนิดไฟฟ้าที่บัส 8 ตัวที่ 2 และกราฟเส้นที่ 5 คือมุมเฟสของเครื่องกำเนิดไฟฟ้าที่บัส 8 ดังรูปที่ 4.31

**4) กำลังไฟฟ้าของเครื่องกำเนิดไฟฟ้าในสภาวะเกิดการลัดวงจรและเคลียร์ฟอลต์ หลังเวลาเคลียร์ริงวิกฤต**



**รูปที่ 4.32 นุมเพสของกำลังไฟฟ้าในเครื่องกำเนิดไฟฟ้าที่เกิดการลัดวงจรที่บัวส 8 และเคลียร์ฟอลต์หลังเวลาเคลียร์ริงวิกฤต**

ในสภาวะเกิดการลัดวงจนั้นมุมเพสของเครื่องกำเนิดไฟฟ้าจะไม่คงที่ เมื่อไม่สามารถเคลียร์ฟอลต์ภายในเวลาเคลียร์ริงวิกฤต ราไฟจะถูกออกโดยจะไม่มีมุมที่คงที่ดังรูปที่ 4.32

ในสภาวะปกตินั้นราไฟจะเป็นเส้นตรง โดยมีมุมเพสคงที่และมุมเพสบนจะมากหรือน้อยขึ้นอยู่กับกำลังไฟฟ้าและโหลดกำลังไฟฟ้านี้ค่ามากมุมเพสจะสูง เมื่อกำลังไฟฟ้ามีค่าน้อยลงเพสจะต่ำตามไปด้วย ส่วนค่าโหลดนั้น เมื่อโหลดมีค่ามากมุมเพสจะต่ำ โหลดที่มีค่าน้อยลงเพสจะสูง ในสภาวะเกิดการลัดวงจนั้นราไฟจะมีการแกว่งและจะไม่เข้าสู่มุมใหม่นึง เมื่อทำการเคลียร์ฟอลต์ภายในเวลาเคลียร์ริงวิกฤต ราไฟจะมีการแกว่งเข้าสู่มุมที่คงที่ แต่ถ้าไม่สามารถเคลียร์ฟอลต์ภายในเวลาเคลียร์ริงวิกฤตนั้นราไฟจะถูกออก

## บทที่ 5

### สรุปผลการการดำเนินโครงการ

#### 5.1 สรุปผล

จากการศึกษาและวิเคราะห์เสถียรภาพชั่วครุ่งของระบบไฟฟ้า 4 บัสและ 10 บัส โดยการปรับค่าบุมเคลียร์ริงวิกฤต เวลาเคลียร์ริงวิกฤต ค่าสัมประสิทธิ์การหน่วง ค่าคงที่ความเรื้อง และกำลังไฟฟ้าจะเห็นได้ว่า

1. กรณีเคลียร์ฟอลด์ภายในเวลาเคลียร์ริงวิกฤตและบุมเคลียร์ริงวิกฤต บุมเฟสของเครื่องกำเนิดไฟฟ้าจะขังคงเกิดเสถียรภาพและสามารถถabilize ภาวะปกติได้
2. กรณีเคลียร์ฟอลด์หลังเวลาเคลียร์ริงวิกฤตและบุมเคลียร์ริงวิกฤต บุมเฟสของเครื่องกำเนิดไฟฟ้าจะสูญเสียเสถียรภาพ
3. กรณีปรับค่าสัมประสิทธิ์การหน่วง เมื่อค่าสัมประสิทธิ์การหน่วงมาก ขนาดบุมเฟสในการแกว่งจะสูงแต่ลดลงเร็วทำให้เข้าสู่เสถียรภาพได้เร็ว เมื่อค่าสัมประสิทธิ์การหน่วงน้อย ขนาดบุมเฟสในการแกว่งจะน้อยและลดลงช้า จึงทำให้เข้าสู่เสถียรภาพได้ช้า การปรับค่าค่าสัมประสิทธิ์การหน่วงสามารถปรับที่ขดลวด Damping ของเครื่องกำเนิดไฟฟ้า
4. กรณีปรับค่าความเรื้อง เมื่อค่าความเรื้องมากจะส่งผลกระทบกับกำลังไฟฟ้าและบุมโตรเทอร์จะเปลี่ยนแปลงอย่างช้าๆ เนื่องจากความหน่วงทำให้เข้าสู่บุมเสถียรภาพได้ช้า เมื่อค่าความเรื้องน้อยความหน่วงจะน้อยตาม จึงทำให้เข้าสู่เสถียรภาพได้เร็วแต่ไม่สามารถปรับค่าความเรื้องเป็นศูนย์ได้ การปรับค่าค่าความเรื้องสามารถปรับที่ใบพัดกังหันหรือปริมาณการไหลของน้ำหรือไอน้ำก่อนเข้าใบพัด
5. กรณีปรับค่ากำลังไฟฟ้าของเครื่องกำเนิดไฟฟ้า เมื่อกำลังไฟฟ้าของเครื่องกำเนิดไฟฟ้ามีค่ามาก บุมเฟสจะมีสูง หากกำลังไฟฟ้าของเครื่องกำเนิดไฟฟ้ามีค่าน้อย บุมเฟสจะมีค่าต่ำตามไปด้วย
6. การเกิดการลัดวงจรที่บัสและระหว่างสายส่งนั้น กรณีเกิดที่บัสเครื่องกำเนิดไฟฟ้าจะเป็นการลัดวงจรที่รุนแรงกว่าการลัดวงจรระหว่างสายส่ง เนื่องจากหากเกิดการลัดวงจรที่บัสเครื่องกำเนิดไฟฟ้าจะทำให้กำลังการผลิตไม่สามารถส่งจ่ายได้ในทันที แต่การลัดวงจรระหว่างสายส่งกำลังไฟฟ้าขังสามารถเบี่ยงเบนการไหลไปยังสายส่งเด่นอื่นได้ทำให้เครื่องกำเนิดไฟฟ้าสามารถจ่ายกำลังไฟฟ้าได้เท่าเดิมและโหลดขังสามารถรับกำลังไฟฟ้าได้เท่าเดิม

7. การลัดวงจรที่มีค่ากระแสการลัดวงจรสูงจำเป็นต้องเคลียร์ฟอลต์ออกให้เร็วกว่าการลัดวงจรที่มีกระแสลัดวงจรสั้น หัวนี้อาจจำเป็นต้องพิจารณาทำแห่งที่เกิดการลัดวงจรและความสำคัญของโอลด์ควบคู่กันไปด้วย
8. ความสำคัญของโอลด์ เช่น โอลด์ที่มีความสำคัญทางด้านเศรษฐกิจจำเป็นต้องทำการลัดวงจรอย่างรวดเร็ว หากคำนึงไม่ทันภายในเวลาเคลียร์ริงวิกฤตจะส่งผลกระทบและสร้างความเสียหายให้กับระบบและเศรษฐกิจโดยรวม

จากการศึกษา เมื่อเกิดการลัดวงจรขึ้น บุณเพสของเครื่องกำเนิดไฟฟ้าจะเพิ่มขึ้นไปเรื่อยๆ โดยไม่มีค่าคงที่ เมื่อทำการเคลียร์ฟอลต์และต้องเคลียร์ฟอลต์ภายในเวลาเคลียร์ริงวิกฤต จะส่งผลให้บุณเพสของเครื่องกำเนิดไฟฟ้ากลับมากองที่เหมือนในสภาวะปกติและทำให้สามารถรักษาเสถียรภาพของระบบไว้ได้

## 5.2 ปัญหาและแนวทางการแก้ไข

โปรแกรม PowerWorld นี้เป็นรุ่นสำหรับนักศึกษามีการแสดงรายการละเอียดของโปรแกรม จำกัด ซึ่งจำเป็นต้องใช้วลากในการศึกษาและออกแบบวงจรมาก



## เอกสารอ้างอิง

- [1] พิชัย อารีย์. (2552) การวิเคราะห์ระบบไฟฟ้ากำลัง (Power System Analysis) สำนักพิมพ์แห่งจุฬาลงกรณ์มหาวิทยาลัย.
- [2] ชนิดา รอดอินทร์และเนตรทราย สุสัมฤทธิ์, (2540) Advanced Engineering Group. ระบบกำลังไฟฟ้า. สำนักพิมพ์พิลิกส์เซ็นเตอร์.
- [3] J. Duncan Glover, Mulukutla S. Sarma and Thomas J. Overbye, (2545) Power System Analysis and Design.
- [4] ธนาบูรณ์ ศศิภานุเดช. (2538) การป้องกันระบบไฟฟ้ากำลัง. หจก. เม็ดทรายพริ้นติ้ง
- [5] <http://www.powerworld.com/>



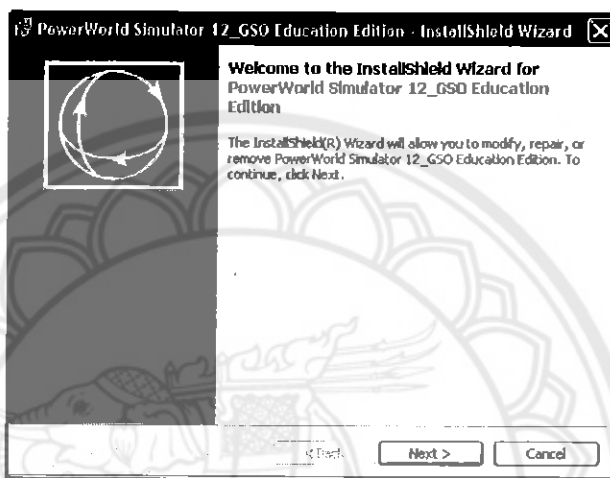


ภาคผนวก

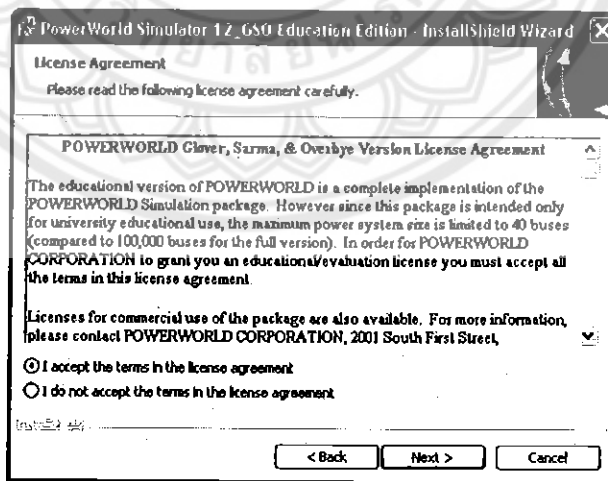
หมายเหตุรายละเอียด

## วิธีติดตั้งโปรแกรม PowerWorld

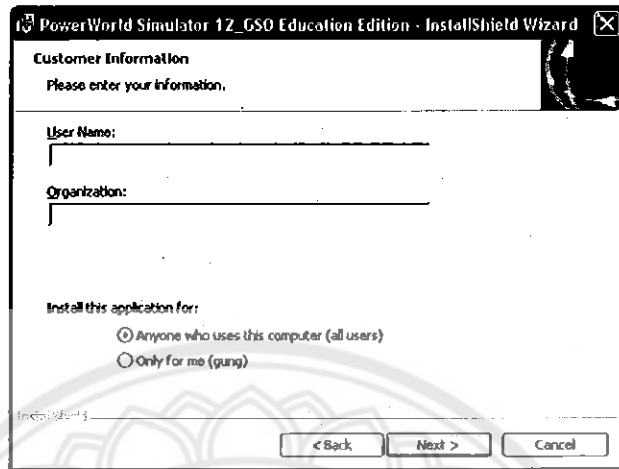
1. ใส่แผ่นโปรแกรม PowerWorld ที่ต้องการติดตั้งลงไว้ในเครื่องของสักครู่ โปรแกรมรันโดยอัตโนมัติ งานนี้จะมีหน้าโน้นี่ขึ้นมา ถ้าหากใส่แผ่นโปรแกรมลงไว้แล้วไม่รันอัตโนมัติให้กดเข้าไปที่ My Computer ดับเบิลคลิกดิスクของ Disk ที่แผ่นโปรแกรมอยู่ งานนี้ให้กด Next



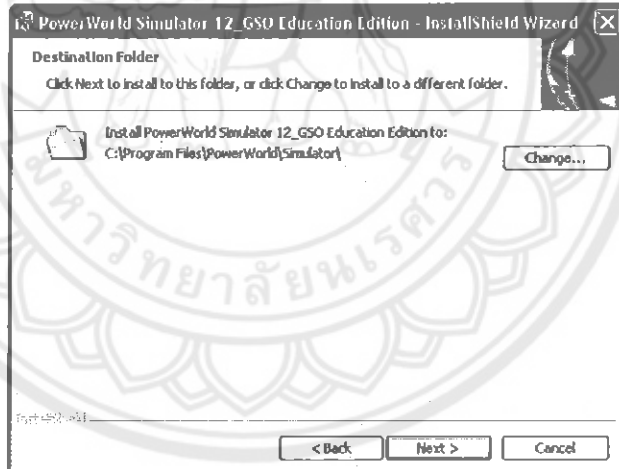
2. จะมีเงื่อนไขในการใช้โปรแกรม PowerWorld ให้กดเลือก I accept the terms in the license agreement แล้วกด Next เพื่อทำขั้นตอนต่อไป



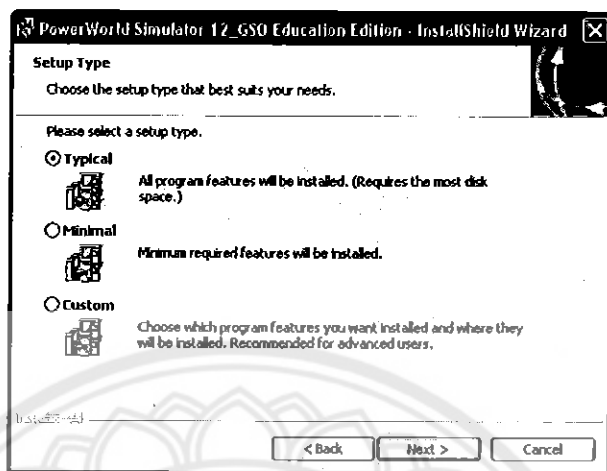
3. จากนั้นให้ใส่ User Name และกด Next เพื่อทำขั้นตอนต่อไป



4. จากนั้นให้เลือกไฟล์ โปรแกรม PowerWorld ไปเก็บไว้ที่ที่เราต้องการจะเก็บแล้วกด Next เพื่อทำขั้นตอนต่อไป



5. จากนั้นให้เลือกวิธีติดตั้งแบบ Typical และกด Next เพื่อทำขั้นตอนต่อไป

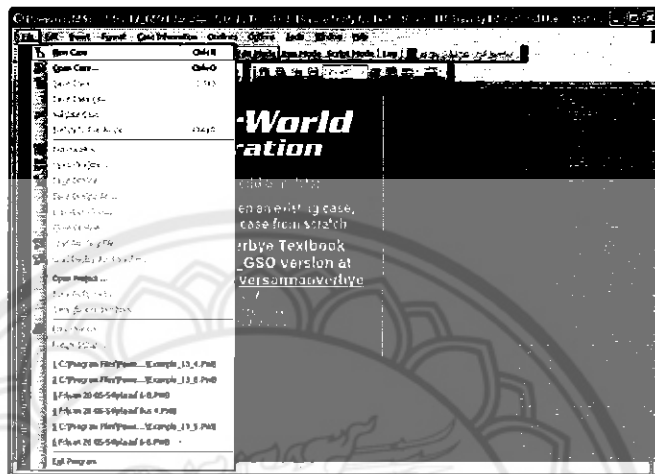


6. จากนั้นกด Install เพื่อติดตั้งโปรแกรม PowerWorld หลังจากนั้นให้รอนคราวที่โปรแกรมลงเสร็จให้กด Finish เท่านี้ก็สามารถใช้โปรแกรม PowerWorld ได้ตามที่เราต้องการ

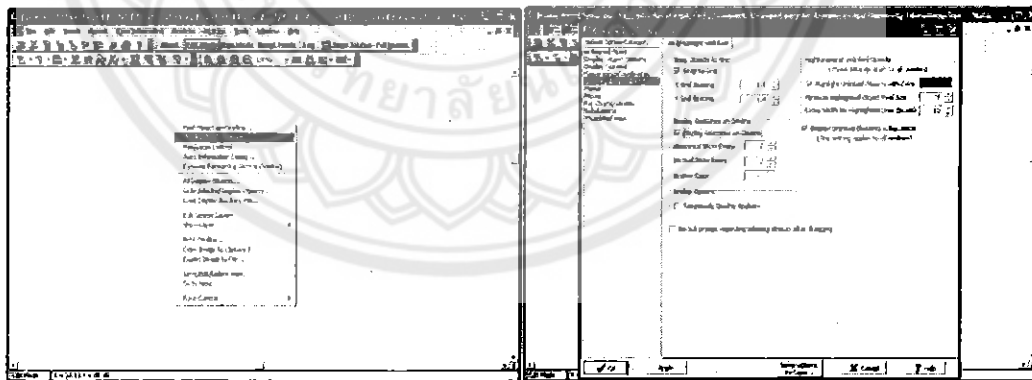


## วิธีการออกแบบระบบไฟฟ้าในโปรแกรม PowerWorld

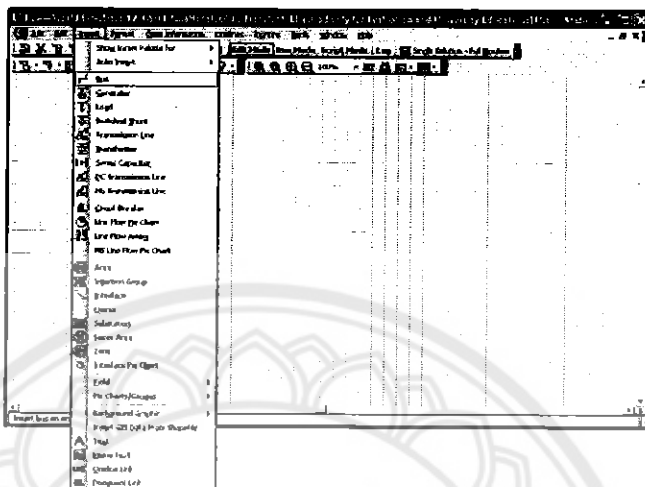
1. เปิดโปรแกรม PowerWorld อกนما แล้วทำการสร้าง File ใหม่ โดยการไปที่ File → New Case ดังรูป



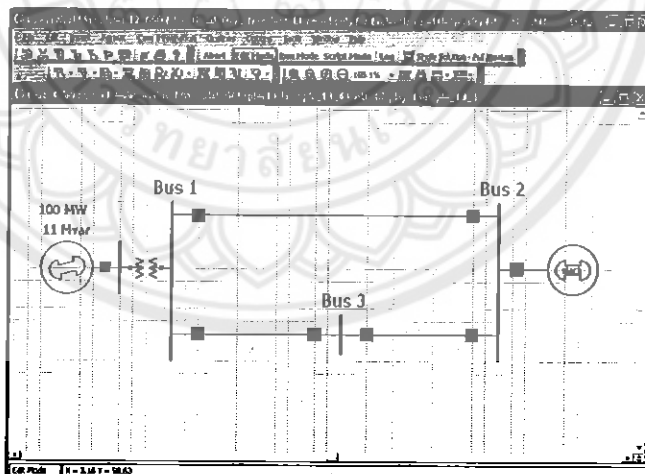
2. จากนั้นคลิกขวากลางหน้ากระดาษ เพื่อสร้างตารางที่ทำให้ง่ายต่อการออกแบบ โดยคลิกขวา กด Oneline Display options... → Grid/Highlight Unlinked จากนั้นทำการคลิกค่าตรง Display Grid Lines ดังรูป



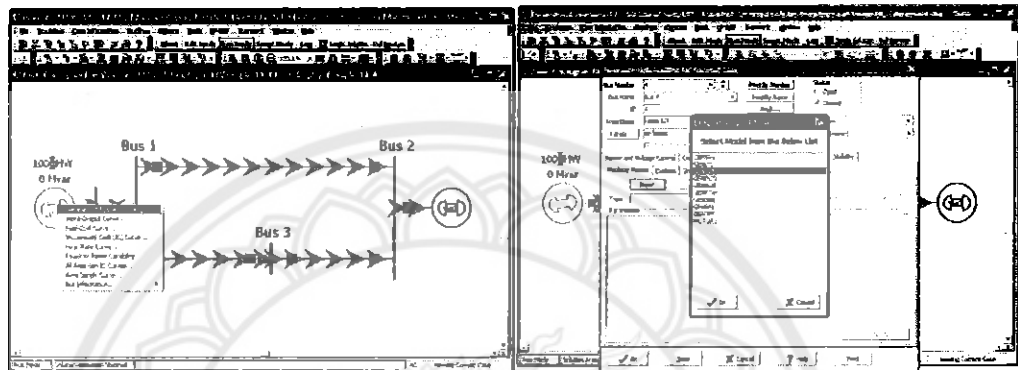
3. จากนั้นไปคลิกที่ Insert แล้วจะมีอุปกรณ์ต่างๆออกมานะ ให้เราเลือกใช้อุปกรณ์มาสร้างระบบตามที่ต้องการออกแบบดังรูป



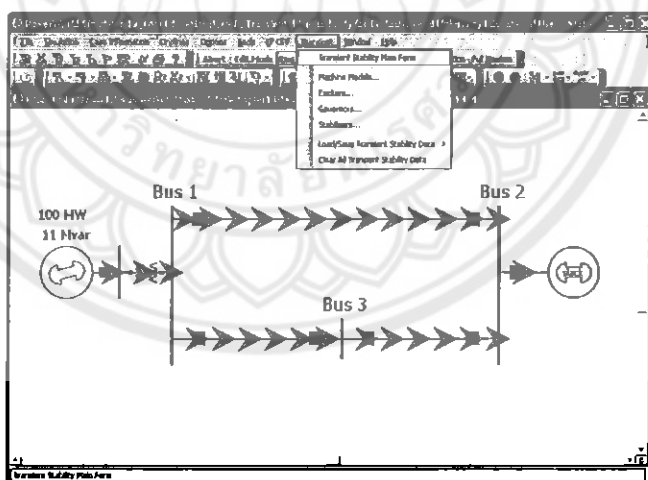
4. จากนั้นเราจะทำการวิเคราะห์ระบบ โดยการวิเคราะห์บัสซึ่งมีอยู่ 3 บัส คือ Bus 1, Bus 2 และ Bus 3 ให้เราลองเลือกใช้อุปกรณ์ต่างๆ เช่น เครื่องกำเนิดไฟฟ้า หรือแม่พลาสติก หรือ สายส่ง และ โหลด ข้อมูลเดียว กัน กำหนดค่าพารามิเตอร์ของ อุปกรณ์แต่ละตัวเข้าไปด้วย เมื่อทำการออกแบบเสร็จจะได้วงจรที่ต้องการ



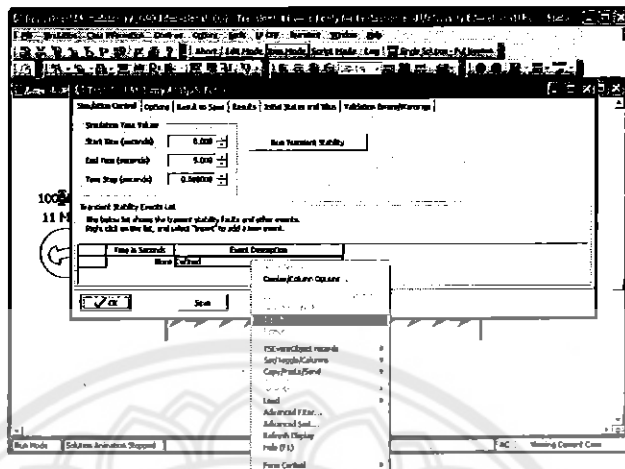
5. เมื่อออกแบบระบบเสร็จเรียบร้อยทำการวัดกราฟเพื่อค่ามุมเกลี่ยริงวิกฤต โดยจะต้องกด Run Mond ก่อน จากนั้นไปตั้งค่าสัมประสิทธิ์การหน่วง (Damping) และค่าความเร็ว (Inertia Constant) โดยการคลิกขวาที่เครื่องกำเนิดไฟฟ้าแล้วคลิกตรง Generator Information Dialog... → Stability → Machine Models → Insert → GENCLS จากนั้นทำการกำหนดค่าสัมประสิทธิ์การหน่วงและค่าความเร็วขึ้นดังรูป



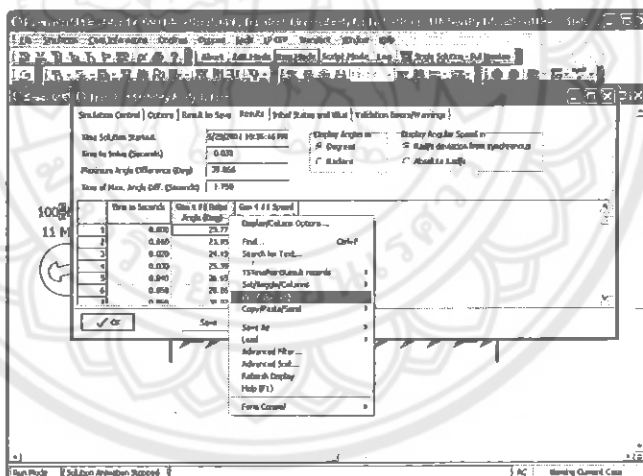
6. เมื่อกำหนดค่าสัมประสิทธิ์การหน่วงและค่าความเร็วจะไปทำการวัดกราฟโดยไปที่ Transient → Transient Stability Main Form ดังรูป



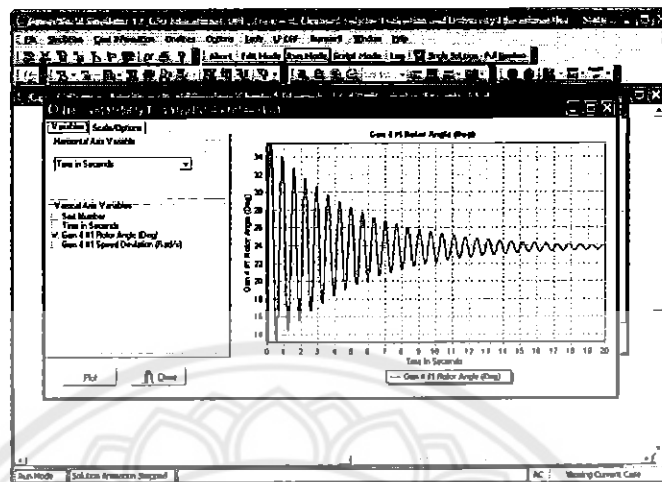
7. จากนั้นคลิกขวา Defined → Insert เพื่อกำหนดการสั่งงานและเวลาเคลื่อนที่ในระบบ ดังรูป



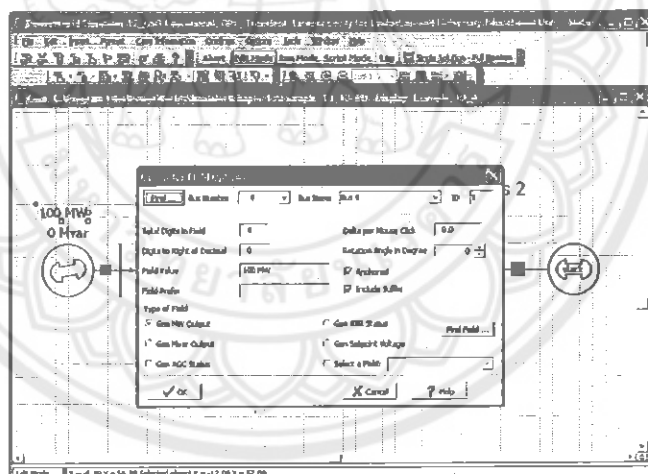
8. จากนั้นกด Run Transient Stability จะสามารถ Plot กราฟได้ โดยคลิกขวาตรง Gen ของ Rotor Angle (Deg) และกด Plot Column (s)... ดังรูป



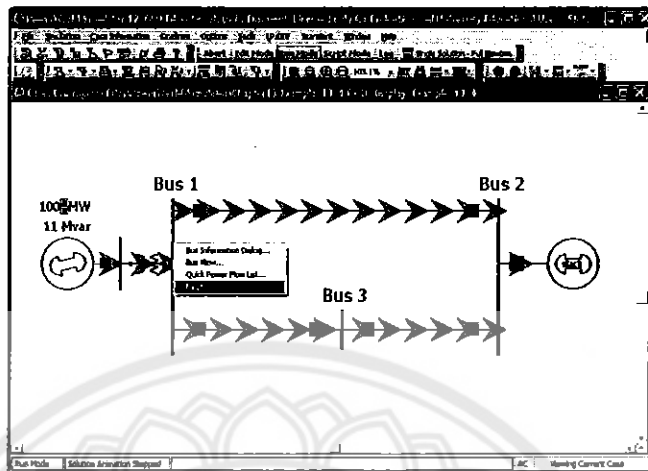
## 9. จากนั้นจะได้รูปกราฟดังรูป



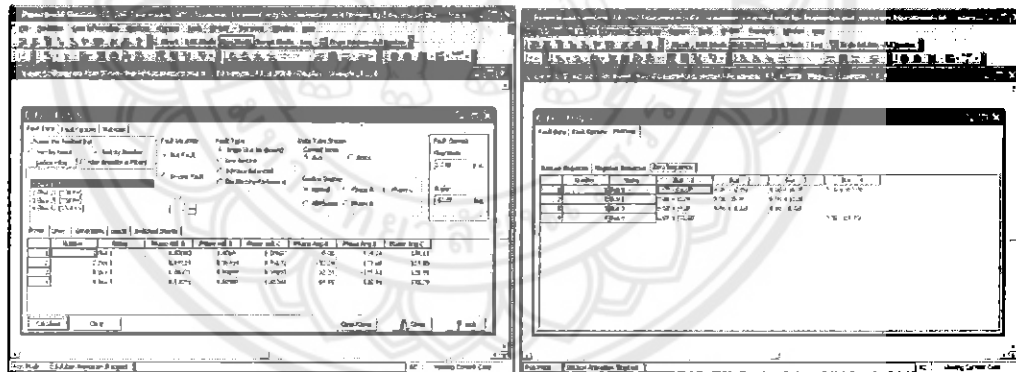
10. วิธีทำให้กำลังไฟฟ้าและโหลดสามารถปรับค่าได้ โดยคลิกขวาตรงกำลังไฟฟ้าที่ต้องการปรับค่าแล้วไปเปลี่ยนค่า Delta per Mouse Click เพื่อให้สามารถปรับค่าได้ดังรูป



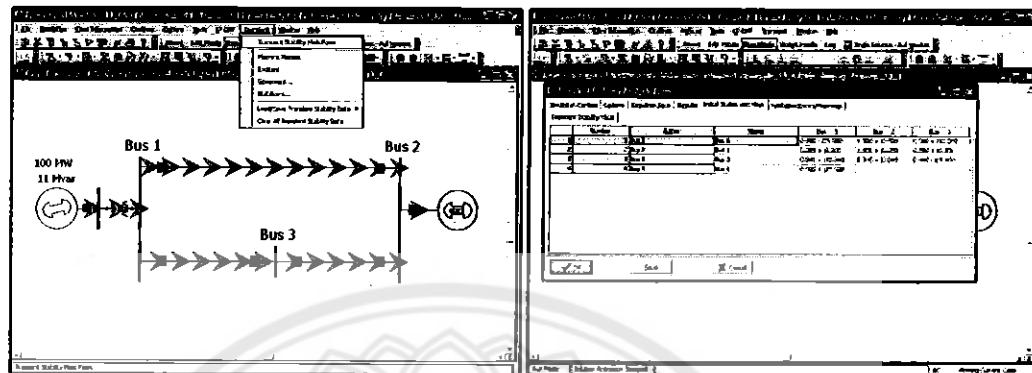
11. วิธีคุณ Positive Sequence, Negative Sequence และ Zero Sequence รวมทั้งค่า Fault Current โดยระบบต้องอยู่ระหว่าง Run Mode ไปคลิกขวาครองบัสแล้วคลิก Fault... ดังรูป



12. งานนี้ไปคลิก Calculate มุมซ้าย เพื่อให้โปรแกรมทำการคำนวณค่า แล้วจะสามารถค่า Fault Current ที่เกิดขึ้นในแต่ละบัสได้ แล้วกlik ตรง Matrices เราจะได้ค่าของ Positive Sequence, Negative Sequence และ Zero Sequence จะแสดงค้างรูป



13. วิธีการคูค่า  $Y_{bus}$  คลิกตรง Transient  $\rightarrow$  Transient stability Main From  $\rightarrow$  Initial States and  $Y_{bus}$  ดังรูป



## ประวัติผู้ดำเนินโครงการ



ชื่อ นายพรศักดิ์ ยั่งยืนเจริญสุข  
 ภูมิลำเนา 90/1 หมู่ 10 ต.หัวยช้อ อ.เชียงของ จ.เชียงราย  
**ประวัติการศึกษา**

- จบระดับมัธยมศึกษาจากโรงเรียนหัวยช้อวิทยาคม  
รัชมังคลากิจเมือง จ.เชียงราย
- ปัจจุบันกำลังศึกษาระดับปริญญาตรี ชั้นปีที่ 4  
สาขาวิชาวิศวกรรมไฟฟ้า คณะวิศวกรรมศาสตร์  
มหาวิทยาลัยแม่ฟ้าหลวง

Email: sikk\_k@hotmail.com



ชื่อ นายวรรัตน์ แปงคำเรือง  
 ภูมิลำเนา 62 หมู่ 11 ต.ป่าแฟก อ.แม่ใจ จ.พะเยา  
**ประวัติการศึกษา**

- จบระดับมัธยมศึกษาจากโรงเรียนแม่ใจวิทยาคม  
จ.พะเยา
- ปัจจุบันกำลังศึกษาระดับปริญญาตรี ชั้นปีที่ 4  
สาขาวิชาวิศวกรรมไฟฟ้า คณะวิศวกรรมศาสตร์  
มหาวิทยาลัยแม่ฟ้าหลวง

Email: kongyza@hotmail.com